

ЎЗБЕКИСТОН АХБОРОТ ВА АЛОҚА АГЕНТЛИГИ
ТОШКЕНТ АХБОРОТ ТЕХНОЛОГИЯЛАРИ УНИВЕРСИТЕТИ

**Радиотехника ва радиоалоқа
кафедраси**

**СИГНАЛЛАРНИ ШАКЛЛАНТИРИШ ВА
ИШЛОВ БЕРИШ**

фанидан маъruzalар матни

Собирова Уллибиби Шариповна

Ташкент -2011

Мундарижа

Кириш	4
Маъруза -1.ГЕНЕРАТОРЛАРНИНГ КЛАССИФИКАЦИЯЛАРИ.	
ФУНКЦИОНАЛ СХЕМАЛАРИ ВА ИШЛАШ ПРИНЦИПЛАРИ.	
ЭКВИВАЛЕНТ СХЕМАСИ ВА УНИНГ ТАХЛИЛИ. ГАРМОНИК	
ТЕБРАНИШЛАР ГЕНЕРАТОРИ.....	4
Маъруза -2.ГАРМОНИК ТЕБРАНИШЛАРНИ ҚЎЗҒАЛИШ ВА	
ЯРАТИЛИШИ. ГАРМОНИК ТЕБРАНУВЧИ	
АВТОГЕНЕРАТОРЛАР.....	8
Маъруза- 3. ГАРМОНИК ТЕБРАНИШЛАРНИ ҚЎЗҒАЛИШ ВА	
ЯРАТИЛИШИ. ГАРМОНИК ТЕБРАНУВЧИ	
АВТОГЕНЕРАТОРЛАР.ЎЗ ЎЗИНИ ҚЎЗҒАТИШНИНГ ЮМШОҚ	
ВА ҚАТТИҚ РЕЖИМЛАРИ.....	10
Маъруза -4.АВТОГЕНЕРАТОР СХЕМАЛАРИНИНГ ИШЛАШ	
ТАРТИБИНИ КЎРСАТУВЧИ ВАҚТ ДИАГРАММАЛАРИ.	
ТЕСКАРИ АЛОҚАНИНГ ТУРЛАРИ. ГАРМОНИК	
ТЕБРАНИШЛАР АВТОГЕНЕРАТОРИНИНГ ТРАНЗИСТОРЛИ	
СХЕМАЛАРИ.....	13
Маъруза- 5. РЕЛАКСАЦИОН РЕЖИМДА АВТОГЕНЕРАТОР.	
КУРИЛМАНИНГ МУМКИН БЎЛГАН ИШЛАШ	
ТАРТИБИ.МУЛЬТИВИБРАТОРЛАР ВА УЛАРНИНГ	
ТРАНЗИСТОРЛИ СХЕМАЛАРИ.....	15
Маъруза -6 АВТОМАТИК СИЛЖИШ ВА УЗЛУКЛИ ГЕНЕРАЦИЯ.	18
Маъруза -7.ИЧКИ ТЕСКАРИ АЛОҚАЛИ АВТОГЕНЕРАТОРЛАР....	21
Маъруза -8.АВТОГЕНЕРАТОРДА БУРЧАКЛИ МОДУЛЯЦИЯ.	
АВТОГЕНЕРАТОРНИНГ АСОСИЙ ВАЗИФАЛАРИ. ЧМ	
СИГНАЛЛАРНИНГ АВТОГЕНЕРАТОРЛИ МОДУЛЯТОРИ.....	23
Маъруза -9.LC ВА RC АВТОГЕНЕРАТОРЛАРИ.	
ГЕНЕРАТОРЛАРНИНГ ВАЗИФАСИ ВА СХЕМАСИ. ТЕСКАРИ	
АЛОҚА ЗАНЖИРИГА ЭЮК НИНГ ТАЪСИРИ.....	27
Маъруза -10.МУЛЬТИВИБРАТОР ҚУРИЛМАЛАРИНИНГ	
КЛАССИФИКАЦИЯСИ ВА ҚЎЛЛАНИЛИШИ.....	31
Маъруза- 11. КУТУВЧИ МУЛЬТИВИБРАТОР. ЭКВИВАЛЕНТ	
СХЕМАСИ, ИШЛАШ ПРИНЦИПИ. СХЕМАНИНГ ИШЛАШ	
ТАРТИБИНИ КЎРСАТУВЧИ ВАҚТ ДИАГРАММАЛАР.....	34
Маъруза -13.ОПЕРАЦИОН КУЧАЙТИРГИЧЛАР	
ИШТИРОКИДАГИ ГЕНЕРАТОРЛАР.....	36
Маъруза- 14. ГЕНЕРАТОРЛАРНИ ТРАНЗИСТОРЛИ	
ТРИГГЕРЛАР АСОСИДА ҚУРИШ.....	39
Маъруза -15. ГЕНЕРАТОРДА ЧАСТОТАНИ ЎРНАТИШ.	
АСОСИЙ НИСБАТЛАР.....	
Мавзуу -16 БАЗА-ЛОГИК ЭЛЕМЕНТЛАР АСОСИДА	
АВТОГЕНЕРАТОРЛАРНИ ҚУРИШ.....	43
Мавзуу -17 АВТОГЕНЕРАТОРЛАРНИ ҚУРИШ.....	45

СИГНАЛЛАРНИ ШАКЛАНТИРИШ ВА ИШЛОВ БЕРИШ 2- КИСМ

Маъруза -17.ТТЛ ЭЛЕМЕНТЛАРИ ЁРДАМИДА БИР ВИБРАТОР - ГЕНЕРАТОР СХЕМАЛАРИНИ КУРИШ.....	49
Маъруза- 18.СИГНАЛЛАРГА РАКАМЛИ ИШЛОВ БЕРИШ АСОСЛАРИ	53
Маъруза- 19.АЛАЛОГ РАҚАМЛИ ВА РАҚАМЛИ АНАЛОГ ЎЗГАРТИРГИЧЛАР.....	61
Маъруза -20. ДИСКРЕТ СИГНАЛЛАРНИНГ ХАРАКТЕРИСТИКАЛАРИ.....	64
Маъруза-21. ФУРЪЕ ДИСКРЕТ АЛМАШТИРИШИ.....	67
Маъруза -22.РАҚАМЛИ ФИЛЬТРЛАРНИНГ ТУЗИЛИШИ ВА АСОСИЙ ТАВСИФЛАРИ.....	72
Мъруза -23. ФУРЪЕ ТЕЗ АЛМАШТИРИШЛАРИ.....	77
Маъруза -24. АРУ СТРУКТУРАВИЙ СХЕМАСИ, ИШЛАШТАРТИБИ.....	79
Маъруза -25.ЦИКЛИК БУЛИАГАН АРУ	82
Маъруза -26.ИНТЕГРОЛЛОВЧИ АРУ ЛАР.....	85
Маъруза -27.ДОИМИЙ ПАРАМЕТРЛАРГА ЭГА ДИСКРЕТ ЧИЗИКЛИ ЗАНЖИРЛАР(ДПДЧЗ).....	89
Маъруза -28. КОМПОРАТОРЛАР.....	91
Маъруза -29. РАҚАМЛИ ВОЛТМЕТР УНЛИК ЧИКИШ.....	95
Маъруза -30.РАҚАМЛИ АНАЛОГ УЗГАРТИРГИЧЛАР (ДЕШИФРАТОРЛАР).....	97
Маъруза -31.ЗИНАПОЯСИМОН КУРИНИШИДАГИ РАУ	99

Маъзуза -1

ГЕНЕРАТОРЛАРНИНГ КЛАССИФИКАЦИЯЛАРИ. ФУНКЦИОНАЛ СХЕМАЛАРИ ВА ИШЛАШ ПРИНЦИПЛАРИ. ЭКВИВАЛЕНТ СХЕМАСИ ВА УНИНГ ТАХЛИЛИ. ГАРМОНИК ТЕБРАНИШЛАР ГЕНЕРАТОРИ

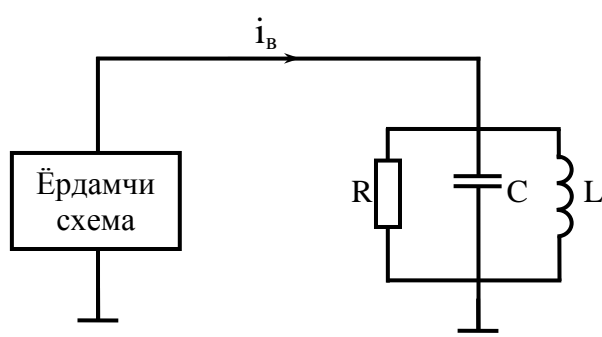
Электр энергиясиини тебранишга айлатириб берувчи қурилмаларга генераторла дейилади.

Ташқи таъсирлар натижасида ҳосил қилинадиган тебранишларга мажбурий тебранишлар дейилади. Бунда тебранишнинг параметрлари амплитудаи, частотаси схема элементларидан ташқари кириш сигналининг параметрларига боғлиқ бўлади. Мустақил ҳосил бўладиган тебранишларга автотебранишлар дейилади. Бундай генераторлар автогенераторлар дейилади.

Автогенераторларнинг классификацияси:

- Гармоник тебранишлар генераторлари
- Ногармоник тебранишлар генеарторлари.
Ногармоник тебранишлар генераторлари:
 - Мультибраторлар
 - Бир вибраторлар
 - Аррасимон кучланиш генераторлари.
 - Учбурчалли импульслар генераторлари.

Радиотехникада R, L, C, контурли гармоник тебранишлар генератори энг кенг тарқалган манбалар ҳисобланади. Улар қуйидаги кўринишдаги схемалардир: Генератор ёрдамчи схема ва RLC контурдан иборат. Ёрдамчи



контурида ташқи таъсирлар натижасида текис спектрга эга бўлган тебранишлар ҳосил бўлади. Агар тебраниш частотаси контурнинг резонанс

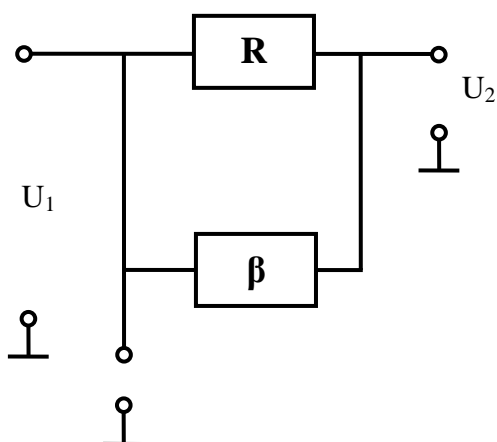


схема контурда йўқотилган энергияни тўлдирувчи энергия киритади. Йўқотилган энергияни тўлдирилиши манфий қаршиликка эга бўлган элемент ёки мусбат тескари боғланишга эга кучайтиргич орқали амалга оширилади. Гармоник тебранишларни ҳосил қилиш ва генераторни қўзгатиш. Тебраниш

частотасига яқин бўлса, катта амплитудага эга бўлади. Контурга ёрдамчи схема киритилса, киритилувчи энергия йўқотилувчи энергиядан анча юқори бўлади ва амплитудаси ошиб боради. Бу амплитуданинг ошиши ёрдамчи схеманинг ва чизиқли характерга эга бўлганлиги сабабли

киритилувчи энергияни йўқотилаётган энергияга нисбатан секинлашишига олиб келади. Агар киритилувчи энергия йўқотилувчи энергияга тенг бўлса, гармоник тебранишни стационар режими ўрнатилади. Яъни тебраниш U_0 , ω_0 ва φ_0 га эга бўлади. Бундай режимда гармоник тебранишнинг амплитудаси ва частотасини аниқлаш мумкин. Комплекс кучланиш коэффициентига эга кучайтиргич асосида қурилган генераторни қўриб чиқамиз.

Узатиш коэффициенти $\beta = \beta e^{j\omega t}$ га тенг бўлган мусбат тескари боғланишга эга. Кучайтиргич киришига амплитудаси U_1 частотаси ω_0 бўлган гармоник тебраниш берилган бўлсин. Ушбу тебранишни сақлаб қолиш учун уни киришига бутун схемадан ўтгандан кейин дастлабки амплитуда, частота ва фазага эга тебраниш таъсир қилиши керак. Бунинг учун қуйидаги шарт мос келади.

$$\beta U_2 = \beta K U_1 = U_1 \text{ ёки } \beta K = 1 \quad \text{Ушбу шартни бошқача қўринишда ёзамиз.}$$

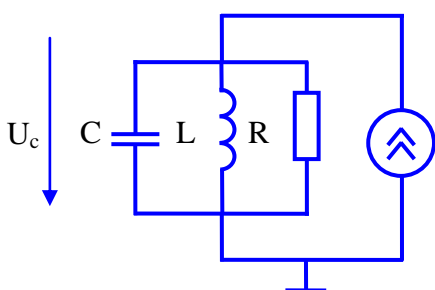
$$\beta(U_0)^* K(U_0) = 1 \quad (3)$$

$$\varphi_\beta(\omega_0) + \varphi_k(\omega_0) = 2\pi k \quad k = (1, 2, \dots) \quad (4)$$

формулада келтирилган шарт фаза баланси шарти дейилади. Стационар режимда автотебраниш фазасини тўлиқ силжиши (2π) га тенг. Бу шартда генерация қилинаётган частотани аниқлашимиз мумкин бўлади. (3) шарт амплитуда баланси шарти дейилади. Яъни кучайтиргич ва тескари боғланишда ҳосил бўладиган халқани тўлиқ айланиб чиқсан генерация частотанинг стационар амплитуда кучайтириш коэффициенти 1 га тенг. Халқанинг кучайтириш коэффициенти $\beta K < 1$ бўлса, амплитуда камайиб боради. Агар халқани кучайтириш коэффициенти 1 дан катта бўлса, тебраниш амплитудаси ошиб боради.

1.1: Генераторларнинг эквивалент схемалари ва уларнинг таҳлили.

Йўқотишларсиз ишловчи параллел уланган гармоник тебраниш генераторлари R L C генератор схемасини келтирамиз. Бу схемада ёрдамчи схема сифатида ток манбай уланган.



Конденсатордаги кучланиш U_c ва индуктивлик элементидан оқиб ўтувчи ток учун дифференциал тенглама қуйидаги қўринишга эга.

$$\frac{dU}{dt} = \frac{1}{C} \left(-i - \frac{U}{R} \right) + i \frac{di}{dt} = \frac{1}{L} U \quad \text{ўлчовсиз вақт катталигини киритамиз.}$$

1.2: Гармоник тебранишлар генераторининг оддий таҳлили.

Оддий таҳлилда RLC контурини ишлашини кўриб чиқамиз. Ушбу схема учун дифференциал тенгламани келтирамиз.

$$L \frac{di}{dt} + Ri + u = 0 \quad (1)$$

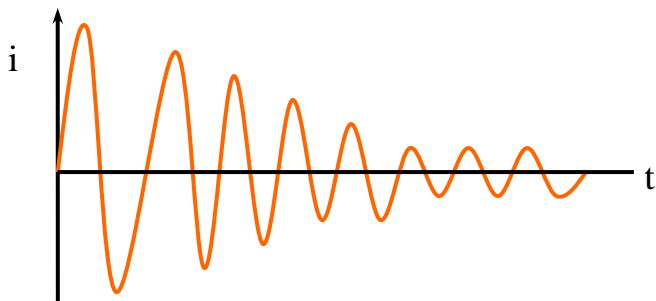
Агар контурнинг асллиги $\frac{1}{2}$ бўлса, контурдаги ток қўйидагига тенг бўлади.

$$i = I_0 e^{-\alpha t} \sin \omega_m t \quad (2)$$

Бу ерда I_0 – контур токининг бошланғич амплитудаси. $\alpha = \frac{R}{2L}$ сўниш коэффициенти. ω_m -эркин тебраниш частотаси.

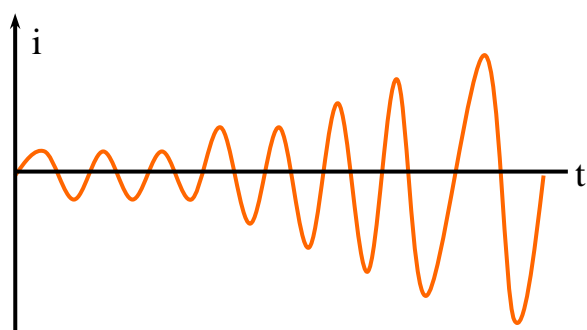
$$\omega_m = \sqrt{\omega_0^2 - \alpha^2} \approx \omega_0 \quad (3) \quad \omega_0 = \frac{1}{\sqrt{LC}}$$

Сўниш коэффициенти α ифодасидан қўриниб турибдики.

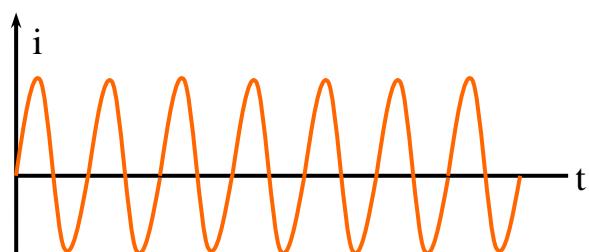


Агар $R > 0$ бўлса, α мусбат бу эса иккинчи ифодага асосан токнинг амплитудасини вақт ўтиши билан камайиб боришига олиб келади. Бундай тебранишлар сўнувчи ёки декремент тебранишлар дейилади. Агар $R < 0$ бўлса, α манфий бўлади. Контурдаги токнинг амплитудаси ошиб боради. Бундай тебранишлар ўсуви ёки инкремент тебранишлар дейилади.

Агар $R=0$ бўлса, α ҳам 0 га тенг бўлади. Бунда тебраниш доимий тебраниш деб аталади. Юқорида келтирилган хulosаларга асосланиб, шундай натижага келиш мумкин. Генерацияланган тебранишнинг кичик амплитудаларида қаршилик манфий ($R < 0$) бўлиши керак, яъни тебранишнинг ўсишига олиб келиши керак. Агар тебранишнинг амплитудаси катта

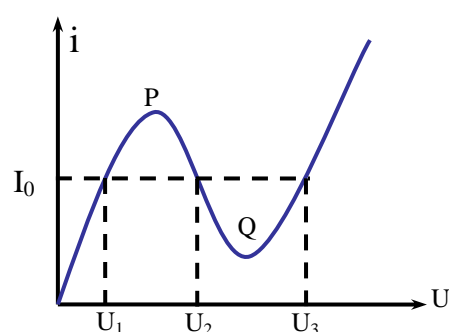


бўлса, қаршилик $R=0$ га тенг бўлиши керак, яъни генератор бевосита турғун ҳолатда бўлади. Яъни амплитуда ва частотада ўзгармас доимий бўлади.

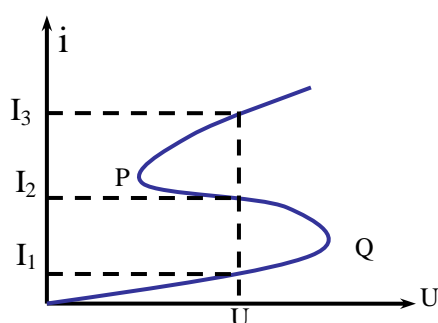


1.3:Манфий қаршиликлар хақида мәлумот

Схемаларда манфий қаршиликлар мусбат тескари боғланиш ёки электрон асбобларни қўлланилиши натижасида ҳосил қилинади. Схемотехникада икки хил манфий қаршилик ишлатилади.



1. **N**-типдаги қаршиликлар. Бу типдаги қаршиликларнинг ВАХ ни келтирамиз. ВАХ да кўрсатилган I_0 токнинг битта қийматига кучланишининг 3та (U_1, U_2, U_3) қиймати тўғри келади. Бу типдаги қаршиликлар кучланиш билан бошқарилувчи қаршилик дейилади ва кучланиш ишчи режимни белгилаб беради.



2. **S** - типдаги қаршиликлар. Бундай қаршиликлар ток билан бошқарилувчи қаршиликлардир. Бу типдаги қаршиликнинг ВАХ ни келтирамиз. Хар иккала графикда кўрсатилган (P,Q) нуқталарда дифференциал қаршилик манфий бўлади. Қолган нуқталарда мусбат. **N**- типдаги қаршиликларга тунелли диод, Ганн диоди, динотрон эфектга эга лампалар киради. **S**- типдаги элементларга ионли асбоблар, газотрон, неон лампалар, 4та қатламли яримўтказгичлар, яъни динисторлар, теристорлар.

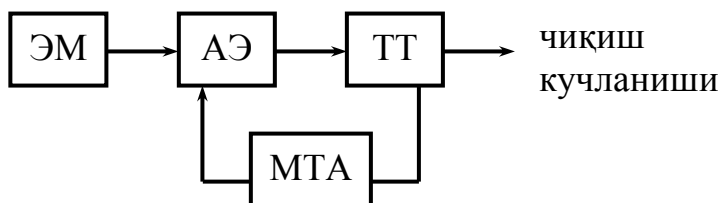
Маъруза-2

ГАРМОНИК ТЕБРАНИШЛАРНИ ҚЎЗҒАЛИШ ВА ЯРАТИЛИШИ. ГАРМОНИК ТЕБРАНУВЧИ АВТОГЕНЕРАТОРЛАР.

Кучайтириш қурилмалари, частота кўпайтгичлар, модуляторлар, детекторлар ва шу каби бир қатор қурилмалар, фақат уларнинг кириш учларига ташки қурилмалардан сигналлар берилганда ўз чиқишиларида тегишли акс таъсир сигнални пайдо қиласидилар. Бундай қурилмалар одатда мажбуран қўзғалувчи қурилмалар деб аталадилар.

Аммо шундай қурилмалар борки, уларнинг чиқишидаги тебранувчан кучланишлар, уларнинг киришига ташқаридан ҳеч қандай таъсир кучланиши берилмаганда ҳам ҳосил бўлади. Бундай тебранишлар автотебранишлар деб ва уларни ҳосил қилувчи қурилмалар автогенераторлар (АГ) ёки генераторлар деб аталадилар.

Тебранишларни генерациялаш ахборот тизимларидаги асосий вазифалардан бири ҳисобланади. Автогенераторлар доимий ток электр манбай (ЭМ) қувватини сўнмайдиган даврий тебранишлар қувватига айлантириб берадилар. АГ нинг структуравий схемаси 8.1-расмда келтирилган.

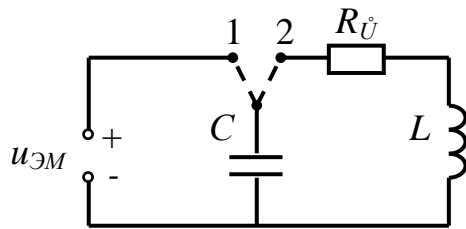


Автогенератор структуравий схемаси.

АГ нинг асосий элементлари: ЭМ – электр манбай, АЭ – актив элемент (транзистор, электрон лампа ва х.к.), ТТ – тебраниш тизими ва МТА – мусбат тескари алоқа.

АГ ўз-ўзидан қўзғалиши учун керакли шартларни батафсилроқ кўриб чиқамиз. Бунинг учун дастлаб оддий LC – параллел контурга ташки таъсир бўлганда унда бўладиган физик жараённи кузатамиз. Ташки импульс таъсир этганда LC – контурда синусоидал шаклда ўзгарувчи электр тебранишлари ҳосил бўлади. Контурдаги бу тебраниш чексиз давом этмайди, аста-секин сўнади, чунки контурдаги йўқотишлар сабабли ундаги энергия узлуксиз камайиб боради, ейилади ва натижада нольга teng бўлади.

Тебраниш контуридаги тебранишлар сўнмаслиги учун LC – контурга ейилаётган (йўқотилаётган) энергияни қопловчи энергия бериб туриш керак. LC – контурнинг ўзида бундай ички манба йўқлиги учун, уни ташки манба ҳисобига қоплаш керак. Электр манбай сифатида доимий ток ёки кучланиш манбаидан фойдланилади. Энди LC – контурдаги физик жараённи 8.2-расм ёрдамида кўриб чиқамиз.



Автогенеартор тебранишига оид чизма.

LC – контурда бошлангич ҳолатда тебранишлар йўқ деб ҳисоблаб К – калитни иккинчи ҳолатга ўтказсак конденсатор С – кучланиш $U_{\text{эм}}$ гача зарядланади. Сўнгра калитни 1-ҳолатга ўтказсак LC – контурда синусоидал шаклидаги эркин тебранишлар пайдо бўлади. LC – контурдаги тебранишлар индуктивлик L нинг йўқотиш қаршилиги R_i ҳисобига сўнмаслиги учун, тебранишлар даврига мос равишида конденсатор С – ни электр манбай $U_{\text{эм}}$ га улаб-узиб турамиз. Натижада конденсатор доимий равишида ўз зарядини тўлдириб туради. Шунинг ҳисобига LC – контурдаги тебранишлар сўнмайди.

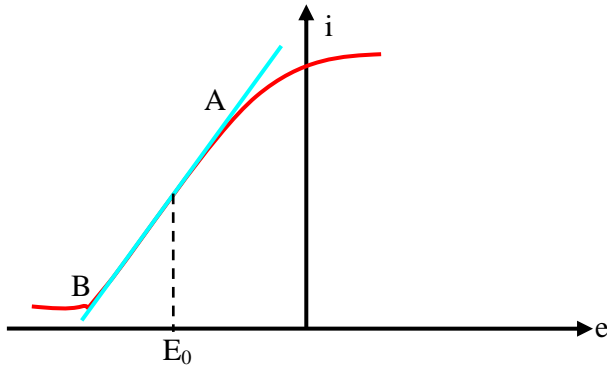
Калит К ни тебранишлар билан синхрон равишида $U_{\text{эм}}$ га улаб-узиб туриш бошқарув занжири (тескари алоқа занжири) бўлиши ва у калит К ни узиб-улаш ҳақида кўрсатма бериши керак. Бу ҳолда кўрсатмани тебранишлар частотаси $\omega_f = \frac{1}{\sqrt{LC}}$ ни ўрнатувчи LC – контур бўлиши керак. Ушбу оддий

схема автогенератор модели сифатида қабул қилиниши мумкин. 8.3-расмда АЭ сифатида майдон транзисторидан фойдаланилган LC – автогенератор схемаси келтирилган. Бунда тебранишлар частотасини LC – контур элементлари қийматлари аниқлайди, $E_{\text{эм}}$ – доимий кучланиш манбай ва E_c – транзистор затворига бериладиган силжиш кучланиши. Калит К вазифасини транзистор затвори бажаради. Затвордаги кучланиш U_z сток токини бошқаради. Сток токининг ўзгарувчан ташкил этувчиси LC – контур энергиясини тўлдиради. Тескари мусбат боғланиш L билан индуктив боғлиқ бўлган L_A – алоқа катушкаси ёрдамида амалга оширилади. L_A ни L га боғлиқлиги ўзаро индукцион боғлиқлик коэффициенти M катталиги билан аниқланади. Транзистор на факат калит K вазифасини бажаради, у “тескари боғланишга”, ўзининг кучайтириш хусусияти ҳисобига LC – контурга навбатдаги энергия қисмини етказиб беради. E_c – ёрдамида транзисторнинг керакли иш режими ўрнатилади, бошлангич иш нуқтаси ўрнатилади. Аммо ўз-ўзидан генерация ҳосил бўлиши учун қўзғалиш шарти ва тебранишлар амплитуда ва частотасини ўзгармас барқарор сақлаб туриш учун турғунлик шартлари бажарилиши керак.

Маъруза- 3

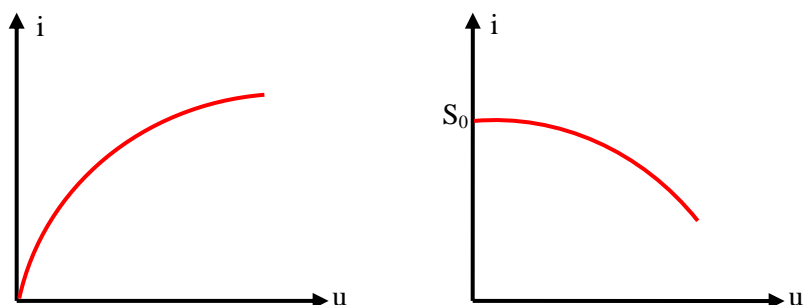
ГАРМОНИК ТЕБРАНИШЛАРНИ ҚЎЗҒАЛИШ ВА ЯРАТИЛИШИ. ГАРМОНИК ТЕБРАНУВЧИ АВТОГЕНЕРАТОРЛАР. ЎЗ ЎЗИНИ ҚЎЗҒАТИШНИНГ ЮМШОҚ ВА ҚАТТИҚ РЕЖИМЛАРИ

Тебранишнинг стационар(турғун) амплитудаси U_0 схеманинг бирон бир параметрига боғлиқлиги бир қийматли бўлса, тебраниш ҳосил бўлишининг юмшоқ режими дейилади. Ишчи нуқта ВАХ нинг тиклиги энг катта қисмига тўғри келган пайтида ўз-ўзини қўзғатишнинг юмшоқ режими юзага келади. ВАХ ни кўриб чиқамиз.

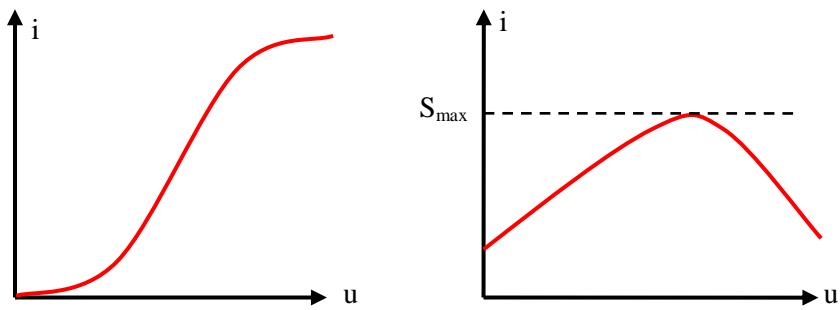


Графикда кўрсатилганидек берилаётган амплитуда ошиши билан биринчи гармоника бўйича характеристика тиклиги камайиб боради. Тебранишнинг стационар амплитудаси U_0 схеманинг бирон бир параметрига боғлиқлиги бир қийматли бўлмаса, тебранишнинг ҳосил бўлишининг қаттиқ режими дейилади. Қаттиқ режимда ишчи нуқта ВАХ тиклигининг катта бўлган қисмига тўғри келганлиги сабабли биринчи гармоника биринчи гармоника бўйича характеристика тиклиги дастлаб ошади, кейин камайиб боради. Тебраниш характеристикаси яъни $I_1(E)$ ва биринчи гармоника бўйича характеристика тиклигининг кириш кучланиши амплитудасига боғлиқлик графикларини келтирамиз.

Тебраниш ҳосил бўлишининг юмшоқ режими учун:



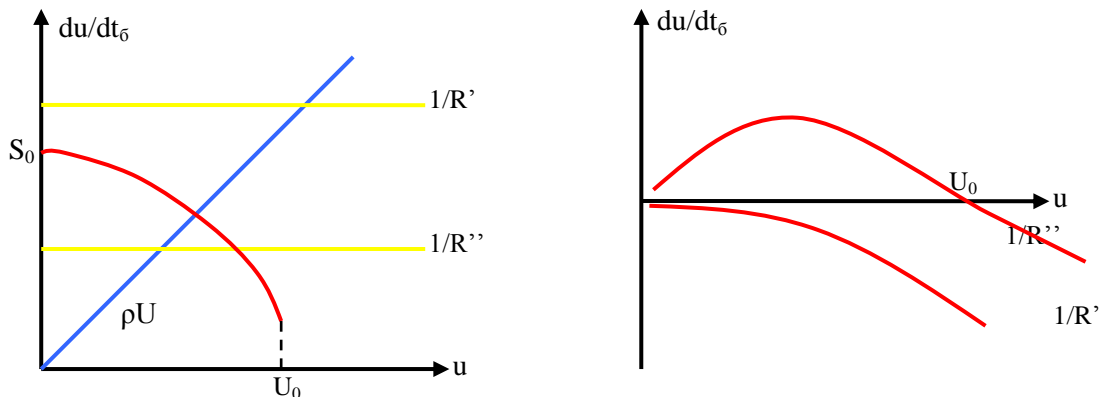
Қаттиқ режим учун



Хар иккала режим учун амплитудани ўзгариш қонунини келтирамиз. Бунда фаза силжиши 0 деб олинган.

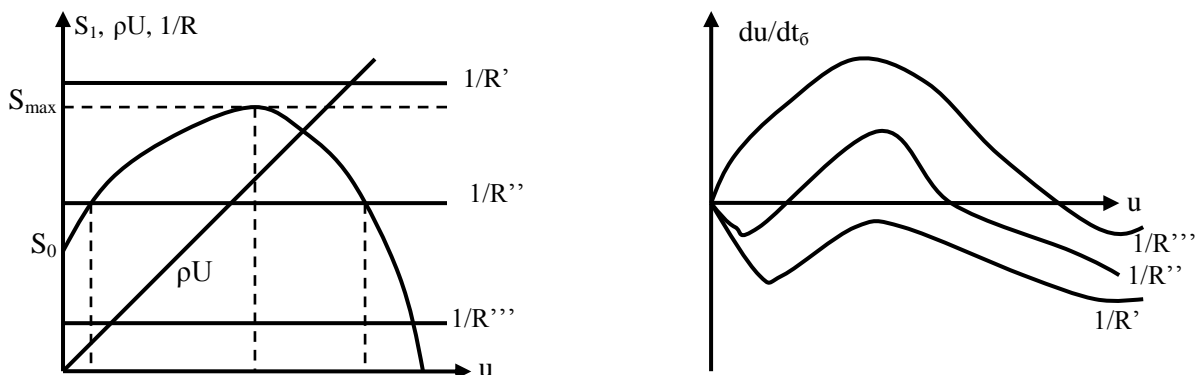
$$2 \frac{du}{dt_\delta} = \rho U [S(\omega) - \frac{1}{Q\rho}] \quad (1)$$

$\frac{1}{R'} = \frac{1}{\rho Q}$ ва $\frac{1}{R''}$ қаршиликлар графигини чизамиз.



Бу графикдан кўриниб турибиди $1/R'' < S_0$ бўлганда контурда U_0 амплитудали тебраниш мавжуд. Тебранишнинг энг кичик амплитудасида ҳам киритилувчи энергия йўқотилувчи энергиядан катта ва амплитуда ошади. S_1 графикда U_0 нуқтада киритилувчи ва йўқотилувчи энергия бир бирига тенг. Амплитуда қиймати доимий бўлади.

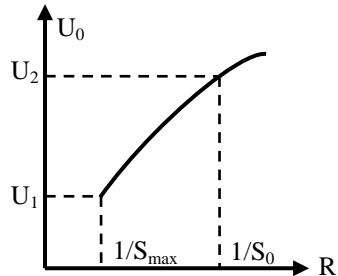
$R > 1/S_0$ да эса турғун амплитудали тебраниш ҳосил бўлади. Худди ушбу боғланишларни қаттиқ режим учун келтирамиз.



Графикдаги $S_{max} < 1/R_0^1$ ҳолатда тебраниш мавжуд эмас. $S_{max} > 1/R'' > S_0$ ҳолатда биринчи тенгламани 3 та илдизи мавжуд.

- 1) $U=0$ тебраниш мавжуд эмас.

- 2) $U=U_{02}$ амплитудали турғун тебраниш мавжуд. $S_1=S_0$ йүқотишларни түлдириш етарли бўлмагани учун тебраниш сўнувчан U_{01} амплитудадан ошгандан кейин S_1 йүқотишларни түлдириш учун ...
- 3) $S_0 > 1/R^{III}$ $U=U_{03}$ бунда амплитудаси U_{03} бўлган турғун ҳолатдаги тебраниш ҳосил бўлади. U_0 ни R га боғлиқлик графигини кўриб чиқамиз.

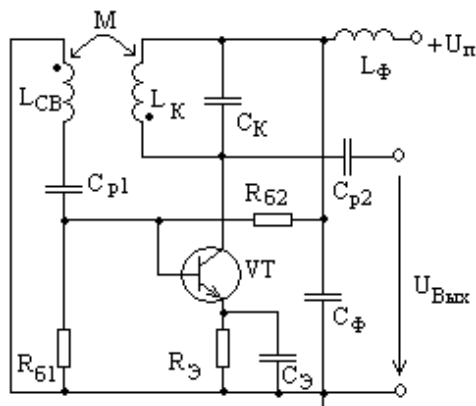


$R = \frac{1}{S_{\max}}$ бўлганда тебранишларда узулиш ҳосил бўлади. $R = \frac{1}{S_0}$ бўлганда энг кичик тебранш ҳам биринчи гармоника бўйича характеристика тикилигини ошишига олиб келади. Контурда киритилувчи энергия йўқотилувчи энергиядан катта амплитуда U_2 қийматгача ошади.

Маъруза-4

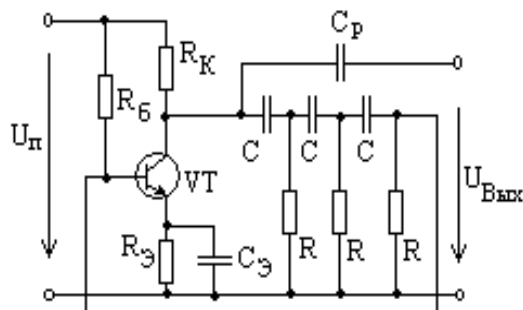
АВТОГЕНЕРАТОР СХЕМАЛАРИНИНГ ИШЛАШ ТАРТИБИНИИ КЎРСАТУВЧИ ВАҚТ ДИАГРАММАЛАРИ. ТЕСКАРИ АЛОҚАНИНГ ТУРЛАРИ. ГАРМОНИК ТЕБРАНИШЛАР АВТОГЕНЕРАТОРИНИНГ ТРАНЗИСТОРЛИ СХЕМАЛАРИ

Ташқи таъсирлар натижасида ҳосил қилинадиган тебранишлар мажбурий тебранишлар дейилади. Автогенераторларда ҳосил бўладиган тебранишлар мажбурий тебранишлардан фарқлироқ ички таъсир натижасида ҳосил қилинади. Автогенераторлар дастлабки тебраниш сўнувчи характерга эга бўлган тебранишдир. Автогенераторнинг транзисторли схемасини келтирамиз.



Синусоидал тебранишларни ҳосил қилувчи автогенераторда амплитуда ва фаза баланси шарти бажарилиши учун транзисторли кучайтиргичнинг тескари боғланиш занжирига тебраниш контури уланган. Бу схемада ўзро индукция боғланиш қўлланилди. Коллектор занжиридаги L_K , C_K тебраниш контурида таъминотдан берилаётган кучланиш U_T таъсирида сўнувчи тебраниш ҳосил қилинади. Ўзиндукция боғланиш дросселлари L_B , L_K , $\phi=\pi$ бўлган тебраниш тескари боғланиш оақали узатилади. Транзисторнинг таъминлаш занжирига уланган L_Φ , C_Φ фильтрлар элементлари коллектор токини ўзгарувчан ташкил этувчисини оқиб ўтишини таъминлайди. Автогенераторнинг ушбу схемаси юқори частотали тебранишларни ҳосил қилишда ишлатилади. Масалан, автогенераторли частота модуляторларида.

Паст частотали тебранишларни ҳосил қилишда RC автогенераторлари қўлланилди.



Бу схемада RC типдаги 3 та звенодан занжир фазани силжитишини қўйидагича ёзиш мумкин.

занжир “Г” иборат. Хар бир

$$X_C = \sqrt{3}R; \quad |\varphi| = \arctg \frac{X_C}{R} = \arctg \sqrt{3} = \frac{\pi}{3};$$

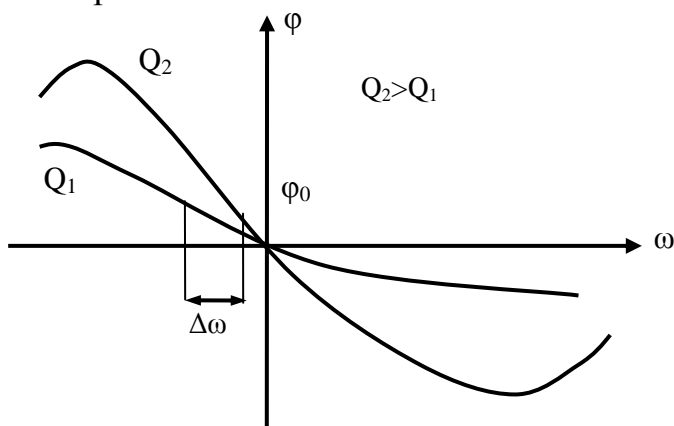
Автогенераторларда частота барқарорлиги.

Алоқа тизимларининг узлуксиз ишлаши ва ишончлилигини аниқлашда автогенераторларда частота барқарорлиги катта аҳамиятга эга. Чунки радиолокацион станцияларнинг ишлаш аниқлиги айнан ушбу характеристикага боғлиқ. Автогенераторларда частота барқарорлиги күйидагича аниқланади.

$$\delta = \frac{\Delta f}{f_0}$$

Бу ерда: f_0 -автогенераторда ўрнатилган частота. Δf -частотанинг мумкин бўлган ўзгариши.

Хар хил ҳолатларда частота барқарорлиги хар хилда бўлади. Масалан, радиостанцияларда 10^{-4} , спутникдан олинган сигналлар учун 10^{-10} бўлади. Автогенераторлар частотаси фаза баланси ёрдамида аниқланади ва бу чатотанинг ўзгариши(кўпгина ҳолларда камайиши) тебраниш контурининг асллигига боғлиқ. Аслликнинг хар хил қийматларида частота ва фазани боғлиқлик графигини келтирамиз.



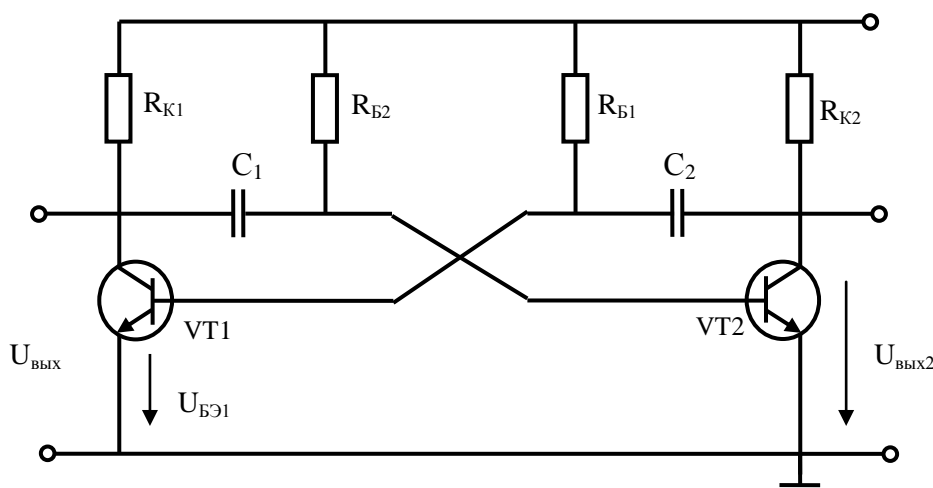
Графикдан кўриниб турибдики Q_2 асллик катта бўлганида частотанинг ўзгариши кичик аслликка эга. Q_1 да частотанинг ўзгариши катта бўлади. Частота барқарорлигини ўрнатиш учун асллиги ката бўлган тебраниш контурлари қўлланилади.

Маъруза -5

РЕЛАКСАЦИОН РЕЖИМДА АВТОГЕНЕРАТОР. КУРИЛМАНИНГ МУМКИН БЎЛГАН ИШЛАШ ТАРТИБИ. МУЛЬТИВИБРАТОРЛАР ВА УЛАРНИНГ ТРАНЗИСТОРЛИ СХЕМАЛАРИ

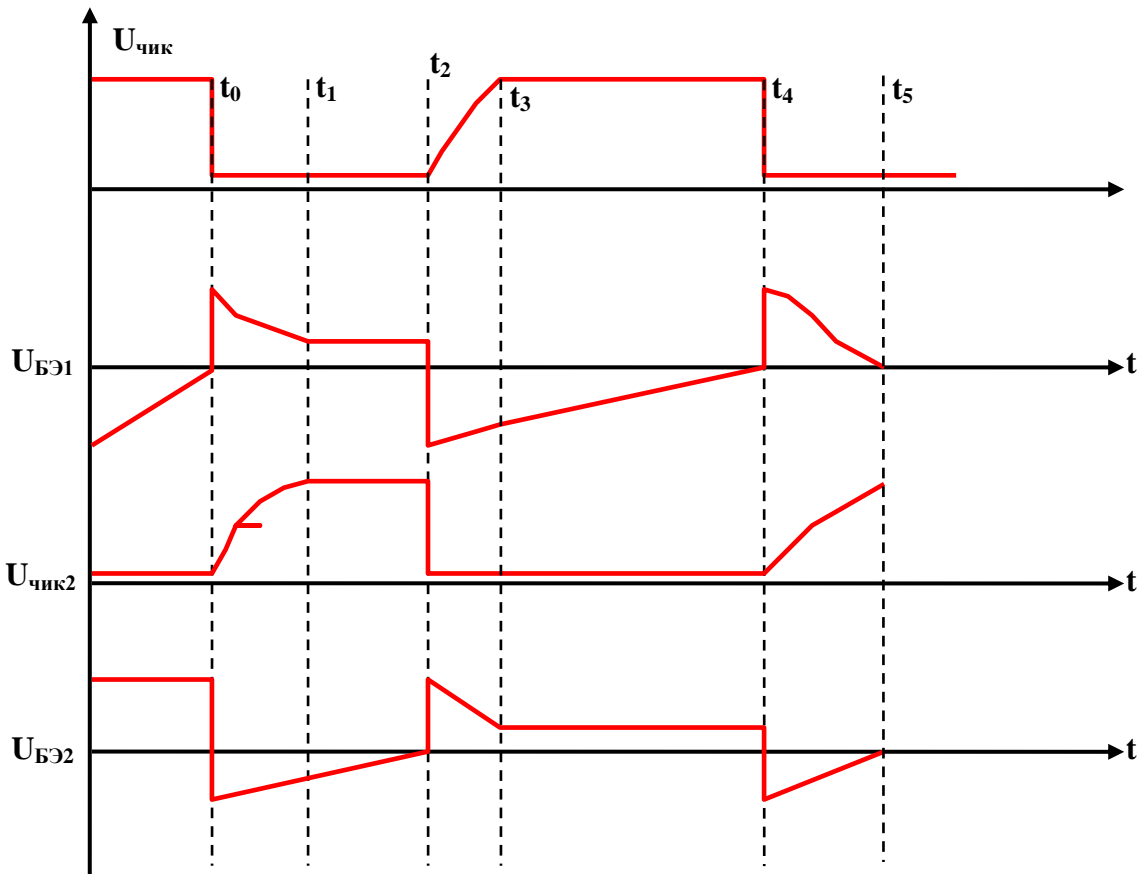
Мультивибратор – лотинча сўздан олинган бўлиб, “мульти” – кўп, “вибратор” – тебраниш маъносини англатади. Мультивибраторлар тўғри тўртбурчакли импульсларнинг генератори бўлиб, мусбат тескари боғланишига эга кучайтиргичdir. Мультивибраторларнинг иккита тури мавжуддир.

- 1) Автотебранувчи (турғун мувозанат ҳолатига эга эмас).
- 2) Кутувчи (битта турғун мувозанат ҳолатига эга) баъзи ҳолларда бир вибраторли деб ҳам юритилади.



Коллектор – база боғланишига эга мультивибратор қўйидаги схемага эга.

Ушбу мультивибратор схемаси симметрик схема. Яъни $K_{л1}=K_{л2}=K_{ж}$ $K_{б1}=K_{б2}=K_{ж}$ $C_1=C_2=C$; Бу схемани ишлаш принципини вақт диаграммасини кўриб чиқамиз.



t_0 вақтгача VT1 транзистор түйниш режимида, VT2 транзистор кесилиш режимига ўтади. Бу вақтда схемада иккита алоҳида жараён кечади. Яъни C_1 ва C_2 лар ортиқча зарядланишда бўлади. t_1 вақтда C_2 тўлиқ разрядланади ва VT1 транзистор түйинишдан кейин R_{K2} резистор орқали зарядланиши бошланади. Бунда кучланиш $U_{C2} = U_T \left(-e^{-t/R_{K2}C_2} \right)$ га тенг бўлади.

VT1 түйиниш эмиттер ўтишида C_2 конденсатор VT2 транзисорнинг коллектор – эмиттер шунтлагани учун бу конденсаторнинг зарядланиши VT2 транзисторни кучланишини ўзгариш тезлигини кўрсатади. Бу конденсаторнинг зарядланиши $U_{C2}=0.9U_T$ қийматда тугатилади. Транзисторнинг коллектор кучланишини фронт узунлиги қуйидагига тенг:

$$t_1-t_0=R_{K1} \cdot C_1 \cdot \ln 10 \approx 2.3 R_{K1} C_1$$

t_0 вақтда VT1 транзистор база токи R_{B1} қаршиликнинг доимий токи ва C_2 конденсатор импульс токи йигиндисидан иборат бўлади. Шунинг учун VT1 транзисторнинг токи түйиниш учун керак бўлган ... VT1 эмиттер ўтишидаги кучланишнинг максимал қийматига эга бўлади. C_2 зарадланиш вақти оралиғида бу кучланишнинг қиймати U_{B2} қийматгача камаяди. Кейинги жараён C_1 конденсаторнинг разрядланиши билан боғлиқ бўлади. Бу разрядланиш VT1 ва R_{B2} орқали бўлганлиги туфайли C_1 нинг разрядланиши қуйидаги ифода билан аниқланади.

$$U_{C_1} = U_T \left[2 \exp\left(-\frac{t C_1}{R_{B2}}\right) - 1 \right] \quad (3)$$

Шунга кўра разрядланиш экпоненциал то 0 гача камаяди. C_1 конденсаторнинг разрядланиш вақти эса қуидагига teng.

$$t_2 - t_0 = 0.7 R_{B2} * C_1 \quad (4)$$

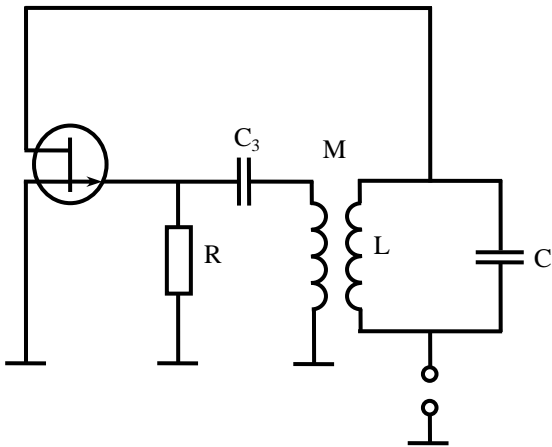
t_2 вақтда транзисторни уланиши бошланади. VT1 ёпилади, VT2 тўйиниш режимига ўтади ва юқорида келтирилган жараёнлар мос равища тақрорланади. Юқорида келтирилган схема симметрик бўлганлиги учун чиқищдаги импульс тўтргурчакли импульс шаклига яқин бўлади. Импульс узунлиги пауза узунлиги билан teng бўлади. Чиқиш кучланишининг частотаси таъминот кучланишига боғлиқ эмас. Фақат схема элементларига боғлик.

$$f \approx \frac{0.7}{R_B C}$$

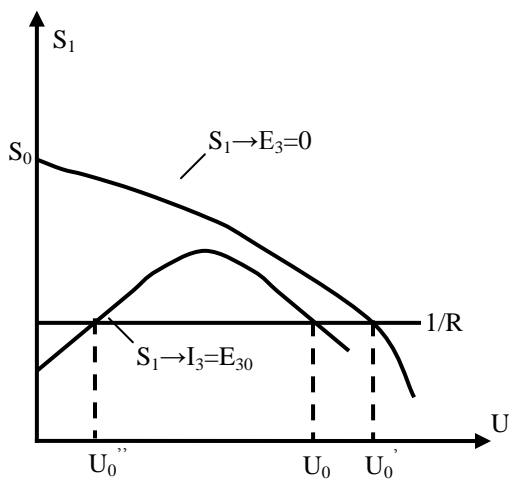
Маъруза -6

АВТОМАТИК СИЛЖИШ ВА УЗЛУКЛИ ГЕНЕРАЦИЯ

Генераторларда фойдали иш коэффициентини ошириш учун кесиш услугби қўлланилади. Узлукли генерация ҳосил қилиш учун элементар схемани кўриб чиқамиз.



Кесиш режимида токнинг доимий ташкил этувчиси ва транзисторларда тақсимлаш қуввати қийматлари камаяди. Кесиш режимида биринчи гармоника бўйича характеристика тиклиги тебранш амплитудаси кичик бўлган ҳолатларда 0 га яқин бўлади. Бу эса ўз-ўзидан қўзғалишнинг қаттиқ режимини таъминлайди. Бундай ҳолатларда генераторларда ўз-ўзидан тебраниш ҳосил бўлмайди. Агар қандайдир услублар билан силжиш камайтирилса, тебраниш ҳосил бўлади. Шунинг учун генераторлар автоматик силжиш яъни контурдаги кучланишга боғлиқ бўлган силжиш қўлланилади. Генераторда майдоний транзистор учун затвор исток орасидаги кучланиш 0 га teng бўлади. Ишчи нуқта сток-затвор характеристикасининг характеристика тиклиги катта бўлган қисмида жойлашади. Биринчи гармоника бўйича характеристика тиклиги S_1 ни кучланишга боғлиқлик графигини келтирамиз.



Графикдан кўриниб турибдики затвордаги силжиш $E_3=0$ бўлганда ўз-ўзидан қўзғалишнинг “юмшоқ” режимига тўғри келади. Агар $1/R < S_0$ шарт бажарилса, тебранишнинг амплитудаси U_0 қийматгача ошади.

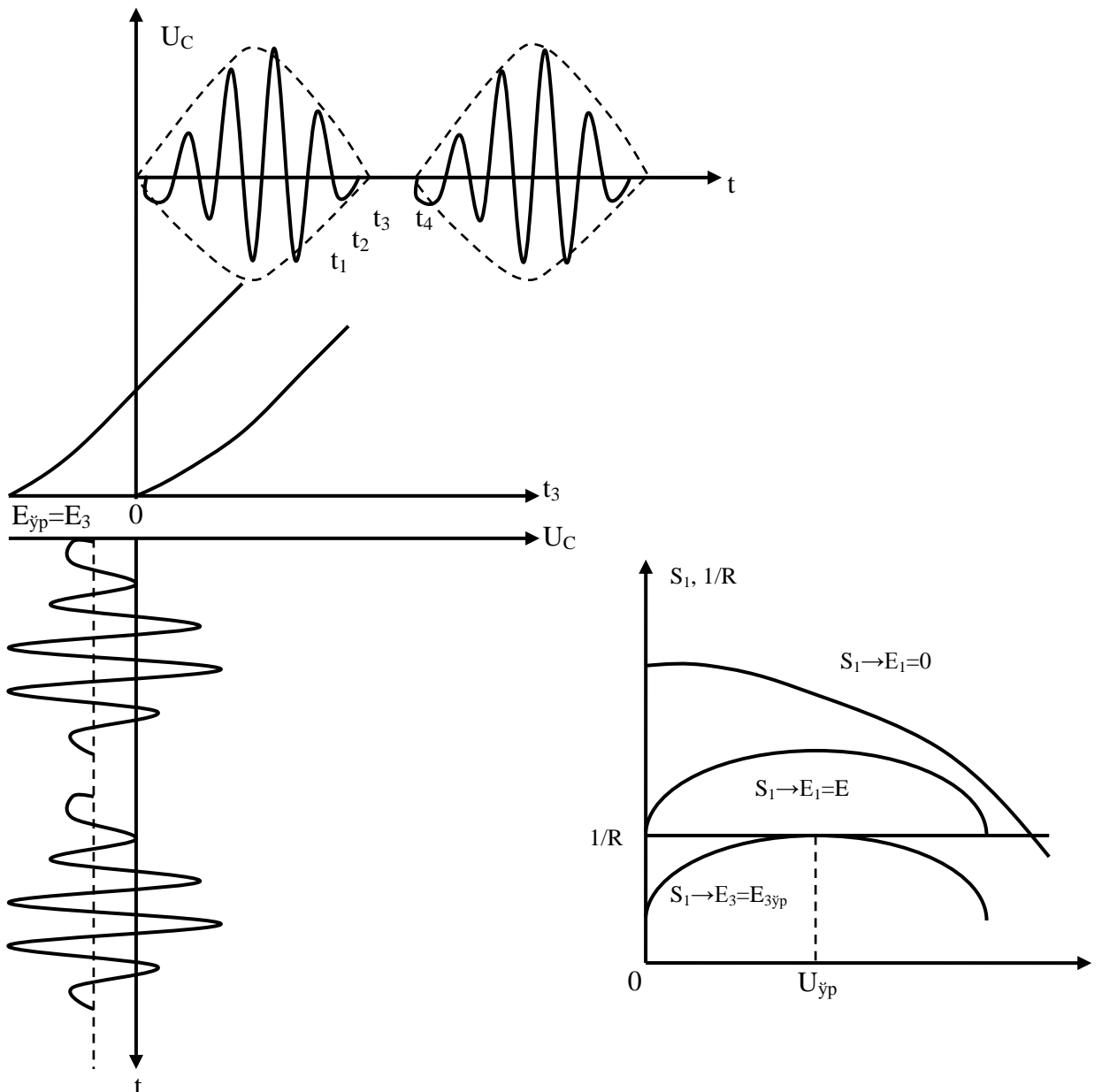
$$U_3 \cos \omega_0 t$$

ҳосил бўлади. Бу кучланишнинг мусбат ярим даврида затвордан ток оқиб ўтади. Бу токнинг доимий ташкил этувчиси I_{30} , C_3 конденсаторини зарядлайди ва

характеристикадаги ишчи нүктаны чапга силжитади ва бу силжитиш кучланиши қуидагига тенг.

$$E_{30}=I_{30} \cdot R_3$$

Агар тебраниш узилса, затвордан ток оқиб ўтмайды. C_3 конденсатор R_3 қаршилик орқали разрядланади. Натижада силжиш кучланишининг қиймати камаяди. Силжиш қийматининг кейинги натижаларида $k\beta > 1$ тебраниш ҳосил бўлади. Ишчи нүкта эса ўз-ўзидан қўзғалишнинг “қаттиқ” режимига силжийди. C_3 ва R_3 нинг катта қийматларида узлукли генерация ҳосил бўлади. Бунда доимий амплитудага эга тебраниш эмас, балки юқори частотали тебраниш билан тўлдирилган алоҳида импульслар генерация қилинади. Узлукли генерация тебранишини вақт диаграммасини кўриб чиқамиз.



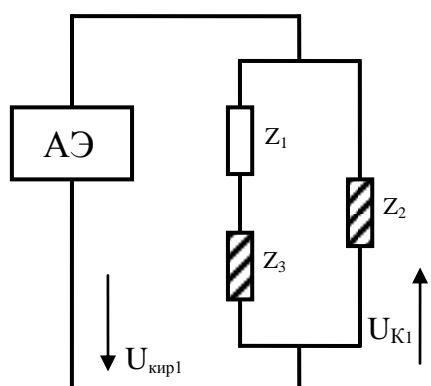
0 дан t_1 вақтгача бўлган оралиқни кўриб чиқамиз. Бу вақт оралиғида $E_3=E_k$ характеристика тикилиги тебранишни қўзғалишини таъминлайди.

Тебранишнинг амплитудаси ошиб боради. C_3 конденсатор затвор токи билан зарядланади. Манфий силжиш ошади. Агар C_3 катта қийматга эга бўлса, E_3 нинг ошиши кичик қийматларда ўзгаради. t_1 дан t_2 гача бўлган вақт оралиғи C_3 зарядланишда давом этади. E_3 нинг қиймати ошади. Тебранишнинг амплитудаси $U_{0\text{урт}}$ қийматгача камаяди. t_2 дан t_3 гача бўлган вақт оралиғида тебраниш сўниб боради. t_3 моментида узулиш ҳосил бўлади. Амплитуда $U_{0\text{урт}}$ дан 0 гача камаяди. C_3 нинг кучланиши $C_3 * R_3$, вақт доимийси катта бўлган қийматларда ҳам ўзгармайди. t_3 дан t_4 оралиқда тебраниш амплитудаси ва затвор токи 0 га teng. E_3 силжиш 0 га интилган ҳолда экспоненциал қонун бўйича камаяди. Манфий силжиш E_k (кўзғалиш силжиши) қийматигача силжиганде тебраниш яна ҳосил бўлади. Ушбу цикл яна давом этади. Узлукли генерация R_3 ни қийматини камайтириш йўли билан йўқотилиши мумкин, яъни ушбу ҳолатда E_3 ни қиймати $E_{\text{урт}}$ қийматгача силжимайди, тебраниш узилмайди. Бундан ташқари C_3 ни қийматини камайтириш билан ҳам узлукли генерацияга чек қўйиш мумкин. Агар $C_3 * R_3$ вақт доимийси τ кичик бўлса, амплитуда ошиши билан E_3 силжиш ошади. Биринчи гармоника бўйича характеристика тиклиги камаяди. Натижада тебраниш доимий амплитудага эга бўлади(стационар ҳолат).

Маъзуза -7

ИЧКИ ТЕСКАРИ АЛОҚАЛИ АВТОГЕНЕРАТОРЛАР. ГЕНЕРАТОРЛАРНИНГ УЧ НУҚТАЛИ СХЕМАЛАРИ

Генераторларнинг уч нуқтали схемаларини умумий кўринишда куйидагича келтириш мумкин.



$$\left. \begin{array}{l} Z_1 = iX_1 \\ Z_2 = iX_2 \\ Z_3 = iX_3 \end{array} \right\} \text{реактив элементлар}$$

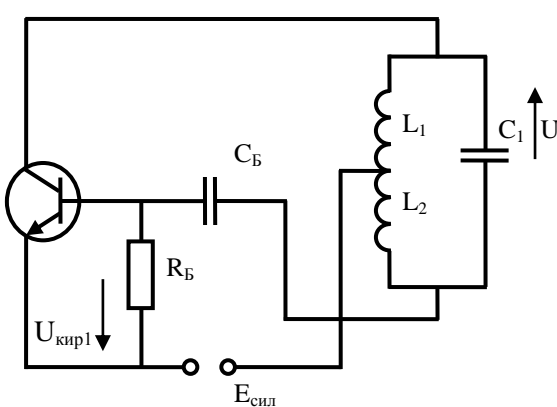
Бу ерда бир хил реактив элементлар ишлатилади. Яъни С ёки L. Генераторда амплитуда ва фаза баланси шарти бир вақтда бажарилиши керак. Бу шарт (κ) ва (β) ни тўғри танлаш орқали бажарилади. Актив элемент киришидаги кучланиш $U_{\text{кир1}}$ га нисбатан 180^0 га сурилган. Фаза баланси шарти бажарилиши учун X_1 ва X_2 кучланиш бўлувчида фаза 180^0 га бурилиши керак. Бунинг учун биринчи шарт бажарилиши керак.

$$\frac{X_2}{X_1 + X_2} < 0 \quad (1)$$

Бу шарт X_1 ва X_2 элементлари хар хил турдаги элемент бўлганда бажарилади ва $|X_1| > |X_2|$ бўлиши керак.

Генерация қилинаётган частота резонанс частотага яқин бўлиши учун X_2 ва X_3 элементлари бир хил характерга эга элементлар бўлиши керак. Генераторларнинг уч нуқтали схемалари икки хил кўринишда бўлади:

1. Индуктив уч нуқтали. Бунда X_2 ва X_3 индуктив характерга эга, X_1 эса сифим.
2. Сифим уч нуқтали. Бунда X_2 ва X_3 сифим, X_1 эса индуктивлик.



Мисол сифатида индуктив уч нуқтали генератор схемасини келтирамиз.

Тескари боғланиш занжирини узатиш коэффициенти схема элементларига боғлиқ. Ушбу схемада транзистор киришидаги кучланиш $\beta = \frac{X_2}{X_1 + X_2}$ таъминот

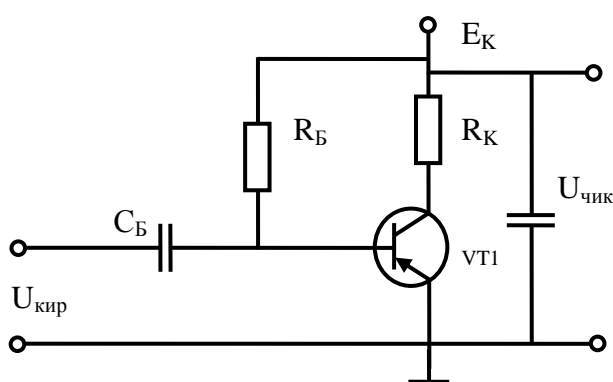
кучланиши билан фазаси π га фарқ қилганлиги сабабли тескари боғланиш коэффициенти манфий бўлиши талаб этилади. Яъни

$$\beta = \frac{1}{\frac{X_1}{X_2} + 1};$$

7.1 Аррасимон кучланиш генератори

Аррасимон кучланиш генераторининг транзисторли схемасини келтирамиз.

Аррасимон кучланиш генератори киришига бошқарувчи сигнал берилмасидан олдин транзистор очиқ, коллекторидаги кучланиш бир бирига тенг уларнинг қиймати кичик. Киришга мусбат импульс берилиши билан транзистор ёпилади. Коллектор токининг қиймати 0 гача камаяди. Конденсаторнинг зарядланиши экспоненциал қонун билан ошади.



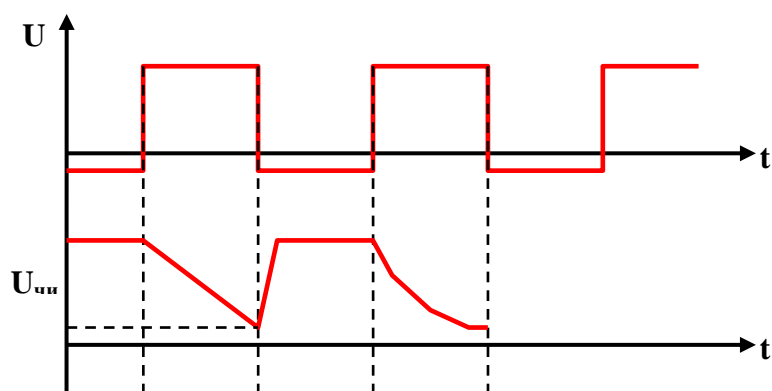
$$-E_K + I_{K0} * R_K$$

Киришдаги импульснинг таъсири тўхтатилиши билан транзистор очилади. Унинг қаршилиги камаяди. Шунга мос равишда конденсатор разрядланади. Разрядланиш жараёни ҳам экспоненциал характерга эга бўлади. Конденсатор зарядланганда кучланиш ошади.

Қаршилик R_K даги кучланиш камаяди. Зарядланиш токи қуйидагига тенг бўлади.

$$i_C = \frac{E - U_C}{R_K};$$

Юқорида келтирилган хема учун вақт диаграммани келтирамиз.



Маъруза -8

АВТОГЕНЕРАТОРДА БУРЧАКЛИ МОДУЛЯЦИЯ.

АВТОГЕНЕРАТОРНИНГ АСОСИЙ ВАЗИФАЛАРИ. ЧМ
СИГНАЛЛАРНИНГ АВТОГЕНЕРАТОРЛИ МОДУЛЯТОРИ

Частота модуляция натижасида юқори частотали ташувчи

$$u_r = U_0 \cos(\omega_0 t + \phi_0)$$

нинг оний частотаси ўзгариши керак, бу ўзгариш $\Delta\omega$ модуляцияловчи сигнал

$$u_m = U_m \cos(\Omega t)$$

амплитудасига пропорционал бўлиши керак, яъни

$$\omega_m = \omega_0 + \Delta\omega = \omega_0 + k_m u_m.$$

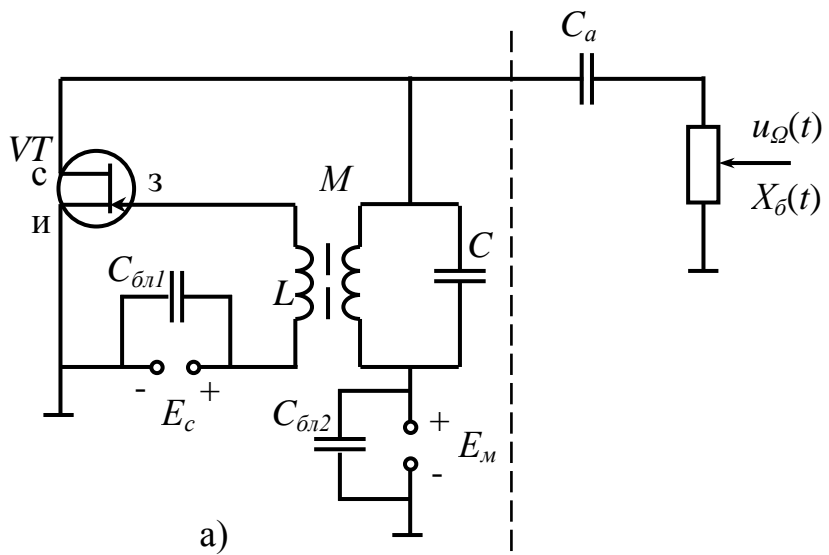
Частота модулятори икки қисмдан иборат бўлиши керак: биринчиси, ω_0 частотали тебранишлар генератори ва иккинчиси, генерацияланадиган тебраниш частотасини модуляция сигнали орқали бошқарувчи қисм. Генератор қурилмаси билан қўлланманинг охирги қисмида танишамиз. Ҳозирча генераторда унинг тебраниш частотасини аниқловчи резонанс LC параллел контури бор деб ҳисоблаймиз. LC – контур резонанс частотаси ω_0 кўйидагига teng

$$\omega_0 = \frac{1}{\sqrt{LC}}.$$

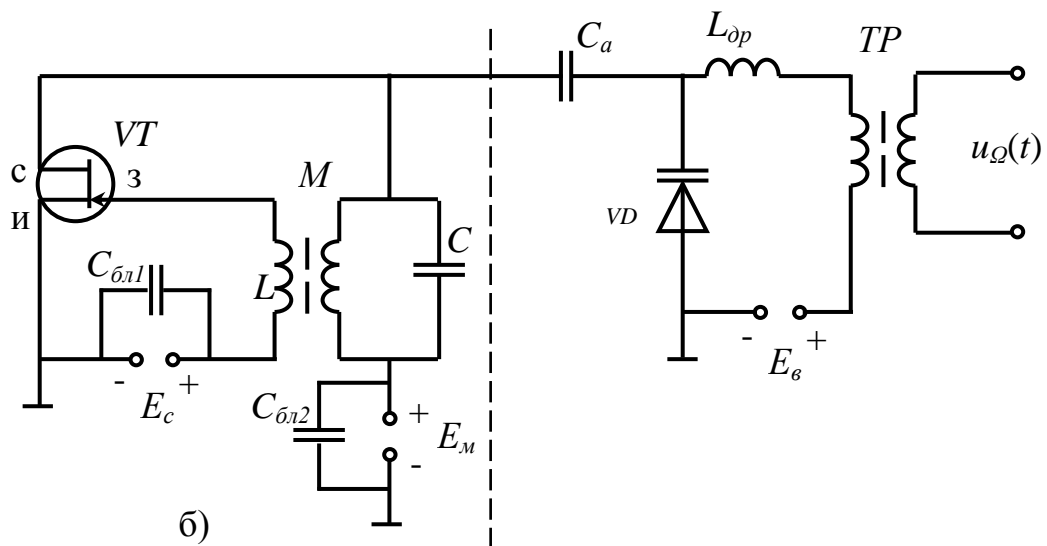
Демак, биз параллел контур индуктивлиги L ёки сифими C ни ўзгартириб, унинг резонанс частотаси ω_0 ни ўзгартиришимиз мумкин. Натижада генератор частотаси ўзгаради. Контур параметрларини турли усуллар билан ўзгартириш мумкин, ҳамма ҳолда ҳам бошқарувчи элемент $X_\delta(t)$ реактив элемент бўлиб, у L ёки C га таъсир этиши керак.

7.1а-расмда частота модулятори соддалашган схемаси ва 7.1-расмда бошқарувчи элементи $X_\delta(t)$ сифатида варикапдан фойдаланилган частота модулятори схемаси келтирилган.

$X_\delta(t)$ модуляцияловчи кучланиш $u_m(t)$ орқали бошқарилади. Варикап p -н ўтиши сифимини унга қўйилган кучланишга боғлиқлик характеристикаси $C=\Phi(U)$ 7.2-расмда келтирилган.



a)



б)

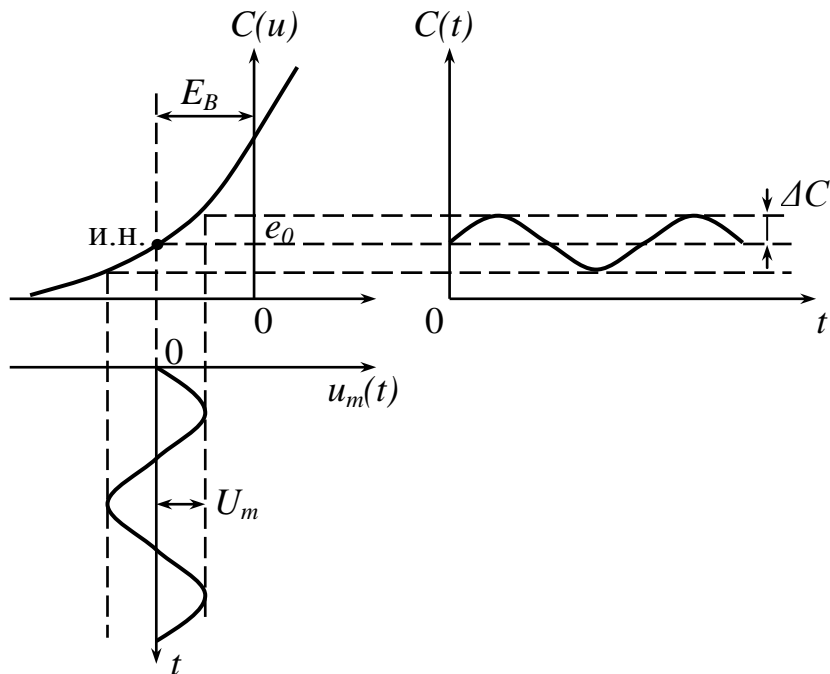
7.1-расм. Частота модуляторлари схемаси. а) соддалаштирилган схемаси, б) ЧМ сигнални варикап ёрдамида олиш схемаси.

7.1-расмда пунктир чизиқдан чап томони ω_0 частотали тебранишлар генератори бўлиб, унга варикап VD ажратувчи конденсатор C_a орқали уланган. Варикапнинг эквивалент қаршилиги ҳар бир онда, унинг доимий қисми C_0 ва ўзгарувчан қисми $\Delta C(t)$ дан иборат, яъни

$$C_{\delta}(t) = C_0 + \Delta C(t).$$

Варикап вольт-фарада характеристикиаси (6.13-расм) да иш нуқтаси унга бериладиган силжиш кучланиши E_e орқали ўрнатилади. Модуляцияловчи кучланиш $u_{\Omega}(t)$ транформатор TV ва дроссел $L_{\delta p}$ орқали силжиш кучланиши E_e билан бирга варикапга берилади. Бу кучланишлар

таъсирида варикап сигими бошқарилади. C_a – кичик сиғимли конденсатор ω частотали юқори частотали тебранишлар учун қаршилик күрсатмайды, натижада варикап ва LC контур бир-бирига параллел уланади. Иккинчи томондан C_a конденсатори модуляцияловчи $u_\Omega(t)$ ни параллел контурга ўтказмайды. Бундан ташқари C_a силжиш қучланиши манбаи E_e ни L индуктивлик орқали ўтишига йўл қўймайди. Дроссел L_{dp} параллел LC контурни юқори частотада трансформатор TV ва E_e манба ички қаршилиги билан шунтланишини бартараф қиласди.



7.2-расм. Варикап ёрдамида ЧМ сигнални олишга оид вақт диаграммалари.

Варикапга кичик сатҳли модуляцияловчи қучланиш $u_\Omega(t)$ таъсирида унинг сиғими $C_o(t)$ модуляцияловчи қучланишга пропорционал ўзгаради (6.13-расм). Бунинг натижасида генерация частотаси ўзгаради, у қуйидаги ифода орқали аниқланади

$$\omega = \frac{1}{\sqrt{L + C_o}},$$

ёки

$$\omega = \frac{1}{\sqrt{L + C_0 + \Delta C}}.$$

Варикап бошланғич сиғими C_0 ва параллел контур конденсатори C сиғими биргаликда ташувчиси частотасини ω_0 ни белгилайди. Демак

$C'_0 = C + C_0$ деб олсак ташувчи частотаси $\omega_0 = \frac{1}{\sqrt{LC'}}$ бўлади ва (6.42) қўйидаги кўринишни олади

$$\omega = \frac{\omega_0}{\sqrt{1 + \frac{\Delta C}{C_0}}}.$$

Демак параллел контур сифимининг ΔC га ўзгариши унинг частотасини $\Delta\omega$ ўзгаришига олиб келади, яъни

$$\omega_m = \omega_0 + \Delta\omega$$

бўлади. Частота ўзгариши $\Delta\omega$ сифим ўзгариши ΔC га пропорционал бўлиши учун $\frac{\Delta C}{C_0} \leq 0,1 \div 0,2$ бўлиши керак.

Бошқарувчи реактив элемент сифатида реактив транзисторлардан ҳам фойдаланилади.

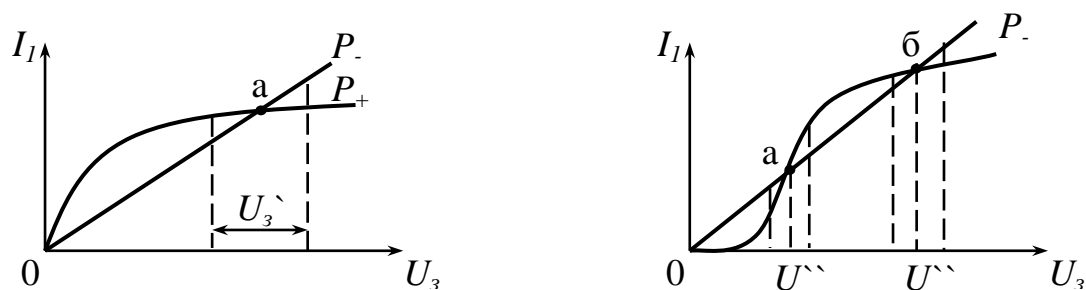
Частота модуляторининг статик модуляцион характеристикиаси (СМХ) деб, частота ўзгариши $\Delta\omega$ ни силжиш кучланиши E_b га боғлиқлигига айтилади, яъни $\Delta\omega = \Phi E_b$. Бунда $U_m = 0$ ва генератор электр манбалари кучланиши ўзгармас деб ҳисобланади. Ушбу СМХ орқали модуляторнинг иш ҳолати ва модуляциялаш сифати аникланади.

Маъзуза -9

LC ВА RC АВТОГЕНЕРАТОРЛАРИ. ГЕНЕРАТОРЛАРНИНГ ВАЗИФАСИ ВА СХЕМАСИ. ТЕСКАРИ АЛОҚА ЗАНЖИРИГА ЭЮК НИНГ ТАЪСИРИ.

Автогенераторларнинг ишлаш режимлари уларнинг тебраниш характеристикалари ва ўртача қиялик характеристикалари орқали баҳоланади.

АГ нинг тебраниш характеристикаси деб, актив элемент (транзистор, электрон лампа ва х.к.) дан ўтаётган ток биринчи гармоникаси I_1 нинг унинг киришидаги гармоник шаклдаги кучланиш U_3 амплитудасига боғлиқлигига айтилади, яъни $I_1 = \Phi(U_3)$.



8.5-расм. а) юмшоқ режим учун тебраниш характеристикаси, б) қаттиқ режим учун тебраниш характеристикаси.

8.5а-расмдаги ҳолатда U_3 қиймати нольга яқин ҳолатдан то (а) – нуқтагача $P_t > P_-$, демак ўз-ўзидан қўзғалиш генерация содир бўлади ва $P_t = P_-$ (а) – нуқтада тебранишлар амплитудаси барқарорлашади агар баъзи сабабларга кўра U_3 нинг (а) – нуқтасига мос қиймати $\pm\Delta U$ га ўзгарса, унинг қиймати бир-оз вақтдан кейин ўзининг (а) – нуқтасига мос ҳолатига қайтади, чунки (а) – нуқтадан чапда $P_t > P_-$ жараён ривожланиб (а) – нуқтага интилади. (а) – нуқтадан ўнгда $P_t < P_-$ бўлиб бу ҳолат узоқ давом этолмайди ва яна астасекин $P_t = P_-$ бўлган (а) – нуқтага қайтади. Бу режим юмшоқ режим деб юритилади. Бу режимда О – нуқтаси динамик режимда барқарор эмас, (а) – нуқтаси динамик режимда барқарор, бу ҳолат генерация давомида ўзгармайди агар ташқи таъсир генерацияни сўндиришга сабаб бўлмаса.

8.5б-расмда P_t ва P_- уч нуқтада кесишади. Бошлангич нуқтада (О) $P_t = P_-$, агар, бирон бир сабаб билан $U_3 > 0$ аммо $<U_3^1$ бўлса генерация содир бўлмайди $P_t < P_-$, 0 – нуқтада режими турған. (а) – нуқтасида $P_t = P_-$, аммо ундан чапда $P_t < P_-$, ўнгда эса $P_t > P_-$. Агар (а) нуқтасига мос кучланиш қиймати U_3^1 амплитудаси $\pm\Delta U$ га ўзгарса, қурилма иш режими ўзгаради, бунда (а) нуқтадан чапда $P_t < P_-$ бўлгани учун бор бўлган тебраниш аста сўнади, 9а) нуқтанинг ўнг томонида $P_t > P_-$ бўлгани учун у (а) нуқтадаги ҳолатидан (б) нуқтага мос иш ҳолатига ўтади. (а) нуқтаси динамик режимда барқарор эмас. (б) нуқтаси динамик режимда барқарор (бу ҳолат юмшоқ

режимдаги (а) нүктасига ўхшаш ҳолат). 8.5б-расмдаги ҳолатда генерация ҳосил қилиш учун унга ташқаридан амплитудаси U_3 дан катта бўлган туртки кучланиши берилиши керак. Бу таҳлилда ўз-ўзидан қўзғалувчи генератор режими қаттиқ режимда қўзғалиш режими деб аталади.

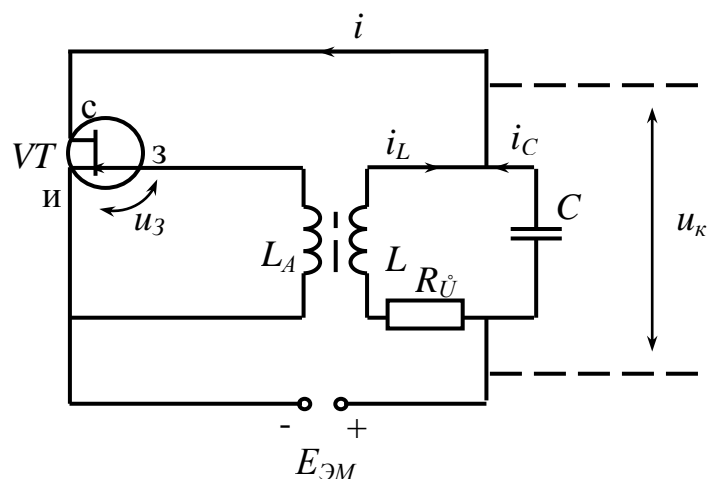
Генераторнинг юмшоқ ёки қаттиқ режимда ўз-ўзидан қўзғалиши – генерация қилиши иш нүктаси АЭ ВАХ сининг қайси қисмида ўрнатилганлигига боғлиқ.

Агар бошланғич ҳолат иш нүктаси АЭ ВАХ сининг энг катта қияликка эга қисмида ўрнатилса ва қўзғалиш шарти бажарилса, бу юмшоқ режимга мос келади. Бошланғич иш нүктаси АЭ ВАХ сининг қиялиги кам бўлган бошланғич қисмига ўрнатилган бўлса, бу қаттиқ иш режимига мос келади.

9.1. Автогенераторлар қўзғалиш шарти

Транзистор киришидаги кучланиш унинг ВАХ сининг жуда оз қисмига мос келса, ушбу нұқта атрофида унинг характеристикасини чизиқли ва қиялиги S_0 деб ҳисоблаш мумкин, чунки генерация жуда кучсиз ток ва кучланишлар қийматининг тасодифий ўзгариши натижасида юзага келади. Генерация содир бўлиши жараёнида, уни чизиқли доимий параметрга эга деб қаралади.

Автогенератор тенгламасини тузиш учун Кирхгоф қонунидан фойдаланамиз.



8.1-расм. Майдон транзисторли автогенеатор соддалашган электр схемаси.

Транзистор сток токи $i_c = i_L + i_c$ бўлиб

$$i=S_1 U_3$$

га тенг. Транзистор затворидаги кучланиш U_3 алоқа индуктивлигидаги ЭЮК E_{Π} га тенг

$$U_3 = E_{\Pi} = M \frac{di_L}{dt}.$$

(8.4) ни (8.3) ифодага қўйиб

$$i = MS_0 \frac{dt_L}{dt}$$

ни оламиз. Сигум орқали ўтувчи токни LC – контурдаги кучланиш U_k орқали ифодалаймиз

$$i_C = C \frac{dU_k}{dt}.$$

U_k кучланиши L индуктивлик ва R_y даги кучланишлар йиғиндисига тенглигини эътиборга олсак

$$u_k = R_{\Pi} i_L + L \frac{di_L}{dt},$$

(8.7) ифодани дифференциаллаб i_c ток учун қўйидаги ифодани оламиз

$$i_C = R_{\Pi} C \frac{di_L}{dt} + L C d^2 \frac{i_L}{dt^2}.$$

i_c ва i_L токлар йиғиндиси i ни аниқлаймиз, яъни

$$MS_0 \frac{di_L}{dt} = i_L + R_y C \frac{di_L}{dt} + L C \frac{d^2 i_L}{dt^2}.$$

Ушбу ифоданинг ҳамма ташкил этувчиларини LC га бўлиб, қўйидаги ифодани оламиз

$$\frac{d^2 i_L}{dt^2} + \left(\frac{R}{L} - \frac{MS_0}{LC} \right) \frac{di_L}{dt} + \omega_0^2 i_L = 0,$$

бунда $\omega_0^2 = \frac{1}{LC}$ - LC – контур резонанс частотаси.

Бу тенглама генераторнинг ўз-ўзидан қўзғалиш иш режимини ифодалайди. Бу иккинчи даражали дифференциал тенглама бўлиб, унинг ҳамма коэффициентлари доимий ва токка боғлиқ эмас.

Оддий параллел LC – тебраниш контури қўйидаги дифференциал тенглама билан ифодаланади

$$\frac{d^2i}{dt^2} + 2\alpha \frac{di}{dt} + \omega_0^2 i = 0,$$

бунда $2\alpha = \frac{R_{\dot{i}}}{L}$ - контур сўниш коэффициенти.

(8.10) ва (8.11) тенгламалар тузилиши бир хил. Шунинг учун генераторнинг сўниш коэффициенти тескари боғланиш қийматига боғлиқ тебраниш контури сифатида қаралиши мумкин.

$$\frac{d^2i_L}{dt^2} + 2\alpha \frac{di_L}{dt} + \omega_0^2 i = 0$$

бунда, эквивалент сўниш коэффициенти

$$2\alpha_3 = 2\alpha - \frac{MS_0}{LC}.$$

агар тескари боғланиш мусбат бўлса сўниш коэффициенти α камаяди, чунки $\frac{MS_0}{LC}$ - мусбат. Сўниш коэффициенти α тебранишнинг сўниш тезлигини, яъни энергиянинг қаршилик $R_{\dot{i}}$ да йўқотилиш тезлигини тавсифлайди. Демак МТБ (мусбат тескари боғланиш) орқали тебраниш контурига қўшимча энергия олиб кирилади, бу сўниш коэффициентини камайтириш демакдир.

α_3 - нинг мусбат қийматларида контурдаги тебранишнинг сўниш жараёни келтирилган. Сўниш тезлиги α_3 нинг абсолют қийматига боғлиқ. Тескари боғланишли M ни ошириш ҳисобига

$$2\alpha_3 = 2\alpha - \frac{MS_0}{LC} = 0$$

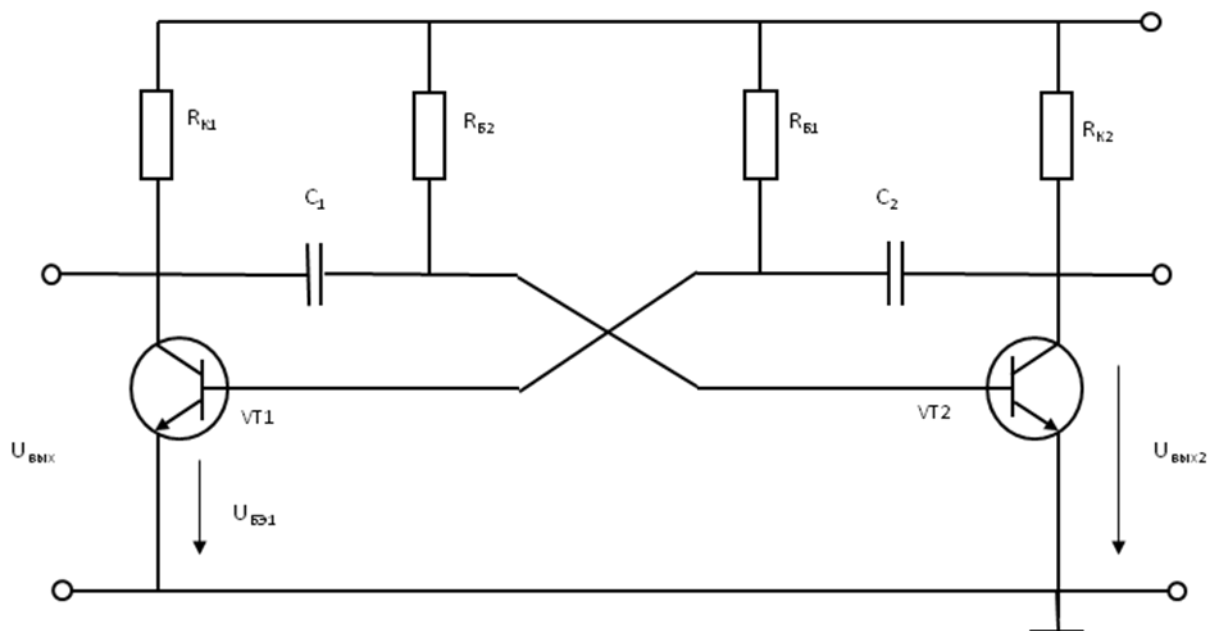
Маъруза 10.

МУЛЬТИВИБРАТОР ҚУРИЛМАЛАРИНИНГ КЛАССИФИКАЦИЯСИ ВА ҚЎЛЛАНИЛИШИ.

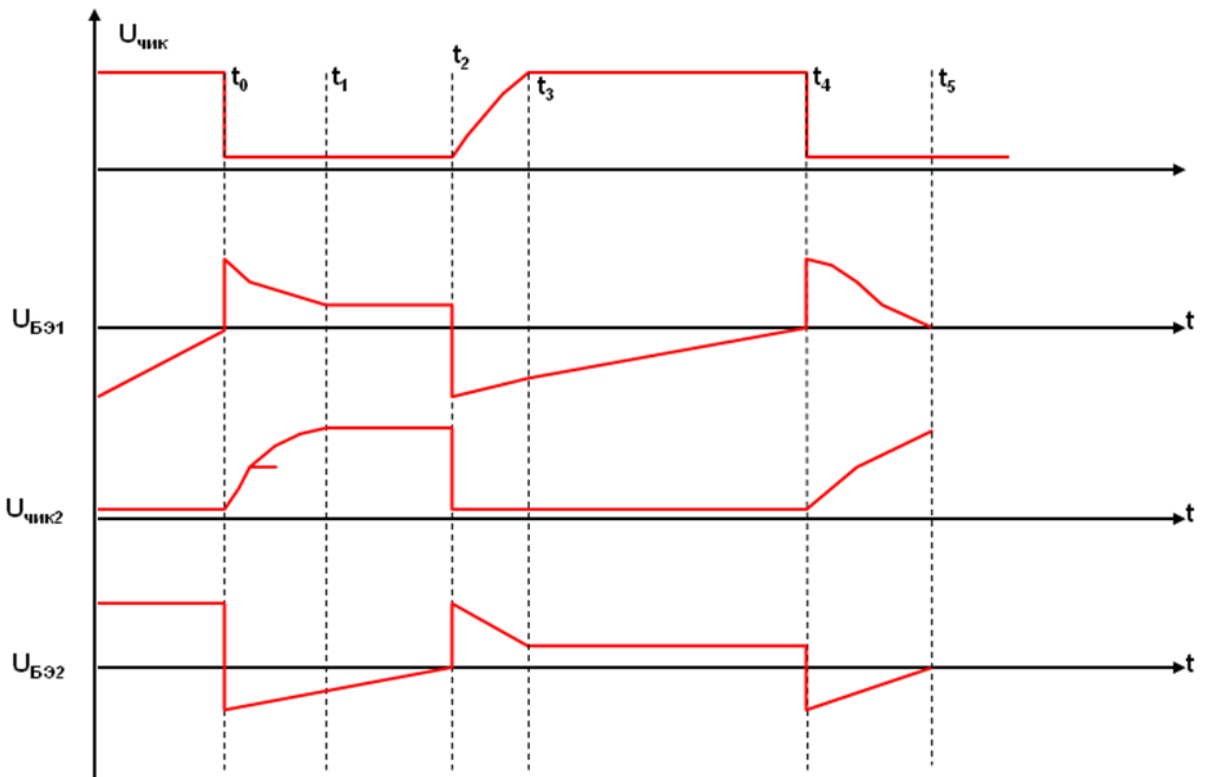
Мультивибратор – лотинча сўздан олинган бўлиб, “мульти” – кўп, “вибратор” – тебраниш маъносини англатади. Мультивибраторлар тўғри тўртбурчакли импульсларнинг генератори бўлиб, мусбат тескари боғланишга эга кучайтиргичдир. Мультивибраторларнинг иккита тури мавжуддир.

- Автотебранувчи (турғун мувозанат ҳолатига эга эмас).
- Кутувчи (битта турғун мувозанат ҳолатига эга) баъзи ҳолларда бир вибраторли деб ҳам юритилади.

Коллектор – база боғланишига эга мультивибратор қўйидаги схемага эга.



Ушбу мультивибратор схемаси симметрик схема. Яъни $K_{L1}=K_{L2}=K_{ж}$ $K_{B1}=K_{B2}=K_{ж}$ $C_1=C_2=C$; Бу схемани ишлаш принципини вақт диаграммасини кўриб чиқамиз.



t_0 вақтгача VT1 транзистор түйниш режимида, VT2 транзистор кесилиш режимига ўтади. Бу вақтда схемада иккита алоҳида жараён кечади. Яъни C_1 ва C_2 лар ортиқча зарядланишда бўлади. t_1 вақтда C_2 тўлиқ разрядланади ва VT1 транзистор түйинишдан кейин R_{K2} резистор орқали зарядланиши бошланади. Бунда кучланиш га тенг бўлади.

VT1 түйиниш эмиттер ўтишида C_2 конденсатор VT2 транзисорнинг коллектор – эмиттер шунтлагани учун бу конденсаторнинг зарядланиши VT2 транзисторни кучланишини ўзгариш тезлигини кўрсатади. Бу конденсаторнинг зарядланиши $U_{C2}=0.9U_T$ қийматда тутатилади. Транзисторнинг коллектор кучланишини фронт узунлиги қуйидагига тенг:

$$t_1 - t_0 = R_{K1} * C_1 \ln 10 \approx 2.3 R_{K1} C_1$$

t_0 вақтда VT1 транзистор база токи R_{B1} қаршиликнинг доимий токи ва C_2 конденсатор импульс токи йифиндисидан иборат бўлади. Шунинг учун VT1 транзисторнинг токи түйиниш учун керак бўлган ... VT1 эмиттер ўтишидаги кучланишнинг максимал қийматига эга бўлади. C_2 зарадланиш вақти оралиғида бу кучланишнинг қиймати U_{B2} қийматгача камаяди. Кейинги жараён C_1 конденсаторнинг разрядланиши билан боғлиқ бўлади. Бу разрядланиш VT1 ва R_{B2} орқали бўлганлиги туфайли C_1 нинг разрядланиши қуйидаги ифода билан аниқланади.

Шунга кўра разрядланиш экпоненциал то 0 гача камаяди. C_1 конденсаторнинг разрядланиш вақти эса қуйидагига тенг.

$$t_2-t_0=0.7R_{B2} \cdot C_1$$

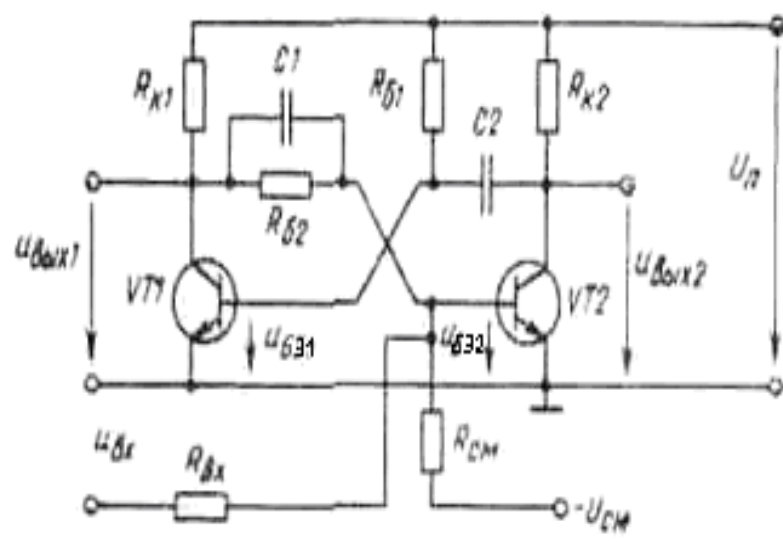
t_2 вақтда транзисторни уланиши бошланади. VT1 ёпилади, VT2 түйиниш режимига ўтади ва юқорида келтирилган жараёнлар мос равища тақрорланади. Юқорида келтирилган схема симметрик бўлганлиги учун чиқишидаги импульс тўтрабурчакли импульс шаклига яқин бўлади. Импульс узунлиги пауза узунлиги билан teng бўлади. Чиқиш кучланишининг частотаси таъминот кучланишига боғлик эмас. Фақат схема элементларига боғлик.

Маъруза -11

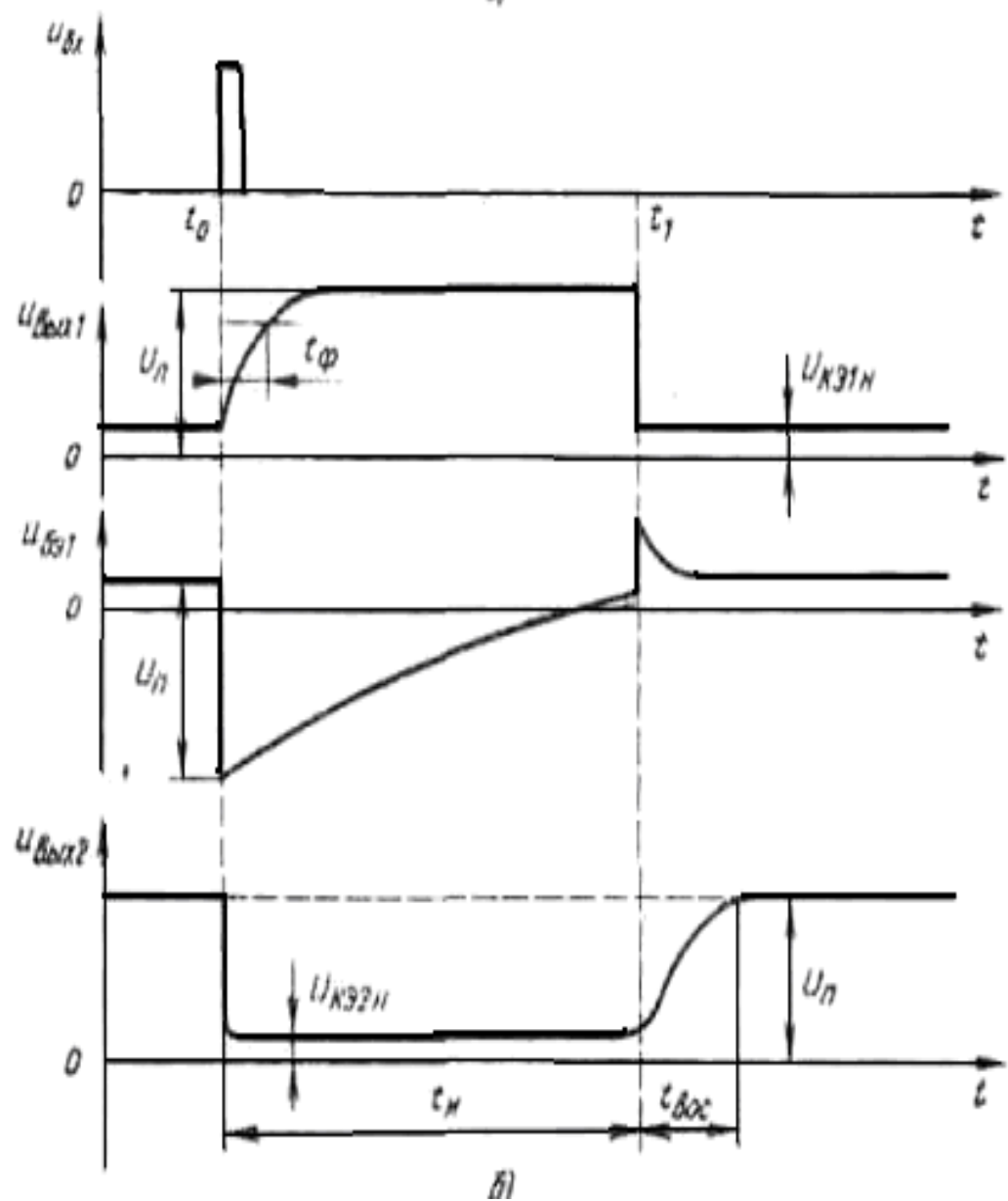
КУТУВЧИ МУЛЬТИВИБРАТОР. ЭКВИВАЛЕНТ СХЕМАСИ, ИШЛАШ ПРИНЦИПИ. СХЕМАНИНГ ИШЛАШ ТАРТИБИНИ КЎРСАТУВЧИ ВАҚТ ДИАГРАММАЛАР.

Симметрик мультивибратор схемасидан кутувчи мультивибратор режимига ўтиш учун мультивибратор 1 квазитурғун ҳолати барқарор мувозанат ҳолатида бўлиши керак. Бундай ҳолатга эришиш учун VT1 тўйиниш режимида C2 зарядланган C1 зарядланган ҳолатда бўлиши керак. Ушбу ҳолатни қўллайдиган мультивибраторни схемасини келтирамиз. Киришга бериладиган импульснинг параметрлари, амплитудаси ва кенглиги VT2 транзисторни очиш орқали тикланади. $U_{KЭ1}=U_{кир1}$ Кучланиш ошиши VT2 транзисторни тўйиниш режимига $U_{KЭ2}=U_{чиқ2}$ эса камайганлиги туфайли VT1 транзисторни ёқилишига олиб боради. VT2 тўйиниш режимига ўтганда C1 конденсаторнинг заряди:

$$I_{B2}=U_T/R_{K1} \text{ дан} \quad I_{B2}=U_T/(R_{K1}+R_{B2}) \text{ гача камаяди.}$$



a)

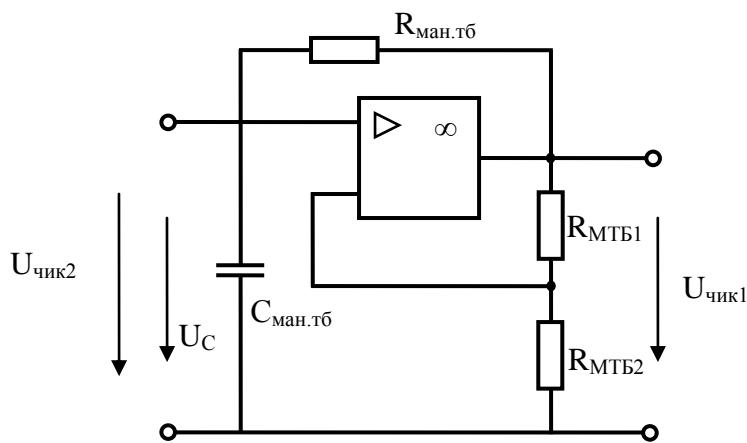


b)

Маъзуза -13

ОПЕРАЦИОН КУЧАЙТИРГИЧЛАР ИШТИРОКИДАГИ ГЕНЕРАТОРЛАР

Автогенераторларни ҳосил қилиш учун тескари боғланиш кучайтиргичларида фаза ва амплитуда балансини ҳосил қилиш керак. Генератор схемаларида кучайтиргич сифатида операцион кучайтиргичларни қўлланилишини кўриб чиқаиз.



Схемадан кўриниб турибдики генераторда иккита тескари боғланиш занжири мавжуд:

- 1) Мусбат тескари боғланиш занжири.
- 2) Манфий тескари боғланиш занжири.

Мусбат тескари боғланиш коэффициенти қўйидагига тенг

$$b_{MTB} = \frac{R_{MTB2}}{R_{MTB1} + R_{MTB2}};$$

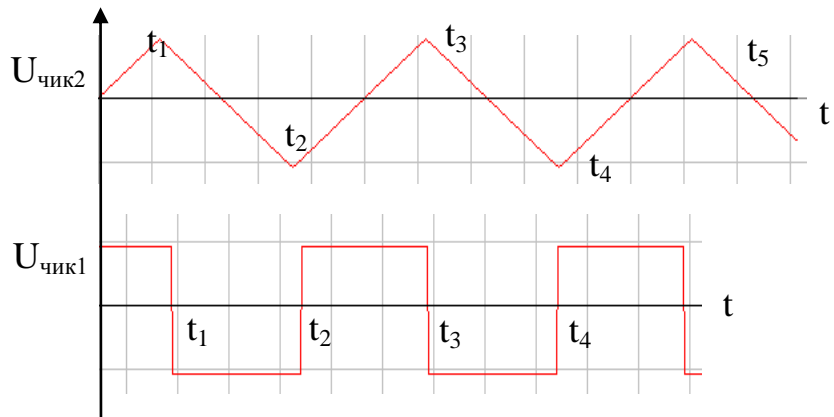
Манфий тескари боғланиш коэффициенти қўйидагига тенг

$$b_{man.TB} = \frac{1}{R_{man.TB} + C_{man.TB} + 1};$$

Ушбу схемада $U_{chik,max} = |-U_{chik,max}|$ шарт бажарилиши учун схемани ишлаш тартибини кўриб чиқамиз. $t=0$ вақт моментида схемага кучланиш берилсин. ОК чиқишида $U_{chik1} = U_{chik,max}$ бўлсин, у ҳолда ОК кришида $U_{kip.OK} = -b_{MTB} U_{chik,max} < 0$ қийматни қабул қиласи. Бу эса унинг чиқишидаги кучланиш мусбат ОК чиқишида бу кучланишнинг ҳосил бўлиши C_{mantb} ни зарядлана бошланишини билдиради. Конденсаторни зарядланиш вақт доимийси $\tau_3 = C_{mantb} R_{mantb}$ катталиги ҳамда операцион кучайтиргич кириш кучланиши ёрдамида схемада кечадиган жараён баҳоланади ва схеманинг бу ҳолати квазибарқарор ҳисобланади. ОК инвертор киришида $U_{kip} = b_{MTB} U_{chik,max}$, ($U_{kip.OK} = 0$) қийматга эга бўлганда кучланишнинг қиймати ўз кутбини ўзгартиради ва $U_{chik1} = -U_{chik,max}$ қийматгача камаяди. Натижада ноинвертор кирищдаги кучланиш $U_{n.i.kip} = -b_{MTB} U_{chik,max}$ қийматгача камаяди. Кучайтиргич киришидаги кучланиш эса (0) дан катта қийматгача ошади.

$$U_{\text{кирOK}} = 2 b_{MTB} U_{\text{чик},\max} > 0.$$

ОК тескари боғланиш конденсаторини қайта зарядланишига олиб келади. Маълум вақт давомида кучайтиргич кириш кучланиши камаяди ва 0 бўлганда схеманинг галдаги қайта уланиши бўлади ва юқорида келтирилган жараёнлар такрорланади. ОК чиқишида ўзгарувчан тўғри тўртбурчак шаклли импульс шаклланади. Чиқиш кучланиши вақт диаграммаларини келтирамиз.



Конденсаторнинг қайта зарядланиши туфайли U ... учбурчакли шаклга яқин бўлади. Юқорида келтирилган натижаларга қараб, иккита хulosha чиқариш мумкин:

- 1) ОК нинг чиқиши кучланиши $U_{\text{чик}1}$ га нисбатан схемани автотебранувчи режимда ишловчи мультивибратор деб қараш мумкин.
- 2) $C_{\text{ман.ТБ}}$ конденсатор кучланиши $U_{\text{чик}2}$ кучланишга нисбатан схемани арасимон кучланиш генератори деб қараш мумкин. Чиқиши кучланишининг частотаси схеманинг элементларига боғлиқдир. Манфий тескари боғланиш конденсатори зарядланиш доимийсига кучланишини боғлиқлигини кўриб чиқамиш.

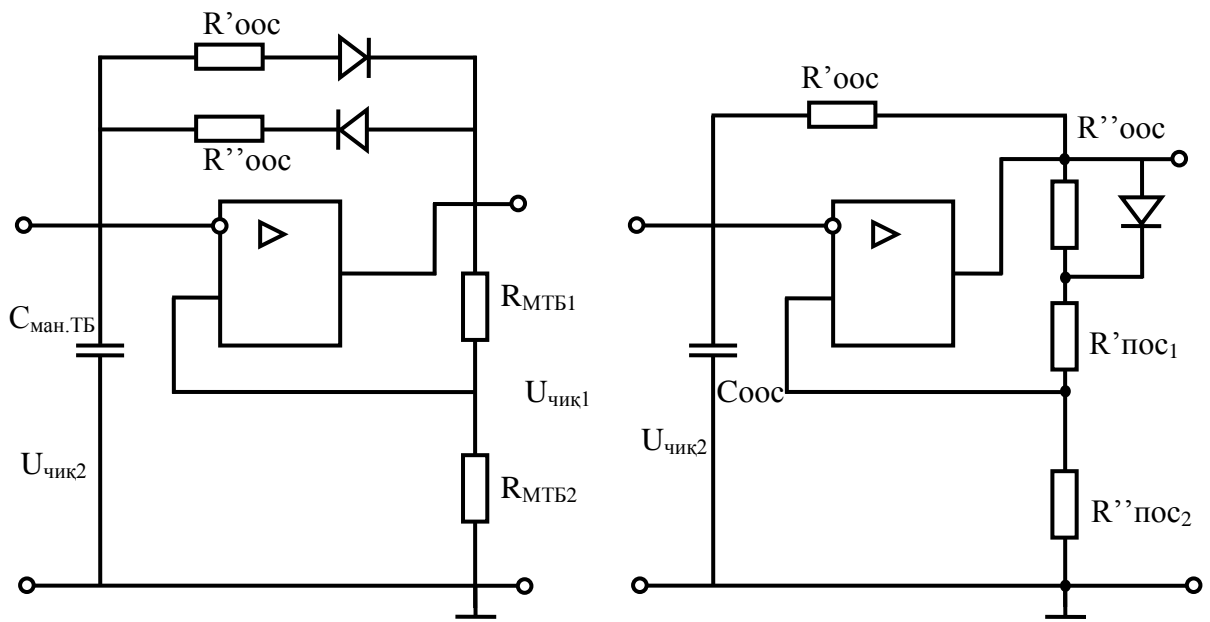
$$U_C = U_{C\text{ЭР}} + U_{C\text{max}} = U_{C0} \exp(t/\tau_3) + U_{\text{чик},\max} [1 - \exp(-t/\tau_3)]$$

$C_{\text{ман.ТБ}}$ нинг қайта зарядланиш жараёнининг эркин ва мажбурий ташкил этувчилари U_{C0} конденсатордаги бошланғич кучланиш (1) ифодадан чиқиши сигналининг частотасини аниқлаймиз.

$$f = \frac{1}{2(t_2 - t_1)} = \frac{1}{2R_{\text{ман.ТБ}} \cdot C_{\text{ман.ТБ}} \ln(1 + \frac{2R_{MTB2}}{R_{MTB1}})};$$

Иккинчи ифодадан кўриниб турнибеки частотани ошириш учун манфий тескари боғланишли вақт доимийси τ_3 ва мусбат тескари боғланиш занжирининг узатиш коэффициенти b_{MTB} га боғлиқ, яъни бу қийматларни камайтириш керак. Бу эса чиқиши кучланишини $U_{\text{чик}2}$ амплитудасини камайишига олиб келади. 2-ифода $U_{\text{чик},t} = |-U_{\text{чик},t}|$ шарт бажарилганда ва t_3 , b_{MTB} қийматлари чиқиши кучланишини кутбига боғлиқ бўлмаган ҳоллар учун тўғри бўлади. Лекин реал ҳолларда юқоридаги шарт бажарилмайди. Бундан ташқари тўғри тўртбурчакли кучланиш (импульс ва пауза кенглиги бир бирига тенг бўлмаган) ва хар хил ораликларда абсолютқийматларга эга учбурчакли импульслар ҳосил қилиш керак бўлади. Бу қўйилган талабларни

бажариш учун τ_3 ва b_{MTB} қийматлари мос равища танланади. Ушбу катталикларнинг қийматлари хар хил бўлганида схемалар қўйидаги кўринишга эга бўлади.

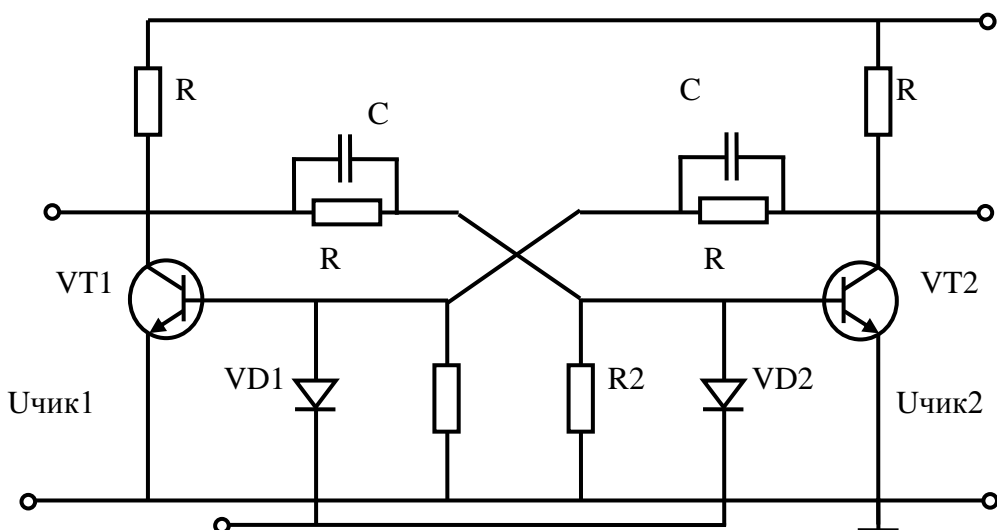


Маъзуза 14

ГЕНЕРАТОРЛАРНИ ТРАНЗИСТОРЛИ ТРИГГЕРЛАР АСОСИДА ҚУРИШ

Триггер иккита барқарор мувозанат ҳолатига эга ва ташқи бошқарувчи сигнал таъсирида бир ҳолатдан иккинчи ҳолатга ўтувчи қурилмадир. Электр схемасида барқарор ҳолат деб, шундай режимга айтиладики, бунда схеманинг хар қайси элементида ток ва кучланиш вақт бўйича доимий бўлади. Триггернинг транзисторли схемаларининг асосан икки турнишлатилади.

1. База- коллектор;
 2. База – эмиттер боғланишли триггерлар
- База – коллектор боғланишли триггер схемаси:



Триггер схемаси иккита уланиш каскадидан иборат. Улар бошқарувчи калит схемалари VT1, R_{K1} ва VT2, R_{K2} бу схема симметрик триггер деб ҳам юритилади. $R_{K1} = R_{K2}$, $R_{cm1} = R_{cm2}$. Қурилмада жараёнларни тезлигини ошириш учун ва 1- схемани чиқишини иккинчи бошқарувчи қисмига боғлаш мақсадида $R \dots$. Асосий манба таъминотдан ташқари R_{cm1} ва R_{cm2} резисторлари орқали VT1 ва VT2 ларни ёқилишини таъминловчи U_{cl} кучланиш берилади. Таъминотдан кучланиш берилиши билан VT1 ва VT2 транзисторлар база занжиридан ток оқиб ўтади. Бу токнинг қиймати куйидагича аниқланади:

$$i_{B1} = \frac{\frac{U_{чик2} - U_{БЭ10}}{R_{B1}} + \frac{U_{cl} - U_{БЭ10}}{R_{cm1}}}{\frac{1 + r_{kup1}}{R_{B1}} + \frac{r_{kup1}}{R_{cm1}}} ;$$

$$i_{B1} = \frac{\frac{U_{чик1} - U_{БЭ20}}{R_{B2}} + \frac{U_{с1} - U_{БЭ20}}{R_{с12}}}{\frac{1 + r_{кир2}}{R_{B2}} + \frac{r_{кир1}}{R_{с12}}} ;$$

Бу ерда $U_{БЭ10}$, $r_{кир1}$, $U_{БЭ20}$, $r_{кир2}$ ларнинг қиймати VT1, VT2 транзисторларни ВАХи чизиқли – бўлакли аппроксимация қилинганда олинади. VT1, VT2 лар учун $h_{21} \gg 1$ бўлиб, кучланиш ифодаларини келтирамиз.

$$\begin{aligned} U_{чик2} &= U_T - i_{B2} * h_{21\Theta2} * R_{K2} \\ U_{чик1} &= U_T - i_{B1} * h_{21\Theta1} * R_{K1} \end{aligned}$$

Юқорида таъкидлаб ўтилганидек симметрик бўлгани учун $i_{B1} = i_{B2}$, $U_{чик1} = U_{чик2}$ ва хар иккала транзистор актив режимда ишлайди деган хulosага келиш мумкин. Бирон бир вақт моментида $i_{B1} < i_{B2}$ бўлса, 3 ва 4 ифодага асосан $U_{чик2} < U_{чик1}$ бўлади. $U_{чик1}$ нинг ошиши ўз навбатида i_{B2} ошишига ва $U_{чик2}$ камайишига олиб келади. Мусбат тескари боғланиш таъсирида токлар ўзгариш жараёни кўчкисимон тарзда ўтади. Шунга мос равишда транзисторларнинг уланиши ҳам кўчкисимон характерга эга бўлади. Ушбу ҳолат транзисторларни бирортасини тўйиниш режимига иккинчисини кесишиб режимига ўтганида тугатилади. Схемани бу ҳолати барқарор бўлади. Схемадаги VT1 транзистор ёпиқ ҳолатда VT2 тўйиниш ҳолатда бўлган ҳолат учун схемани эквивалент кўринишини келтирамиз.

(Расм)

VT1 транзисторни барқарорлик шарти қўйидагича аниқланади.

$$R_{с1} \leq \frac{U_{с1}}{I_{K0}} \quad (5)$$

VT2 транзистор тўйиниш режимига ўтиши учун

$$I_{B2} \geq \frac{U_T q}{R_{K2} * h_{21\Theta\min}} \quad (6)$$

Бу ерда q –тўйиниш даражасини билдирувчи коэффициент. $h_{21\Theta\min}$ транзисторнинг токни ўтказиш коэффициентининг минимум қиймати. I_{B2} ни аниқлаймиз.

$$I_{B2} = \frac{U_T - I_{K0} * R_{K1}}{R_{K1} + R_{B2}} - \frac{U_{с1}}{R_{с12}} \quad (7)$$

Симметрик схема учун транзисторни тўйиниш ҳолатини барқарорлик шартини келтирамиз.

$$R_B \leq R_K \left[\frac{h_{21\Theta\min} \left(1 - \frac{I_{K0} R_K}{U_T} \right)}{q + \frac{h_{21\Theta\min} U_{с1} R_K}{U_T R_{с1}}} - 1 \right] \quad (8)$$

Тригерни барқарорлик ҳолатидан чиқариш учун ташқаридан бошқарувчи сигнални трнзисторнинг база ёки коллектор занжирига бериш

керак. Агар бошқарувчи кучланиш транзисторларнинг биттасига берилса, бошқаришнинг бундай усули алоҳида, агар иккита транзистор занжирига берлса, умумий уланиш дейилади. Кўпгина ҳолларда триггерларни бошқаришда схемаларни қўлланилаётган транзисторларни ёпувчи импульс қўлланилади. Бу усул бошқарувчи сигналларни қувватини камайтиради ва схемада кечувчи жараёнларни тезлаштиради.

Бошқарувчи импульснинг амплитудаси, кенглиги дастлаб уланган транзисторнинг ёпилиш шарти билан аниқланади. Триггер схемасидаги асосий жараён C_1 ва C_2 конденсаторларни кучланишлари билан боғлиқ. Бу конденсаторлар хотира элементи вазифасини ҳам бажаради. Бошқарувчи импульс берилиши билан $I_{B1} \gg I_{B2}$ бўлади. VT1 ни уланиш жараёни бошланади. Натижада $U_B \dots I_{B2}$ ток камайиб боради. VT1 тўйиниши VT2 ёпилиши билан бу жараён тугайди. Натижада схемада янги барқарор ҳолат ўрнатилади. $U_{K2} = U_{\text{чик}}$ кучланиш ошиш тезлиги C_2 конденсаторни R_{K2} орқали зарядланиш вақти билан аниқланади. Бунда форсировка вақти қуйидагича аниқланади. $t_\phi = R_{K2} C_2$. VT1 транзисторнинг база токи

$$I_B \approx \frac{U_T}{R_{K2} + R_{B1}};$$

Қийматгача камаяди. Айнан шу вақт моментида C_1 , R_{B2} ва $R_{\text{сл2}}$ орқали разрядланади.

$$t_{\text{к.м.}} \approx 3 \frac{R_{B2} \cdot R_{\text{сл2}} \cdot C_1}{R_{B2} + R_{\text{сл2}}};$$

Реал схемаларда:

$R_B \gg R_K$; $R_{\text{сл}} \gg R_K$ бўлгани учун қайта тиклаш вақти $t_{\text{к.т.}} \gg t_\phi$ ва бошқарувчи импульснинг минимал даври қуйидаги шарт билан аниқланади.

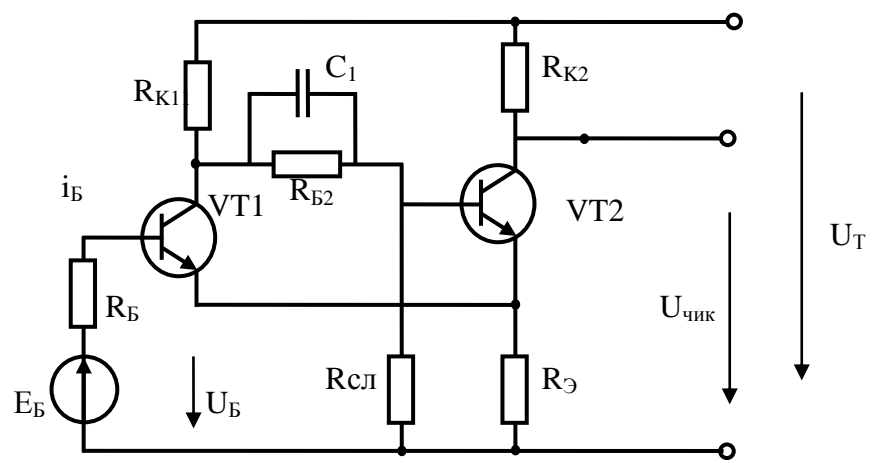
$$T_{\min} \geq t_{\text{к.т.}}$$

14.1 Эмиттер боғланишли триггерлар

Бу триггерлар транзисторлар орасида носимметрик боғланиши билан ажралиб туради. Эмиттер боғланишли триггер схемасини келтирамиз.

Бу схемада R, C , занжири форсировка занжиридан ташқари мусбат тескари боғланишли занжирни ташкил қиласи. Дастлаб VT2 транзистори тўйиниши режимида унинг киришида R_1 ва R_{K1} резисторлар кетма-кет уланган ва бу резисторлар орқали таъминотдан берилаётган кучланиш таъсирида I_{B2N} коллектор-эмиттер кучланиши камайиши натижасида VT1 транзистор ёпилади. $U_{K2} = I_{\text{Э2}} \cdot R_{\text{Э}}$. C_1 эса, $U_{C1} \approx I_{B2N} \cdot R_1$ қийматгача зарядланади. База кучланиши $U_B > U_{B10} + I_{\text{Э2Н}} \cdot R_{\text{Э}}$ ошиши билан VT1 транзистор очилади. Бу ерда U_{B10} биринчи транзисторнинг эмиттер ўтишидаги бўсағавий кучланиш. C_1 конденсаторнинг зарядланиши VT2 нинг эмиттер ўтишини тескари йўналишда силжитади ва I_{B2} камаяди. I_{B2} нинг камайиши VT1 транзисторни коллектор токининг ўзгаришига олиб келади. Яъни

$$\Delta i_{K1} = -i_{B2}; \quad \Delta i_{\text{Э2}} = (h_{21\text{Э2}} + 1) \Delta i_{B2};$$



Маъруза- 15

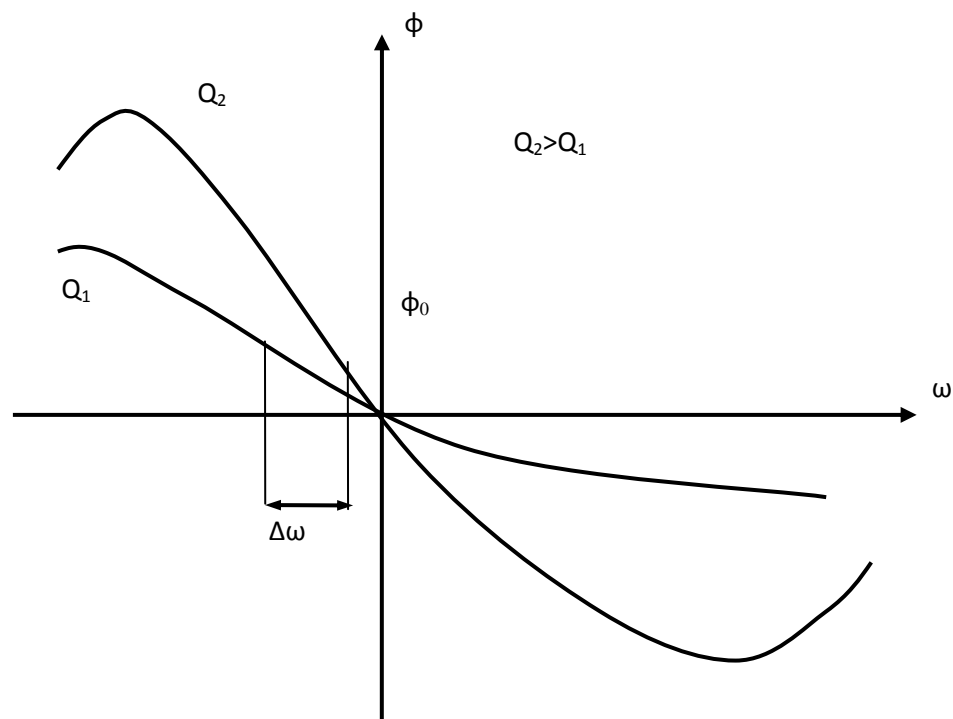
ГЕНЕРАТОРДА ЧАСТОТАНИ ЎРНАТИШ. АСОСИЙ НИСБАТЛАР

Алоқа тизимларининг узлуксиз ишлаши ва ишончлилигини аниқлашда автогенераторларда частота барқарорлиги катта аҳамиятга эга. Чунки радиолокацион станцияларнинг ишлаш аниқлиги айнан ушбу характеристикага боғлиқ. Автогенераторларда частота барқарорлиги қуидагича аниқланади.

$$\delta = \frac{\Delta f}{f_0}$$

Бу ерда: f_0 -автогенераторда ўрнатилган частота. Δf -частотанинг мумкин бўлган ўзгариши.

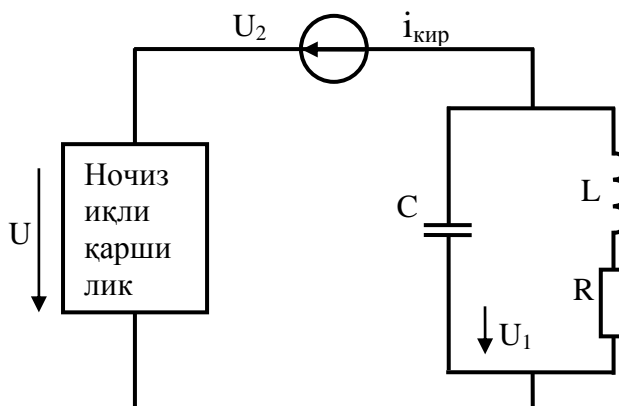
Хар хил ҳолатларда частота барқарорлиги хар хилда бўлади. Масалан, радиостанцияларда 10-4, спутниandan олинган сигналлар учун 10-10 бўлади. Автогенераторлар частотаси фаза баланси ёрдамида аниқланади ва бу чатотанинг ўзгариши(кўпгина ҳолларда камайиши) тебраниш контурининг аслилигига боғлиқ. Аслликнинг хар хил қийматларида частота ва фазани боғлиқлик графигини келтирамиз.



Графикдан кўриниб турибдики Q2 асллик катта бўлганида частотанинг ўзгариши кичик аслликка эга. Q1 да частотанинг ўзгариши катта бўлади. Частота барқарорлигини ўрнатиш учун асллиги ката бўлган тебраниш контурлари қўлланилади.

15.1 Тебранишларни асинхрон сўндириш

Автогенераторларда фаза баланси шарти бир нечта частоталарда бажарилади. Автогенераторларда бир вақтнинг ўзида хар хил частотали тебранишларни генерация қилиш ва бир частотадан иккинчи частотага ўтиш имкониятларини кўриб чиқамиз. Бунинг учун автогенераторни алмаштириш схемасини келтирамиз.



Гармоник тебранишлар генераторини ишлаш режимини кўриб чиқамиз. Контурга таъсир қилувчи ток i_k ўз ўзини қўзгатишнинг юшоқ режимига мос келади.

$$i_k = a_1 U - \frac{4}{3} a_3 U^3 \quad (1)$$

$U=U_1\cos\omega_1 t$ ташки кучланиш таъсири бўлмагандан ($U_2=0$) биринчи гармоника бўйича характеристика тикилиги қўйидагига teng бўлади.

$$S_1 = \frac{I_1}{U_1} = a_1 - a_3 U_1^2 \quad (2)$$

Тебранишнинг амплитудаси қўйидагига teng:

$$U_{meob.} = \sqrt{\frac{1}{a_3} (a_1 - \frac{1}{R})}$$

Ташқаридан берилаётган кучланиш ўзгаришини келтирамиз.

$U_2=U_2\cos(\omega_2 t + \phi)$ у ҳолда ноцизиқли қаршиликка таъсир қилувчи кучланиш қўйидагига teng бўлади.

$$U=U_1+U_2=U_1\cos(\omega_1 t + \phi) + U_2\cos(\omega_2 t + \phi)$$

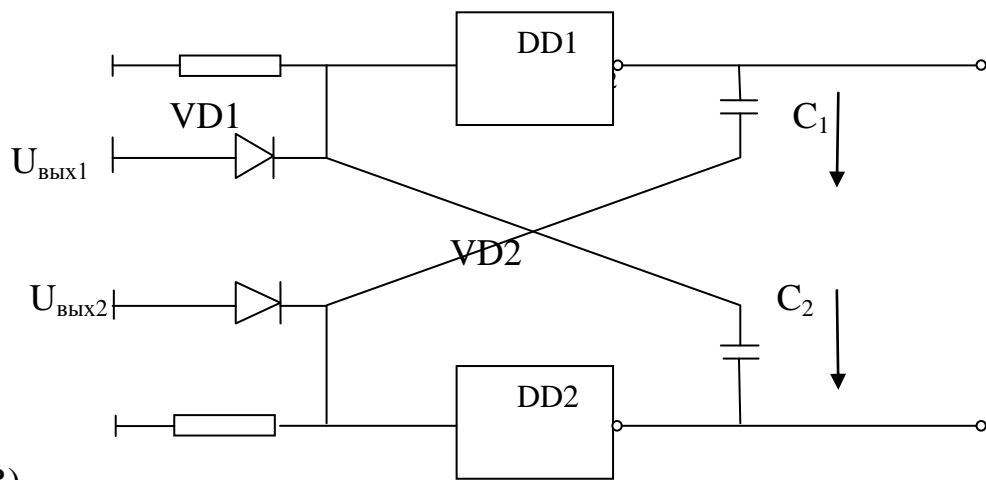
Мавзуу -16

БАЗА-ЛОГИК ЭЛЕМЕНТЛАР АСОСИДА АВТОГЕНЕРАТОРЛАРНИ КУРИШ

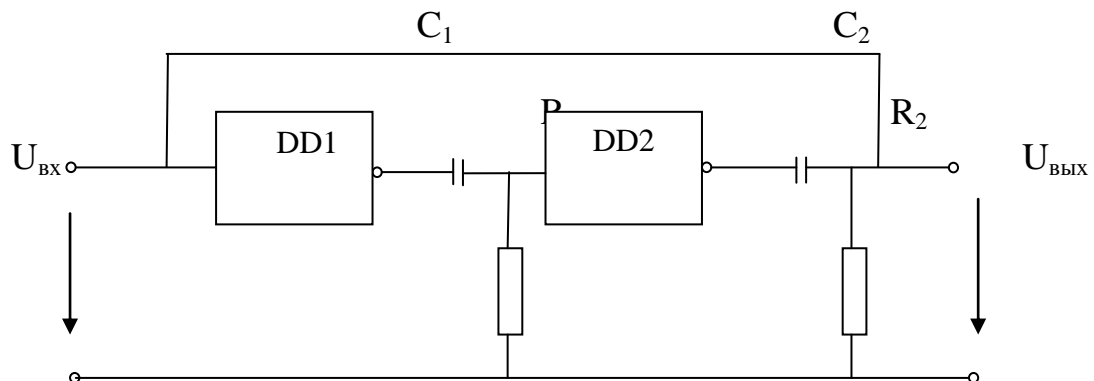
Ногармоник тебранишларни хосил килувчи автогенераторларда масалан: арасимон кучланиш генераторларида конденсаторнинг кайта зарядланиши асосида ногармоник тебраниш амалга оширилади. Бунда конденсаторнинг бошлангич ва охирги кучланишини кийматини билган холда конденсаторнинг кайта зарядланиш вактини аниклаш мумкин эди.

Бунда ночизиқи элемент сифатида транзисторлардан фойдаланамиз. Мултивибраторларда биполяр транзисторларнинг қўлланилишини қўриб чиқдик. Бундан ташкари мултивибраторларни база-логик элементларни қўллаган ҳолда куриш мумкин. 2- та инвертор асосида қурилган мултивибратор схемаларини келтирамиз. Бу схема транзисторли мултивибратор схемасини такрорлайди.

A)



B)



В) схемада инверторлар ноинерцион мусбат бодганишга эга ва бунда фаза силжиши йигиндиси куйидагича аникланади.

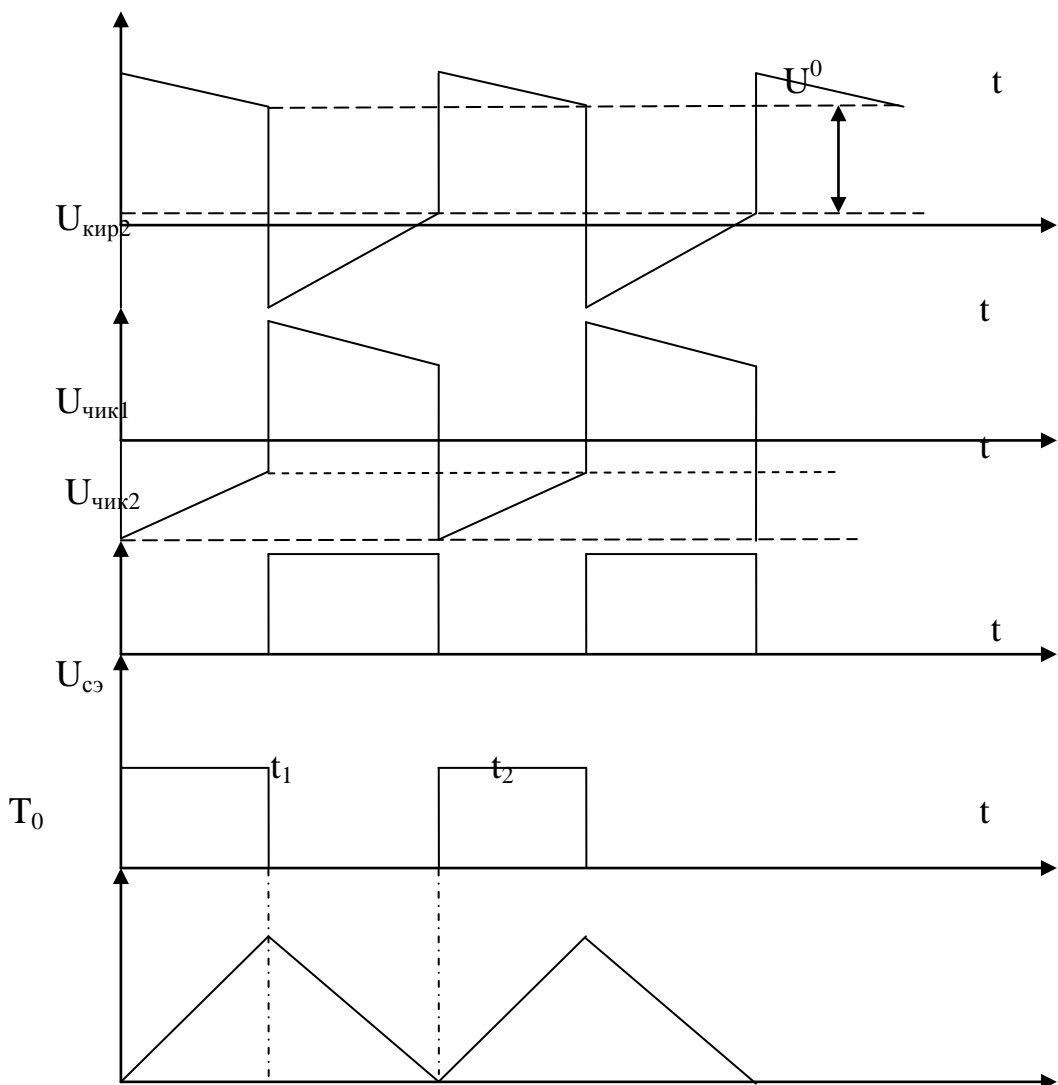
$$\varphi_{\Sigma} = \varphi_{DD1} + \varphi_{DD2} + \varphi_{RIC1} + \varphi_{R2C2} + \varphi_{TB} = 2\pi;$$

Курилаетган схемада RC занжирининг кучайтириш коэффиценти 1 га тенг деб каралади. Шунинг учун схеманинг умумий кучайтириш коэффиценти DD1 ва DD2 элементлари билан аникланади.

$$K_{\Sigma} = K_{DD1} + K_{DD2};$$

А) схемадаги R_1, R_2 бир бирига тенг килиб олинади, C_1 ва C_2 хам бир хилда олинади. Шунинг учун конденсаторда кайта зарядланиш токи булмаганды инверторлар киришида логик 0 сигналы шаклланади. Схема ишлаш тартибини вакт диаграммаларда курамиз.

$$U_{кир1}$$



t_0 вакт моментида схемада күйидаги кучланиш урнатилади

$$U_{\text{чик}2}=U^1; \quad U_{\text{чик}1}=U^0;$$

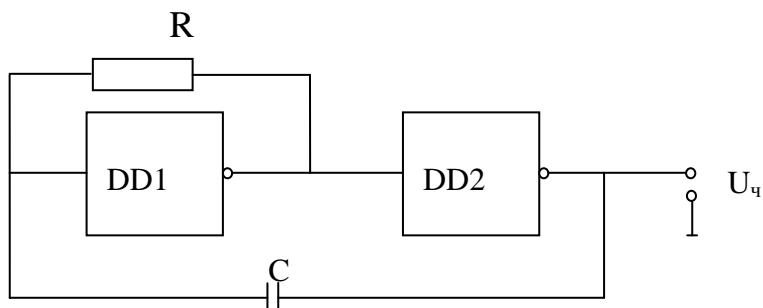
DD1 инвертор киришида $U_{c2}=0$ булганда 1-кириш $U_{\text{кир}1}=I_c(t_0)R=U^1$ бу эса $U_{\text{чик}1}$ да логик 0 яъни U^0 кийматини урнатилашига олиб келади. Натижада DD2 инверторнинг чикишида U^1 максимум киймат булишини таъминлайди. Схеманинг $U_{\text{чик}1}=U^0, U_{\text{чик}2}=U^1$ холатда квазибаркарор холат булади. Бу холат t_1 моментгача давом этади. Бу вактда C_2 заряд туфайли $U_{\text{кир}1}$ киймати камаяди. DD1 ва DD2 инверторларнинг чикиш кучланиши узгаради. Бу вакт оралиги куйидагича аникланади.

$$\Delta t=t_1-t_0=RCl\ln(U_{\text{лог.бус}}/(U_{\text{бус}}*U^0))$$

t_1 вакт моментида **DD1** чикишида U^1 кучланиш шаклланади ва C_1 оркали DD2 киришга берилади . Чикишда U^0 кучланиш шаклланади , яъни схемада 2-квазибаркарор холат урнатилади.

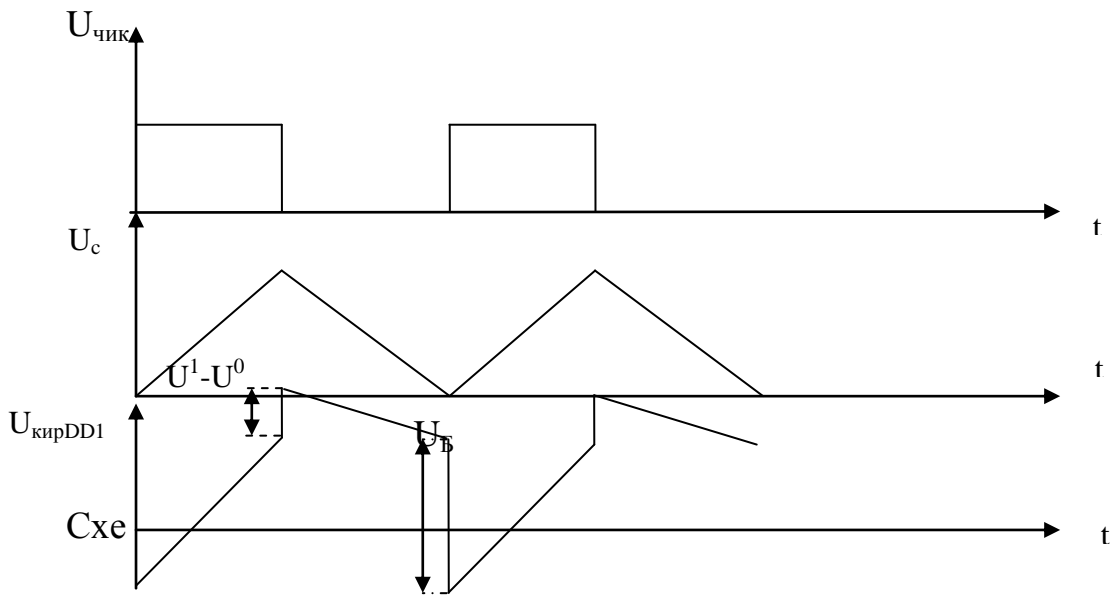
16.1 Вакт кўрсаткувчи RC занжирли автогенераторлар

Вакт кўрсатувчи 1 та RC занжирли 2 та инвертордан тузилган автогенератор схемасини келтирамиз



RC занжири кулланилишининг хусусиятларидан бири конденсаторнинг кайта зарядланиши ва схеманинг уз узидан кузгалиш шартининг бажарилишидир. Бу схемадан куриниб турибиди R манфий тескари бояланиш занжирини хосил килади ва инверторнинг утиш характеристикасини чизикли кисмида булишини таъминлайди , яъни кучайтириш коэффиценти K бирдан катта булади.

Схемани иш тартибини курсатувчи вакт диаграммани келтирамиз.



схемада эквивалент кучланиш $U_{л.бүс}$ ёки - $U_{л.бүс}$ қийматларни олади.

DD1 киришидаги кучланиш $U_{кирDD1}=U_{бүс}$ булганда схеманинг қайта уланиши бўлади. Конденсатордаги кучланиш $U_{бүс} - U^0 < 0$ қийматигача ўзгаради. Конденсатордаги максимал ва минимал кучланишларнинг қийматларининг модули бир-бирига тенг эмас ва зарядланиш, разрядланиш вактлари бир хил эмас, натижада генератор чикишида $U \neq 2$ скважностьга эга импульслар ҳосил киласди.

Вакт диаграммада берилган жараён учун хар хилдаги вакт моментларини кўрамиз.

$t_1 - t_0$ вакт оралиғи

$$U_{экв} > U_{лб} > 0$$

$$U_c(0) = U_{бүс} - U < 0 \quad U_c(t_1) = U_{бүс} - U^0 > 0$$

$t_2 - t_1$ – вакт оралиғи

$$U_{экв} = -U_{лб} < 0$$

$$U_c(t_1) = U_{бүс} - U^0 > 0 \quad U(t_2) = U_{бүс} - U^1 < 0$$

Импулс ва пауза узунлиги

$$t_1 - t_0 = RC \ln(U_{лб} / (U^1 - U_{лб}) + 1);$$

$$t_2 - t_1 = RC \ln(U_{лб} / (U_{бүс} - U^0) + 1);$$

Тебраниш даври

$$T_\Gamma = t_2 - t_0 = RC \left[\frac{2U_{лб}^2}{(U^1 - U_{бүс})(U_{бүс} - U^0)} + 1 \right]$$

Тебраниш даври амалиётда қуйидагича олинади:

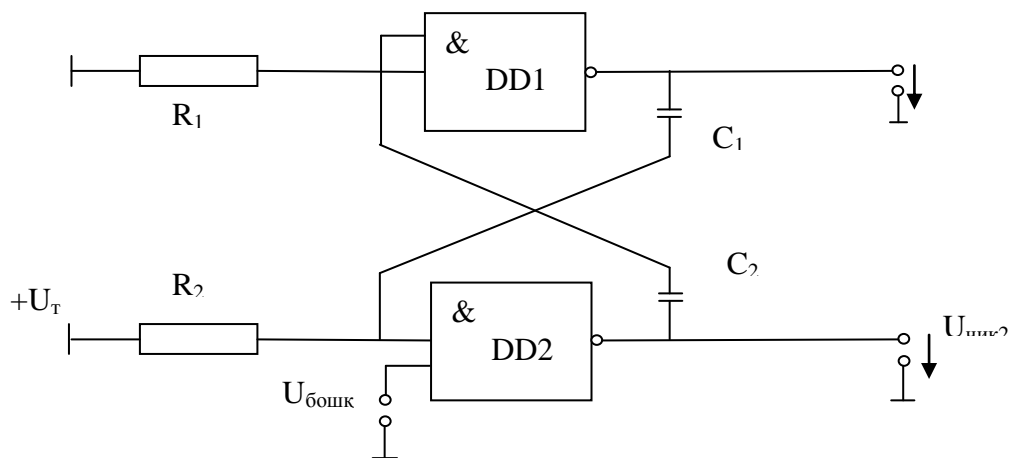
$$T_\Gamma = (2 \div 3)RC$$

СИГНАЛЛАРНИ ШАКЛЛАНТИРИШ ВА ИШЛОВ БЕРИШ -2-ҚИСМ

Маъруза -17

TTL ЭЛЕМЕНТЛАРИ ЕРДАМИДА БИР ВИБРАТОР -ГЕНЕРАТОР СХЕМАЛАРИНИ ҚУРИШ

Ташқи ишга туширувчи импулс таъсирида квазибаркарор ххолатга ўтувчи ва чикишида 1 та импульс шакллантирувчи кутувчи мултивибратор асосида курилган бир вибратор схемасини келтирамиз.

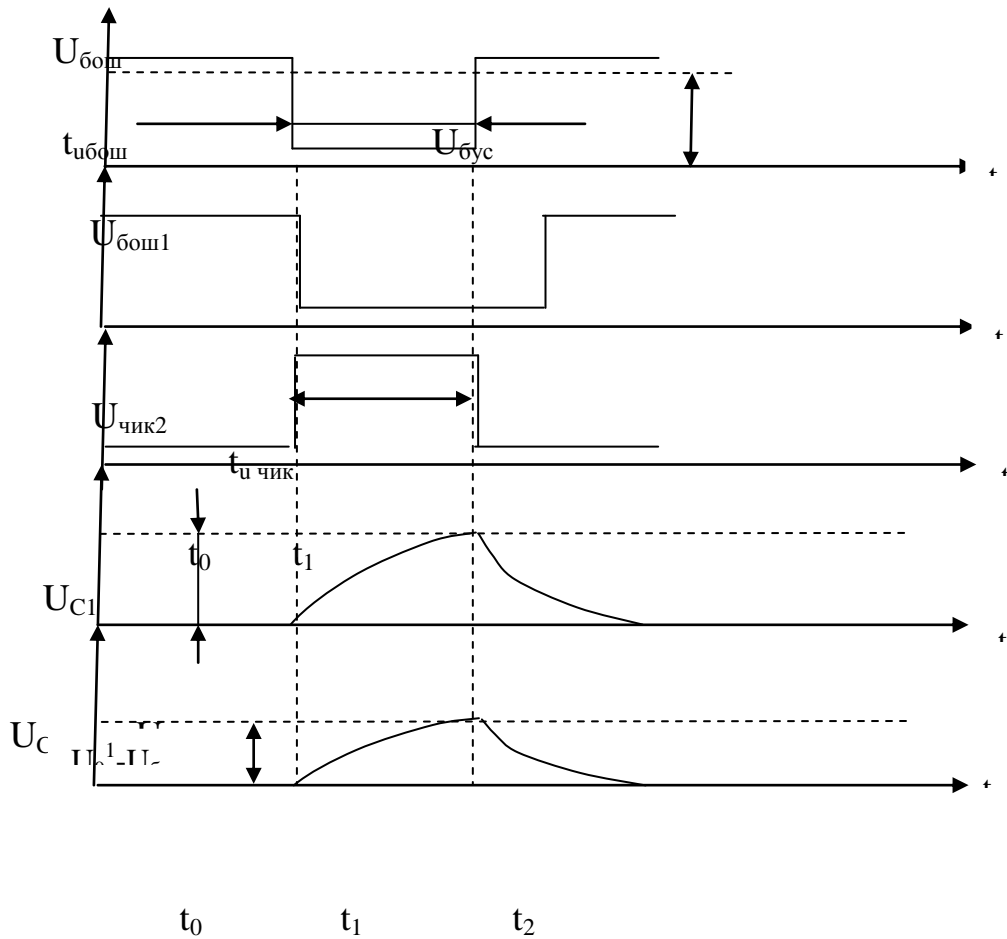


Бу схемада ишчи режимни ўзгартириш учун қуидагилар талаб этилади.

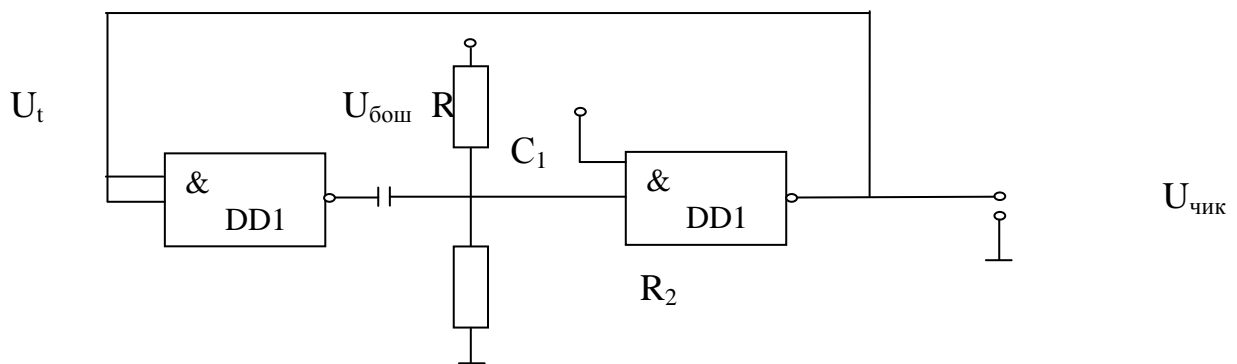
1) R резистор оркали DD2 элемент киришига күшимча мусбат силжиш берилади

2) DD2 элементига 2-киришдан бошкарувчи кучланиш берилади.

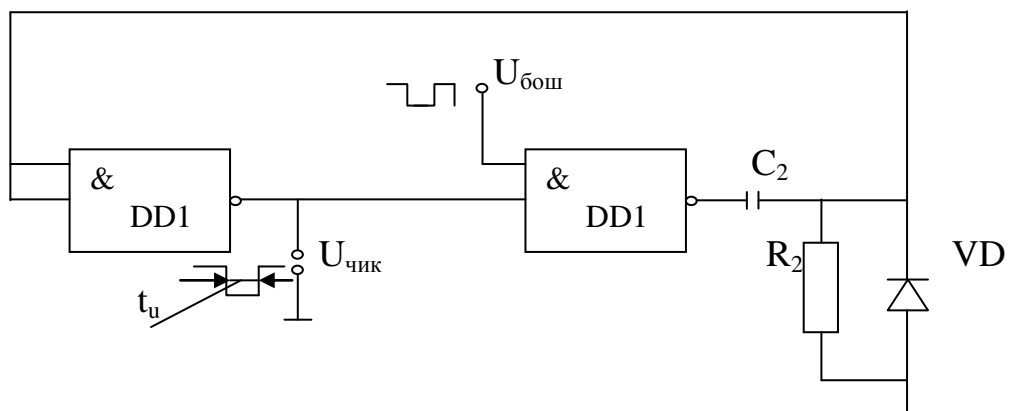
Бу схемани ишлаш тартибини курсатувчи вакт диаграммаларини келтирамиз.



Бошқарувчи киришга бўсағавий кучланишда ошуви қийматли кучланиш берилади. Бунда DD2 чиқишида U^0 ва C_2 конденсаторда 0 кучланиш бўлади. DD1 да эса U^1 кучланиш мавжуд бўлади. DD2 киришига U^1 берилганда конденсатор C_2 да кучланиш ўзгармайди яъни 0 га тенг. Ушбу ҳолат бошқарувчи киришга импульс берилгунча давом этади. Диаграммада кўрсатилганидек t_0 вақт моментида бошқаришга импульс берилади. $U_{буш}$, $U_{буш1}$ қийматидан кам бўлади. Бунда иккинчи чиқишда U^1 ҳосил бўлади ва бу кучланиш разрядланган C_2 орқали DD1 киришига берилади. Биринчи чиқишда эса U^0 қиймати ҳосил бўлади. t_0 вақтда C_1 кучланиши нолга тенг бўлса DD1 кириш кучланиши хам 0 бўлади. DD2 чиқиши U^1 қийматни олади. Бу ҳолат схемада квазибарқарор ҳолат дейилади. C_1, C_2 конденсаторларини зарядланиши DD1 чиқишида манфий, DD2 чиқишида мусбат импульсни ҳосил қиласди. Бир вибраторни бошқача кўринишидаги схемасини қўриб чиқамиз.



А) расм



Б) расм

А схема: Таъминотдан берилетган кучланиш R_1 орқали C_1 ни зарядланишини таъминлайди, бунда DD2 киришидаги кучланиш U^0 дан $U_{бус}$ гача ошади. Схема чиқишида эса мусбат қутбли импульс ҳосил қилинади.

Б схема: Бу схема асосан C_2 нинг зарядланиши билан характерланади. R_2 ва DD2 киришидаги кучланиш U_1 дан $U_{бус}$ қийматигача камаяди ва схема чиқишида манфий қутбли импульс ҳосил қилинади.

Хар иккала схемани импульсларни кенглиги қуйидагича формула ёрдамида аниқланади.

$$t_u = \frac{RC}{U_t - U_{\text{буст}}^0} \ln \left(\frac{U_t - U^0}{U_{\text{буст}} - U^0} \right) \quad (1)$$

$$t_u = \frac{RC}{U_{\text{буст}} - U^0} \ln \left(\frac{U_{\text{буст}}}{U_{\text{буст}} - U^0} \right) \quad (2)$$

А схемада барқарор холатда DD2 киришида U1 булиши учун R_1 қаршиликнинг киймати куйидаги шарт бўйича олинади.

$$R_{1\max} = \frac{U_t - U_{\text{кириши}}^1}{I_{\text{кириши}}^1} \quad \text{A схема учун}$$

Б схемада эса R_2 нинг киймати DD1 киришида U^0 кучланиш шаклланиши учун куйидаги шарт ердамида аникланади.

$$R_2 \leq \frac{U_{\text{буст}}^0}{I_{\text{буст}}^0}$$

Ифодалардан куриниб турибдики $R_2 \ll R_{1\max}$

Бу эса А схемада хосил килинадиган импулснинг кенглиги Б схемага нисбатан катталигини билдиради. Бир вибраторнинг асосий хусусиятларидан бири кайта тикланиш вактидир, бу вакт давомида конденсатор тулик разрядланади. Агар ушбу вактда кейинги импулс берилса курилма чикишида кенглиги кичкина булган яъни киска импулс хосил булади. C_2 конденсаторининг разрядланиш вакти доимийсини камайтириш учун Б схемада диод кулланилади.

Маъруза -18

СИГНАЛЛАРГА РАҚАМЛИ ИШЛОВ БЕРИШ АСОСЛАРИ

Сигналларга рақамли ишлов беришдан мақсад турли ўзгартиришлар орқали уларни самарадорлик билан узатиш, сақлаш ва ахборотни ажратиб олишдан иборат. Кейинги вақтларда кенг ривожланган сигналларга рақамли ишлов бериш усуллари бир қатор афзалликларга эга:

- умуман олганда сигналларга ишлов беришнинг хар қандай мураккаб алгоритмларини амалга ошириш мумкинлиги ва ушбу сигналларга ишлов бериш алгоритмларини реал вақтда амалга ошириш имкониятини берувчи элементлар базаси борлиги;
- рақамли қурилмалар юқори аниқликда ишлаш имкониятини берувчи алгоритмларнинг яратилганлиги ва мавжудлиги;
- назарий жиҳатдан узатилаётган хабарларни ҳалакитбардош кодлардан фойдаланиб узатиш ва сақлаш натижасида хатосиз қайта тиклаш имкониятининг борлиги рақамли сигналларга хосдир.

Юқоридаги афзалликларни амалга ошириш дискрет сигналлар ва элементар занжирлар ҳақидаги асосий маълумотларга эга бўлиш даражасига боғлиқ.

18.1 Дискрет сигналларнинг моделлари

Дискрет сигналларнинг қийматлари узлуксиз сигналлардан фарқлироқ, узлуксиз вақт оний қийматларида эмас, балки маълум Δt дискрет вақтлардагина маълум бўлиб, унинг $x(k\Delta t)$ оний қийматлари $k\Delta t$ дискрет вақтларга мос келади.

Дискретловчи кетма-кетликлар. Одатда $x(t)$ узлуксиз дискрет сигналдан бир хил Δt оралиқлар, дискретизация оралифи ёки дискретизация қадами деб аталувчи вақтларда унинг оний қиймати аниқланади, бунда $\Delta t = t_k - t_{k-1} = t_{k-1} - t_{k-2} = \dots = t_{k-n} - t_{k-n-1}$ ва ҳаказо бўлади ва кўп ҳолларда $\Delta t = const$, ўзгармас этиб танланади.

Дискретизациялаш жараёнини, яъни узлуксиз сигналлар $x(t)$ дан дискрет сигналлар $x(k\Delta t)$ га ўтишни умумлашган функция $\eta(t)$ орқали тарифлаш мумкин, яъни

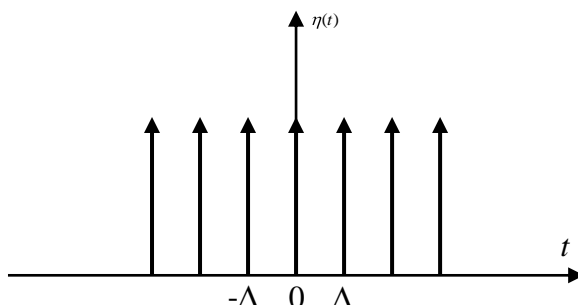
$$\eta(t) = \sum_{k=-\infty}^{\infty} \delta(t - k\Delta t), \quad (18.1)$$

ва уни дискретлаш кетма-кетлиги деб аталади.

Дискрет сигнал $x(k\Delta t)$ ни узлуксиз сигнал $x(t)$ ва дискретлаш кетма-кетлиги функциялари $\eta(t)$ кўпайтмаси сифатида тасаввур этиш керак, бунда $x(k\Delta t)$ сигнал қуидагича ифодаланади, яъни

$$x(k\Delta t) = (x, \eta) = \int_{-\infty}^{\infty} x(t) \sum_{k=-\infty}^{\infty} \delta(t - k\Delta t) dt. \quad (18.2)$$

(17.2) формула узлуксиз сигналларни дискретлашни амалга ошириш алгоритмини күрсатиб беради. Дискретлаш қурилмасининг иш жараёни унинг киришидаги узлуксиз сигнал $x(t)$ дан унинг Δt вакт оралиқларида оний қийматларини аниқлашдан иборат, бунда $\eta(t)$ импульслар кетма-кетлиги кичик давомийликка эга бўлиб “тароқсимон” кўринишни эслатади (17.1-расм). бунда $x(t)$ нинг нольга тенг қийматларида дискретловчи қурилма чиқишида ҳам шунга мос қийматлари ҳосил бўлади.



18.1-расм. Дискретлаш кетма-кетлиги.

Модуляцияланган импульслар кетма-кетлиги. Бу модуляция турида маълум бир частотада такрорланувчи кичик давомийликдаги импульслар “ташувчи” вазифасини бажаради. Импульслар модуляторини икки киришли ва бир чиқишли (назарий жиҳатдан олти полюсли) қурилмаси деб тасаввур этиш керак. Улардан бирига модуляцияловчи узлуксиз сигнал $x(t)$, иккинчисига “ташувчи” импульслар кетма-кетлиги $\eta(t)$ берилади. Бунда модулятор ўзининг киришидаги $x(t)$ сигналнинг ҳар бир $k\Delta t$ вактдаги оний қийматларини аниқлайди ва чиқишида ушбу оний қийматларга пропорционал юзага эга бўлган импульслар кетма-кетлигини ҳосил қиласди. Модулятор чиқишидаги сигнални модуляцияланган импульслар кетма-кетлиги (МИК) деб аталади.

Модуляцияланган импульсларнинг сатҳи ёки кенглиги модуляцияловчи (узатиладиган) сигнал сатҳига пропорционал бўлиши керак. Бундай тур модуляцияси усуллари амплитуда-импульс модуляцияси (АИМ) ва кенглик-импульс модуляцияси (КИМ) деб аталади. АИМ сигналларда импульслар кенглиги ўзгармас ҳолда сақланади ва КИМ сигналларда импульслар амплитудаси ўзгармас ҳолда сақланади.

У ёки бу модуляция туридан фойдаланиш узатиладиган сигналлар ўзига хос хусусиятига ва ушбу сигналларни яратишни амалга ошириш техник имкониятларига боғлиқ. Масалан АИМ сигналдан модуляцияловчи сигнал қийматларининг ўзгариш динамик диапазони катта бўлганда фойдаланилади. Бу ҳолда радиоузатиш қурилмаси амплитуда характеристикиси ҳам талаб даражасидаги чизиқликда бўлиши керак. Бундай радиоузатиш тизимини

яратишининг ўзига хос қийинчиликлари бор. КИМ сигналлар узатиш қурилмаси амплитуда характеристикаси чизиқли бўлишига алоҳида талаб қўймайди, аммо КИМни амалга ошириш АИМни амалга оширишга нисбатан ҳозирча бироз мураккаброқ.

МИК шаклидаги сигнални қуйидаги усулда олиш мумкин. бунинг учун $x(t)$ сигнални динамик шаклда тасаввур қиласиз, яъни

$$x(t) = \int_{-\infty}^{\infty} x(\tau) \delta(t - \tau) d\tau. \quad (18.3)$$

МИК қийматлари фақат $x_k = x(k\Delta t)$ ($k = 0, 1, 2, 3, \dots$) вақтлардагина маълумлигини эътиборга олиб (17.3) формуладаги интеграллаш амалини йиғиндини ҳисоблаш амали билан алмаштириш мумкин, яъни

$$x_{MIK}(t) = \Delta \sum_{k=-\infty}^{\infty} x_k \delta(t - k\Delta t), \quad (18.4)$$

бунда, $x_k = x(k\Delta t)$ аналог сигналнинг $k\Delta t$ вақтдаги оний қийматлари.

Модуляцияланган импульслар кетма-кетлиги спектрал зичлиги. (18.3) формула орқали ифодаланадиган идеал модулятор чиқишидаги МИК спектр кенглигини тадқиқоти. МИК пропорционаллик коэффициенти “К” аниқликда $x(t)$ функцияning дискретловчи кетма-кетлиги $\eta(t)$ кўпайтмасига тенг, яъни

$$x_{MIK}(t) = x(t)\eta(t). \quad (18.5)$$

Маълумки икки сигнал кўпайтмаси спектри, ушбу сигналлар спектрлари зичлиги ёймаси(свертка)га тенг. Шунинг учун, агар сигналлар ва уларнинг спектрлари Фурье тўғри ва тескари алмаштиришлари орқали аниқланган, яъни $x(t) \leftrightarrow S_x(j\omega)$, $\eta(t) \leftrightarrow S_\eta(j\omega)$ бўлса, у ҳолда МИК спектри зичлиги қуйидагича аниқланади:

$$S_{MIK}(\omega) = \frac{\Delta t}{2\pi} \int_{-\infty}^{\infty} S_\eta(\zeta) S_x(\omega - \zeta) d\zeta. \quad (18.6)$$

Дискретловчи кетма-кетлик спектри $S_\eta(\omega)$ ни аниқлаш учун $\eta(t)$ ни Фурье комплекс қатори орқали ифодалаймиз, натижада

$$\eta(t) = \sum_{n=-\infty}^{\infty} C_n e^{j2\pi nt/\Delta t}, \quad (18.7)$$

ни оламиз. Ушбу қатор коэффициентлари, қуйидагича

$$C_n = \frac{1}{\Delta t} \int_{-\Delta t/2}^{\Delta t/2} \delta(t) e^{-j2\pi n t / \Delta t} dt = \frac{1}{\Delta t}. \quad (18.8)$$

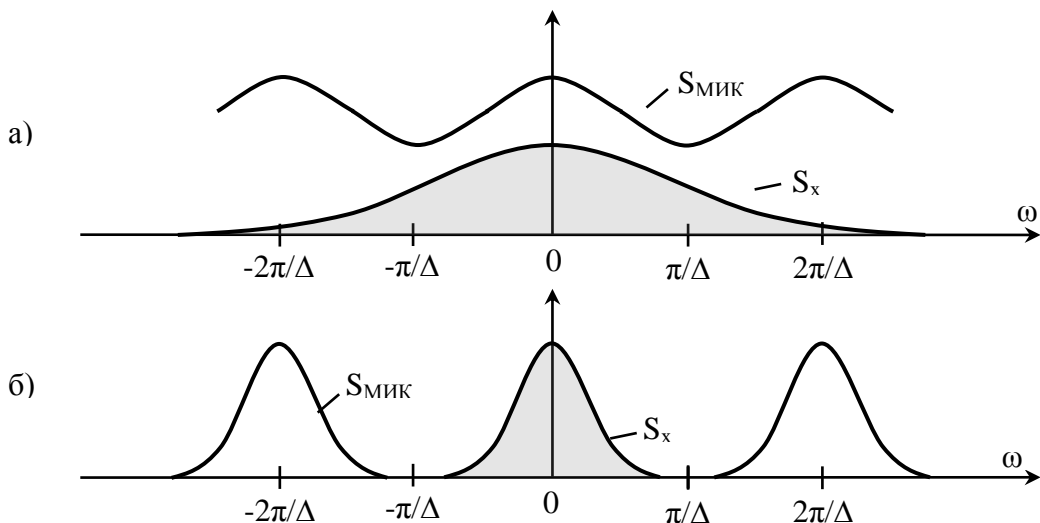
Дельта функцияниң фильтрлаш хоссаси $u(\omega) = 2\pi A \delta(\omega)$ ни эътиборга олиб дискретлаш спектри зичлиги учун қуидаги ифодани оламиз:

$$S_\eta(\omega) = \frac{2\pi}{\Delta t} \sum_{n=-\infty}^{\infty} \delta(\omega - 2\pi n / \Delta t), \quad (18.9)$$

яъни дискретловчи импульслар кетма-кетлиги частоталар ўки бўйича жойлашган чексиз кўп дельта-импульслар кетма-кетлигидан иборат. Ушбу спектр зичлиги даврий тақорланувчи бўлиб, тақорланиш даври $\frac{2\pi}{\Delta t}$, сек⁻¹ га тенг. Ва ниҳоят (17.9) ва (17.8) ифодалардаги интеграллаш ва йиғиндини ҳисоблаш амалларини бажариш кетма-кетлигини алмаштириб, қуидагини аниқлаймиз:

$$S_{\text{МИК}}(\omega) = \sum_{n=-\infty}^{\infty} S'_x(\omega - 2\pi n / \Delta t). \quad (18.10)$$

Шундай қилиб, идеал дискретлаш натижасида олинган сигнал спектри, бирламчи сигнал спектрининг чексиз кўп тақорланувчи “нусҳалари”дан ташкил топган деган хulosा чиқариш мумкин. Спектр “нусҳалари” частоталар ўқида бир хил дискретлаш частотаси биринчи гармоникаси $\frac{2\pi}{\Delta t}$ га тенг бўлган частота билан тақорланади (18.2-расм).



18.2-расм. Сигнал юқори чегаравий частотаси турлича модуляцияланган импульслар кетма-кетлиги спектрал зичлиги. а) юқори чегаравий частотаси катта; б) юқори чегаравий частотаси кичик; (дискретизацияланган бирламчи сигнал спектрал зичлиги қора рангга бўялган).

Узлуксиз сигнални модуляцияланган импульслар кетма-кетлиги орқали қайта тиклаш. Котельников теоремасига асосан паст частотали узлуксиз сигнал спектрини $\omega = 0$ частотага нисбатан симметрик жойлашган ва энг юқори частотасини ω_{io} деб ҳисоблаймиз. 17.2б-расмдан кўринадики агар $\omega_{\text{io}} \leq \pi / \Delta t$ бўлса, $S(\omega)$ спектрнинг алоҳида нусҳалари бир-бирининг устига тушмайди, частота бўйича ажралиб туради. Шунинг учун импульс модуляцияланган сигнал идеал ПЧФ ёрдамида аниқ қайта тикланиши мумкин.

Ҳақиқатдан ҳам узлуксиз сигнални тикловчи ПЧФ идеал фильтри қуйидаги ифодаланадиган бўлса,

$$K(j\omega) = \begin{cases} 0, & \omega < -\omega_{\text{io}}; \\ k_0, & -\omega_{\text{io}} \leq \omega \leq \omega_{\text{io}}; \\ 0, & \omega > \omega_{\text{io}}, \end{cases} \quad (18.11)$$

ушбу фильтрнинг импульс характеристикаси қуйидаги ифодаланади:

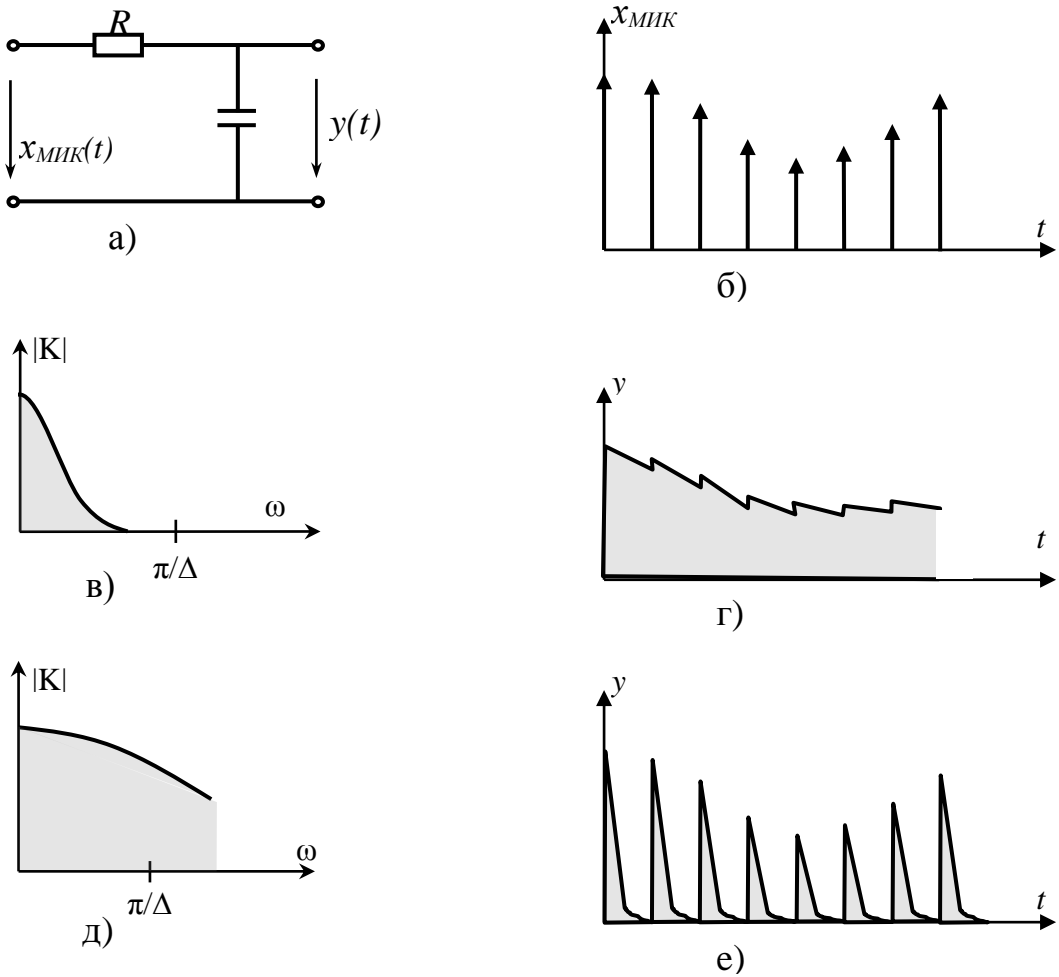
$$g(t) = \frac{1}{2\pi} \int_{-\infty}^{\infty} K(j\omega) e^{j\omega t} d\omega = \frac{K_0(\omega_{\text{io}})}{\pi} \frac{\sin \omega_{\text{io}} t}{\omega_{\text{io}} t}. \quad (18.12)$$

(17.5) ифода орқали аниқланадиган МИК спектри турли катталикдаги дельта-импульслар кетма-кетлиги йиғиндисидан иборатлигини эътиборга олиб тикловчи фильтр чиқишидаги $y(t)$ сигнални аниқлаймиз:

$$y(t) = \frac{K_0 \omega_{\text{io}} \Delta t}{\pi} \sum_{k=-\infty}^{\infty} x_k \frac{\sin \omega_{\text{io}} (t - k\Delta t)}{\omega_{\text{io}} (t - k\Delta t)}. \quad (18.13)$$

Ушбу $y(t)$ сигнал дастлабки $x(t)$ сигнал шаклини аниқ такрорлади, факат сатҳ қиймати бўйича фарқланади.

Идеал фильтрни амалда яратиш мумкин эмас, ундан сигнални тиклашда назарий модел шаклида фойдаланилади. Ҳақиқий ПЧФ частоталар характеристикаси (АЧХ) МИК бир неча ёки $\omega = 0$ частота атрофидаги биргина частоталар спектрини ўтказиши (қамраб олган бўлиши) мумкин. 18.3-расмда R ва C элементлардан иборат бўлган тикловчи ПЧФга тегишли чизмалар келтирилган.



18.3-расм. RC-элементлардан иборат бўлган дискретизацияланган сигнални қайта тиклашга тегишли чизмалар. а) фильтр схемаси; б) дискретланган кириш сигнали; в, г) $RC \gg \Delta$ ҳолат учун фильтр АЧХси ва унинг чиқишидаги сигнал; д, е) худди шу боғланишлар $RC \ll \Delta$ учун.

Келтирилган чизмалардан кўринадики амалдаги (реал) ПЧФ бирламчи сигнални аниқ қайта тикламайди. Узлуксиз сигнални қайта аниқ тиклаш учун, унинг нафақат $\omega = 0$ частота атрофидаги спектр ташкил этувчилиаридан шу билан бирга спектр ҳар қандай ён спектр ташкил этувчилиаридан фойдаланиш керак.

Узлуксиз сигнал спектрини унинг оний қийматлари орқали аниқлаш. МИК математик ифодаларидан фойдаланиб узлуксиз сигнални нафақат қайта тиклаш, унинг спектри зичлигини ҳам аниқлаш мумкин. Бунинг учун узлуксиз сигнал оний қийматларини МИК спектри зичлиги билан боғлаш керак:

$$S_{МИК}(\omega) = \int_{-\infty}^{\infty} x_{МИК}(t) e^{-j\omega t} dt = \Delta t \sum_{k=-\infty}^{\infty} x(t) \delta(t - k\Delta t) e^{-j\omega t} dt = \Delta t \sum_{k=-\infty}^{\infty} x_k e^{-j\omega k\Delta t}. \quad (18.14)$$

МИК сигнал спектри (17.12) ифода орқали аниқланиши мумкинлигини эътиборга олиб, қуйидаги ифодани оламиз:

$$\Delta t \sum_{k=-\infty}^{\infty} x_k e^{-j\omega k \Delta t} = \sum_{k=-\infty}^{\infty} s_x(\omega - 2\pi n / \Delta t). \quad (18.15)$$

Бу формула Пуассон йиғиндиси формуласи деб аталади.

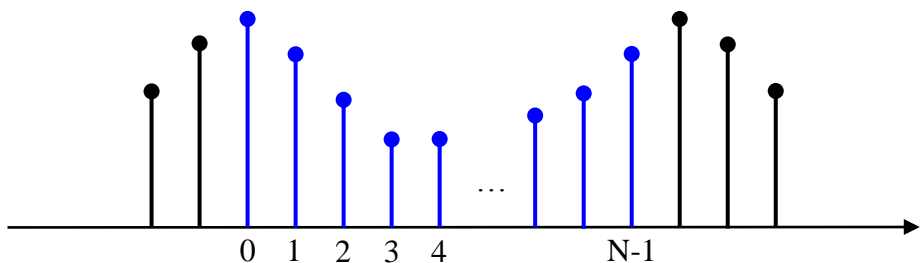
(17.15) ифоданинг чап томонидан фойдаланиб ҳамма ҳолларда ҳам $s_x(\omega)$ ни аниқлаш мумкин эмас, чунки баъзи ҳолларда МИК спектри нусхалари бир-бирининг устига тушган бўлиши мумкин. фақатгина $x(t)$ сигнал спектри паст частотали бўлиб, Котельников шартига жавоб берса, у ҳолда узлуксиз сигнал спектри зичлигини қуйидагича ифодалаш мумкин:

$$S_x(\omega) = \begin{cases} 0, & \omega < -\pi / \Delta t; \\ \Delta t \sum_{k=-\infty}^{\infty} x_k e^{-j\omega k \Delta t}, & -\pi / \Delta t \leq \omega \leq \pi / \Delta t; \\ 0, & \omega > \pi / \Delta t. \end{cases} \quad (18.16)$$

Юқорида келтирилган шартлар бажарилса (17.16) формула ёрдамида узлуксиз сигнал спектрини аниқлаш мумкин.

Узлуксиз даврий сигналларни дискретлаш. Узлуксиз $x(t)$ сигнални вақт бўйича дискретлаш натижасида унинг чексиз кўп оний қийматларини аниқлаш мумкин. Амалда, узлуксиз сигналнинг чексиз кўп оний қийматлари ҳақида маълумот олиб бўлмайди ва уларга чекланган вақт бирлигига ишлов бериш имконияти ҳам мавжуд эмас.

Оний қийматлари $0, \Delta t, 2\Delta t, \dots, (N-1)\Delta t$ вақтларда $x_0, x_1, x_2, \dots, x_{N-1}$ ва уларнинг умумий сони $N = \frac{T}{\Delta t}$ бўлган дискрет сигналнинг спектри билан танишамиз. Ушбу $x(t)$ сигнал спектрини аниқлаш учун унинг N -та ҳақиқий ёки комплекс қийматлари асос бўлади. Узлуксиз $x(t)$ сигналдан олинган оний қийматлар $x(k\Delta t)$ тўплами даврий такрорланади деб фараз этсак, сигнални даврий деб ҳисоблашимиз мумкин (18.4-расм.)



17.4-расм. Узлуксиз даврий сигналларнинг дискрет кўриниши.

Ушбу сигналга мос маълум бир математик моделни танлаб, уни Фурье қаторига ёйиш ва унинг спектр ташкил этувчилари амплитудасини аниқлаш мумкин. Бу аниқланган коэффициентлар даврий сигнал спектр ташкил этувчилари коэффициентларига мос келади.

Фурье дискрет алмаштириши. Дельта импульслар кетма-кетлиги моделидан фойдаланиб $x(t)$ сигнални уни дискрет МИК орқали ифодалаймиз:

$$x_{MIK}(t) = \Delta t \sum_{k=0}^{N-1} x_k \delta(t - k\Delta t). \quad (18.17)$$

$x(t)$ сигналнинг дискрет моделини Фурье комплекс қатори орқали ифодалаймиз:

$$x_{MIK}(t) = \Delta t \sum_{k=-\infty}^{\infty} C_n e^{j2\pi kt/T}. \quad (18.18)$$

Унинг коэффициентлари қуйидагича аниқланади:

$$C_n = \frac{1}{T\Delta t} \int_0^T x_{MIK}(t) e^{-j2\pi nt/T} dt. \quad (18.19)$$

(18.17) ифодани (18.19) ифодага қўйиб ва ўлчамсиз ўзгарувчан катталик $\zeta = \frac{t}{\Delta t}$ ни киритиб, қуйидагини оламиз:

$$\begin{aligned} C_n &= \frac{1}{N\Delta t} \int_0^N x_k \delta(t - k\Delta t) e^{-j2\pi kt/T} dt = \frac{1}{N} \int_0^N x_k \delta(\zeta - k) e^{-j2\pi n\zeta/N} d\zeta = \\ &= \frac{1}{N} \sum_{k=0}^{N-1} x_k \int_0^N \delta(\zeta - k) e^{-j2\pi n\zeta/N} d\zeta. \end{aligned} \quad (18.20)$$

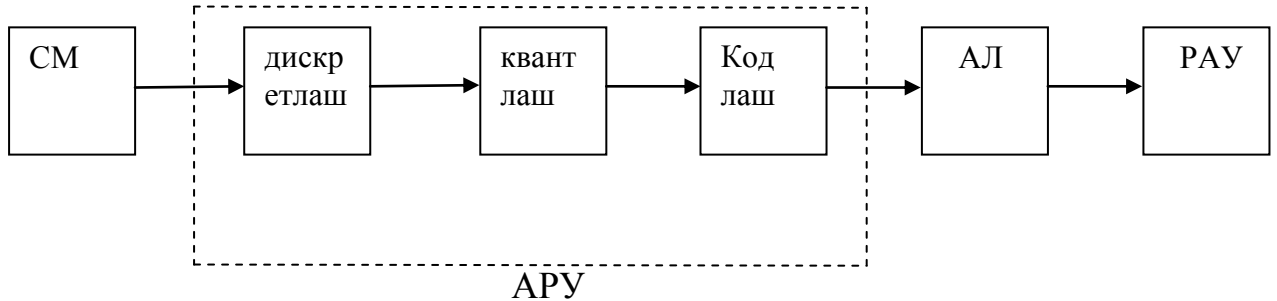
(18.20) ифодадан дельта функциянинг фильтрлаш хоссасини қўллаб C_n коэффициентларини аниқлаш учун қуйидаги формулани оламиз:

$$C_n = \frac{1}{N} \sum_{k=0}^{N-1} x_k e^{-j2\pi nk/N}.$$

Маъруза- 19

АНАЛОГ РАКАМЛИ ВА РАҶАМЛИ АНАЛОГ УЗГАРТИРГИЧЛАР

Аналог ракамли узгартиргич (АРУ) куйидаги структуравий схема асосида курилади



АРУда биринчи жараен сигнални дискретлаш . Дискретлаш интервали
 $\Delta t_q \leq \frac{1}{F_m}$ F_m - максимал частота $\Delta f_g = \frac{1}{\Delta t_g} = 2F_m$

Иккинчи жараен квантлаш , сатх буйича квантлашда квантлаш оралиги куйидагича олинади.

$$\Delta b = \frac{x_{\max} - x_{\min}}{L} \quad L\text{-квант сатхлар сони} \quad n = \log_2 L\text{-квантлар сони}$$

Учинчи жараен кодлаш. Масалан куйидагича кодланиш мумкин.

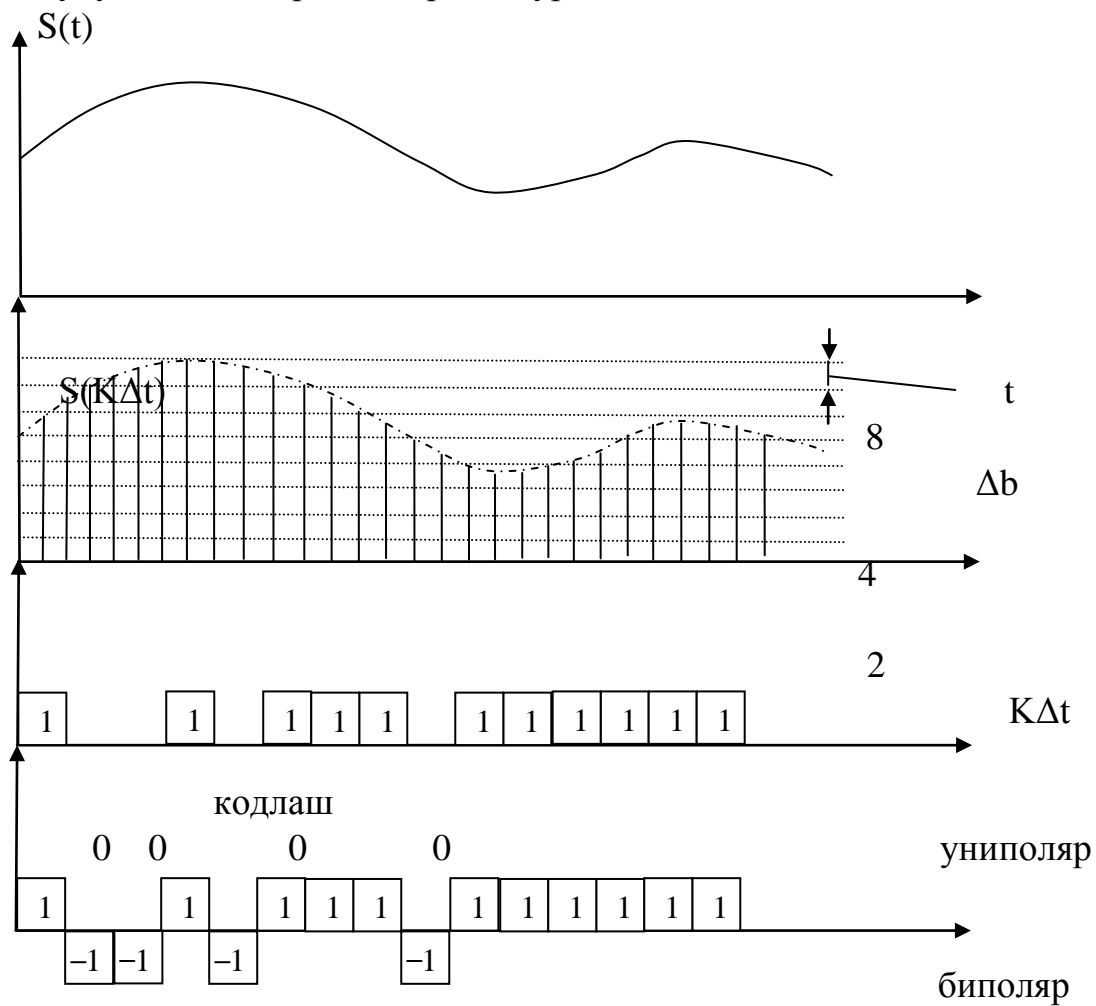
0 000

1 001

2 010

.....

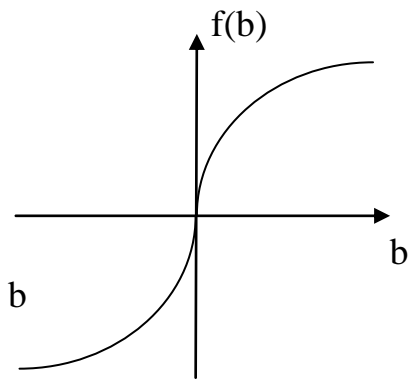
АРУ учун вакт диаграммаларини куриб чикамиз.



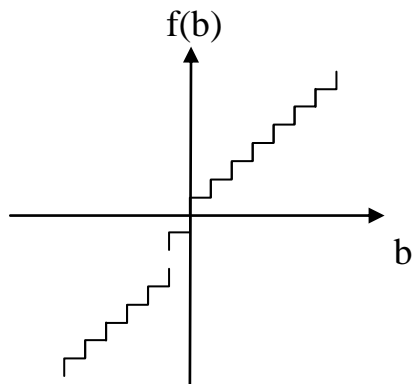
Квантлаш жараенидан куриниб турибдики оний кийматлар учун олинган сатхларда хатоликларга йул куйилади. Бу хатолик куйидаги формула ердамида аникланади.

$$E = \frac{\Delta b^2}{12}$$

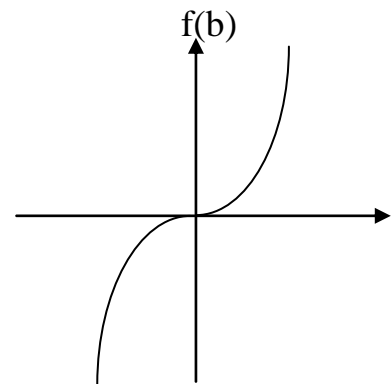
Квантлаш хатолигини бутунлай йукотиб булмайди , уни фактат камайтириш мүмкин . Камайтириш усулларидан бири квантлаш оралиги Δb ни камайтириш мүмкин, лекин бу усул ИКМ сигналларда кодларнинг разрядлар сонини оширади. Натижада ИКМ кенгаяди. Купгина холларда квантлаш хатолигини йукотиш максадида ночиликли квантлаш амалга оширилади. Бунда сигнал олдин компрессор ердамида сикилади, кейин тенг кадамли квантланиб кабул килиш томонида экспандер ердамида кенгайтирилади.



Компрессор



квантловчи курилма



экспандер

Импульси кодли модуляцияни турлари учун математик ифодалар ва вакт диаграммаларни көлтирамиз.

1 АИМ

2 КИМ

3 Кенгликли импулс модуляцияси

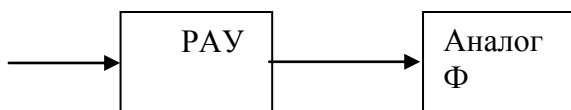
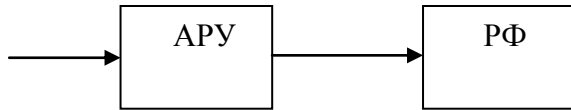
4 ФИМ

Маъруза -20

ДИСКРЕТ СИГНАЛЛАРНИ ХАРАКТЕРИСТИКАЛАРИ

Сигналларни ракамли узгартиргичда қуидаги структуравий схемада курсатилган амаллар бажарилади.

Узатгич томони



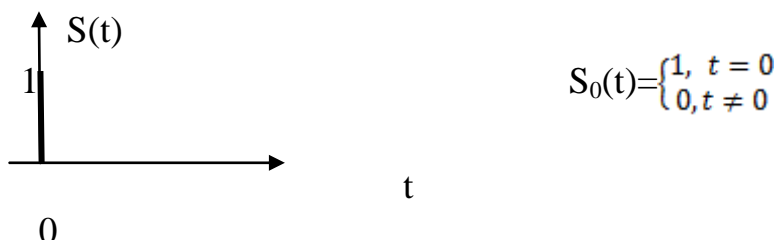
Кабул килгич томони

Ракамли фильтрга берилган сигнал вакт буйича дискрет ва сатх буйича квантланган булиб, ташкари математик жараен учун коэффицентлар хам квантланган булади. Сигнал ва унинг коэффицентларининг квантланганлиги ракамли тизимларни тахлил килишда купгина кийинчиликларни келтиради. Шунинг учун тахлил асосан 2 та боскичда амалга оширилади:

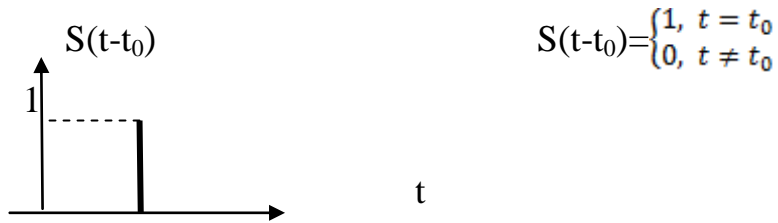
- 1) Сигнал диск лекин квантланмаган деб каралиб филтр коэффицентлари берилган диапазонда хар кандай кийматни кабул килади
- 2) Сигнал ва коэффицентларнинг квантланганлиги этиборга олинниб квантлаш хатолиги амалга оширилади

Дискрет сигнал аналог сигнал сингари бир неча усулда ифодаланган булиши мумкин. Яъни бундай холлар мисолида сигналлар спектр шаклларида ва фуръенинг дискрет узгартериши куринишида ифодаланиши мумкин. Ракамли тизимларни тахлил килишда ишлатиладиган оддий дискрет кетма-кетликларни куриб чикамиз

- 1) Бирлик импульс



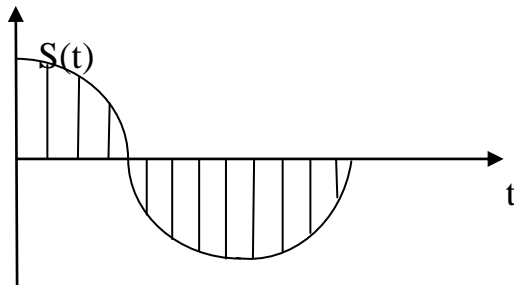
- 2) t_0 вакт моментаiga кечикирилган бирлик импульси



Бу импулс хар кандай сигнални дискрет куринишида ифодалашга имкон беради, яъни дискрет сигнални импулслар ердамида уларнинг йигиндиси куринишида ифодалаш мумкин.

$S(t)=\sum_{k=-\infty}^{\infty} a(k)S_0(t-kT)$ $a(k)$ =масштаб
коэффициенти

3) Дискрет гармоник сигналлар



Гармоник сигнални дискрет куриниши куйидагича езилади

$$\omega=\frac{2\pi}{T_c} \quad T_c=\text{функция даври}$$

$$S(kt)=\cos\frac{2\pi}{T_c} kT=\cos \omega_0 k \quad \omega_0=\frac{2\pi}{N} \quad N=\frac{T_c}{T}$$

тактлар сони

4) Дискрет комплекс экспонента

$$S(t)=\exp(j \omega_0 t)=\cos \omega_0 t+j \sin \omega_0 t$$

5) Даражали функция

$$S(t)=\begin{cases} a^t, & t \geq 0 \\ 0, & t < 0 \end{cases}$$

Дискрет сигналларни урганишда Z узгартыриш катта ахамиятга эга. Юкорида келтирилган дискрет сигналларни турларини Z узгартыришини куриб чикамиз.

1) Бирлик импулс учун

$$S(t)=\begin{cases} 1, & t = 0 \\ 0, & t \neq 0 \end{cases} \quad S(t)=1 \quad S(Z)=1$$

2) Гармоник тебраниш учун

$$S(t)=\begin{cases} \cos \omega_0 t, & t \geq 0 \\ 0, & t < 0 \end{cases} \quad S(t)=\cos \omega_0 t=\frac{1}{2}(e^{j\omega_0 t} + e^{-j\omega_0 t}) \quad \text{деб олинади}$$

$$S(Z)=\frac{1}{2}\left(\frac{1}{1-e^{j\omega_0 Z^{-1}}} + \frac{1}{1-e^{-j\omega_0 Z^{-1}}}\right)=\frac{Z(Z-\cos \omega_0)}{Z^2 + 2Z \cos \omega_0 + 1}$$

Бу ерда $Z=e^{PT}$ узгартариш текислиги P текисликнинг урганилган кисми
 $P=\sigma+j\omega$ еки $P=\frac{1}{T} \ln Z$

3) Комплекс экспонента

$$S(t)=\begin{cases} e^{j\omega_0 t}, & t \geq 0 \\ 0, & t < 0 \end{cases} \quad S(Z)=\sum_{n=0}^{\infty} e^{j\omega_0 t} Z^{-t} = \sum_{t=0}^{\infty} (Z^{-1} e^{j\omega_0 t})^t = \frac{1}{1-Z^{-1} e^{j\omega_0}} = \frac{Z}{Z-e^{j\omega_0}},$$

4) Даражали функция

$$S(t)=\begin{cases} a^t, & t \geq 0 \\ 0, & t < 0 \end{cases} \quad S(Z)=\sum_{t=0}^{\infty} a^t Z^{-t} = \frac{1}{1-aZ^{-1}} = \frac{Z}{Z-a};$$

Маъруза-21

ФУРЬЕ ДИСКРЕТ АЛМАШТИРИШИ

Фурье дискрет алмаштириши баъзи хоссаларини эслатиб ўтамиз:

1. Фурье дискрет алмаштириши чизиқли ўзгартириш, яъни бир неча сигналлар йигиндисига уларнинг ФДА йигиндиси мос келади;
2. ФДАнинг (21.1) формула орқали аниқланадиган $C_0, C_1, C_2, \dots, C_{N-1}$ коэффициентлари сони, узлуксиз сигнал $x(t)$ бир даври давомида олинган оний қийматлари сони N га тенг, бунда $n = N$ бўлса $C_N = C_0$ бўлади;
3. C_0 коэффициенти $x(t)$ сигнал ҳамма оний қийматлари ўртача қийматига, яъни доимий ташкил этувчисига тенг;
4. Агар N жуфт сон бўлса,

$$C_{N/2} = \frac{1}{N} \sum_{k=0}^{N-1} x_k (-1)^k, \quad (21.1)$$

бўлади.

5. Агар $x(t)$ сигналнинг оний қийматлари $x_k(t)$ ҳақиқий қийматга эга бўлса, у ҳолда ФДАнинг $N/2$ га нисбатан симметрик жойлашган коэффициентлари ўзаро мослашган (сопряженный) жуфтликни ҳосил қиласди:

$$C_{N-n} = \frac{1}{N} \sum_{k=0}^{N-1} x_k e^{-j2\pi(N-n)k/N} = \frac{1}{N} \sum_{k=0}^{N-1} x_k e^{j2\pi nk/N} = e_n^*. \quad (21.2)$$

Шунинг учун $C_{\frac{N}{2}+1}, \dots, C_{N-1}$ коэффициентлар манфий частоталарга тегишли бўлиб, сигнал амплитуда спектрини ўрганиш учун қўшимча маълумот бермайди.

Бирламчи сигнал $x(t)$ ни унинг ФДА орқали тиклаш. Узлуксиз сигналнинг $x_0, x_1, x_2, \dots, x_{N-1}$ оний қийматлари учун ФДА коэффициентлари $C_0, C_1, C_2, \dots, C_{N/2}$ аниқланган бўлса, бу коэффициентар орқали спектри кенглиги чекланган сигнал $x(t)$ ни қайта тиклаш мумкин. бу сигнал учун Фурье қатори қуидагига тенг бўлади:

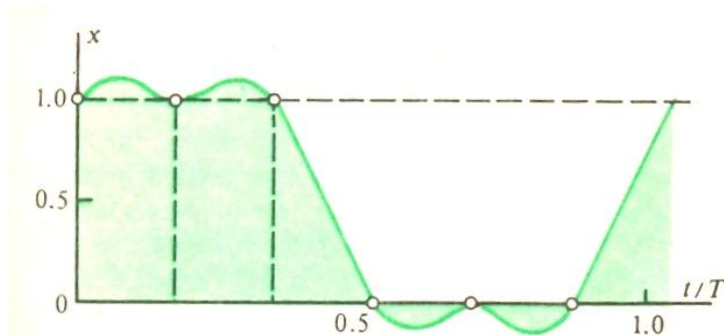
$$\begin{aligned} x(t) = & C_0 + 2|C_1|\cos(2\pi t/T + \varphi_1) + 2|C_2|\cos(4\pi t/T + \varphi_2) + \\ & + \dots + 2|C_{N/2}|\cos(N\pi t/T + \varphi_{N/2}), \end{aligned} \quad (21.3)$$

бунда, $\varphi_i = \arctg C_i$ - ФДА коэффициенти фазаси.

Агар дискрет сигнал бир даври 6-та оний қийматлар орқали $x(t)$ 21.1.0.0.0 ифодаланган бўлса, у ҳолда бу сигнални Фурье дискрет алмаштириш коэффициентлари орқали қўйидагича ифодалаш мумкин:

$$x(t) = \frac{1}{2} + \frac{2}{3} \cos(2\pi t/T - \frac{\pi}{3}) + \frac{1}{6} \cos(6\pi t/T), \quad (21.3)$$

бунда, $f_{\omega} = \frac{\omega_{\omega}}{2\pi} = \frac{1}{2\Delta t} = \frac{N}{2} f_1$ ва $f_1 = \frac{1}{T}$ - сигнал такрорланиш частотаси биринчи гармоникаси. ФДА коэффициентлари орқали тикланган сигнал 21.1-расмда келтирилган.



21.1-расм. ФДА коэффициентлари орқали тикланган сигнал.

Шуни алоҳида таъкидлаш керакки, узлуксиз сигнални (21.3) ифода орқали тиклаш таҳминий эмас, у спектри чекланган $x(t)$ сигналдан Δt вақт оралиқда олинган қийматларга тўлиқ мос келади. Кўп ҳолларда ФДАдан фойдаланиш қулай, чунки маълум сондаги гармоникалар йифиндисидан фойдаланилади. Ушбу $x(t)$ даврий сигнални Котельников қатори орқали тиклаш учун унинг чексиз кўп ташкил этувчилари қийматларини эътиборга олишга тўғри келади.

Фурье тескари дискрет алмаштириши. Дискрет сигнални таҳлил қилишни қўйидагича амалга ошиш мумкин. бунда ФДА коэффициентлари C_n берилган деб ҳисоблаймиз. $t = k\Delta t$ деб белгилаб, фақат бирламчи узлуксиз сигнал $x(t)$ спектрида мавжуд гармоникалар йифиндисини аниқлаймиз. Шундай қилиб $x(t)$ сигнални дискретлаш натижасида олинадиган оний қийматларини ҳисоблаш учун Фурье тескари дискрет алмаштириши (ФТДА) алгоритми ифодасини оламиз, яъни

$$x_k = \sum_{n=0}^{N-1} C_n e^{j2\pi n k / T}. \quad (21.4)$$

(21.4) ифода ҳудди узлуксиз сигналлардаги Фурье түғри ва тескари алмаштиришларига ўхшаш бўлиб, унинг дискрет сигнал учун түғри ва тескари алмаштиришлари ифодаси ҳисобланади.

Фурье тез алмаштириши алгоритми. (21.4) ифода орқали ФДА ёки ФТДА ни ҳисоблаш учун N та кетма-кет элементар комплекс сонлар устидан N^2 та амални бажариш керак. Агар бажариладиган амаллар сони минг ва ундан катта бўлса, у ҳолда дискрет спектр таҳлили алгоритмини реал вақт масштабида амалга ошириш қийинлашади, чунки ҳисоблаш қурилмаларининг тезкорлиги чекланган. Ушбу масалани ечишда Фурье тез алмаштиришидан фойдаланиш керак, бунда бажариладиган ҳисоблаш амаллари сонини сезиларли даражада камайтиришга эришилади. Бунда ФДА ёки ФТДАни амалга оширишда қатор нисбатан кам ташкил этувчилари қатнашади.

Фурье тез дискрет алмаштиришларини амалга ошириш учун $\frac{N}{2}$ ойи қийматлар кетма-кетлигини икки қисмга (тоқ ва жуфт тартиб рақамлига қараб) ажратамиз, яъни

$$x_{2k} = x_{2k+1}, \quad x_{2k+1} = x_{2k}, \quad (21.5)$$

бунда, $k = 0, 1, 2, \dots, \frac{N}{2} - 1$.

ФДА n -чи коэффициенти қуйидагича аниқланади:

$$\begin{aligned} C_n &= \frac{1}{N} \sum_{k=0}^{N-1} x_{2k} e^{-j4\pi nk/N} + x_{2k+1} e^{-j2\pi n(2k+1)/N} \\ &= \frac{1}{N} \sum_{k=0}^{\frac{N}{2}-1} \left(x_{k\mathcal{K}} e^{\frac{-j2\pi nk}{N/2}} + e^{-j2\pi n/N} \sum_{t=0}^{\frac{N}{2}-1} \left(x_{kT} e^{\frac{-j2\pi nt}{N/2}} \right) \right). \end{aligned} \quad (21.6)$$

(21.6) дан кўринадики бирламчи сигнал ФДАниг $\frac{N}{2} - 1$ тартиб рақамли коэффициентлари бир қисми ФДА икки хусусий кетма-кетликлари коэффициентлари орқали аниқланади, яъни

$$C_n = C_{n\mathcal{K}} + e^{-j\frac{2\pi n}{N}} C_{nT}, \quad (21.7)$$

бунда $n = 0, 1, 2, \dots, \frac{N}{2} - 1$.

Агар тоқ ва жуфт рақамли коэффициентлар кетма-кетлиги $N/2$ давр билан такрорланишини эътиборга олсак, улар сони қуйидагиларга тенг бўлади:

$$C_{n\mathcal{K}} = C_{n+N/2\mathcal{K}}, \quad C_{nT} = C_{n+N/2T}. \quad (21.8)$$

Бундан ташқари (21.7) ифодадаги күпайтмани $n \geq \frac{N}{2}$ учун қуидагича ифодалаш мумкин:

$$e^{-j\frac{2\pi(\frac{N}{2}+n)}{N}} = e^{-j\pi} e^{-j\frac{2\pi n}{N}} = -e^{-j\frac{2\pi n}{N}}. \quad (21.9)$$

ФДА коэффициентлари иккинчи қисмина аниқлашда қуидаги ифодадан фойдаланиш керак бўлади:

$$C_{\frac{N}{2}+n} = C_{n\mathcal{K}} - e^{-j\frac{2\pi n}{N}} C_{nT} \quad (21.10)$$

(21.7) ва (21.10) ифодалар Фурье тез алмаштириши алгоритмининг асоси ҳисобланади. Ҳисоблашни амалга оширишда итерацион усулдан, сигнал оний қийматларини тоқ ва жуфт тартиб рақамли икки қисмга бўлинади ва шу тариқа ҳар икки қисм яна тоқ ва жуфт тартиб рақаларга бўлинади ва бу жараённи давом эттириш натижасида битта элементдан иборат кетма-кетлик ҳосил бўлишига эришилади. Бунда ушбу элемент ФДА унинг ўзига мос келади.

Z-алмаштириш қисқа назарияси. Z-алмаштириш дискрет ва рақамли қурилмаларни таҳлил этишда кенг қўлланилади. Агар $\{x_n\} (x_0, x_1, x_2, \dots)$ - сонлар кетма-кетлиги қандайдир $x(t)$ сигналнинг чекли ва чексиз кўп оний қийматлари тўплами деб ҳисобласак, унга манфий даражали Z-комплекс ўзгарувчи қатори йиғиндисини мос қилиб танлаймиз:

$$X(Z) = x_0 + \frac{x_1}{z} + \frac{x_2}{z^2} + \dots = \sum_{k=1}^{\infty} x_k z^{-k}. \quad (21.11)$$

Бу ҳолда, агар йиғинди мавжуд бўлса (21.11) ифода $X(z)$ нинг Z-алмаштириши деб аталади. Бу тушунчанинг киритилиши натижасида дискрет кетма-кетликлар хоссаларини уларнинг Z-алмаштиришларини оддий математик анализ усулидан фойдаланиб ўрганиш мумкин.

(21.11) ифода асосида чекли оний қийматларга эга бўлган дискрет сигнал Z-алмаштиришни тўғридан-тўғри аниқлаш мумкин. Ягона оний қийматга эга бўлган $\{x_n\} (1,0,0,0, \dots)$ сигналга $X(z)=1$ мос келади. Агар $\{x_n\} (1,1,1,0,0,0, \dots)$ бўлса, у ҳолда:

$$X(Z) = 1 + \frac{1}{z} + \frac{1}{z^2} = \frac{z^2 + z + 1}{z^2}. \quad (21.12)$$

Узлуксиз сигналлар Z-алмаштириши. Узлуксиз сигналнинг $t = k\Delta t$ вақтлардаги оний қийматлари түпламини деб ҳисоблаб, унга мос Z-алмаштиришни танлаш мумкин, яъни

$$X(Z) = \sum_{k=0}^{\infty} x(k\Delta t)z^{-k}. \quad (21.13)$$

Агар $x(t) = e^{\alpha t} = \exp \alpha t$ бўлса, унга қўйидаги Z-алмаштириш мос келади:

$$X(Z) = \sum_{k=0}^{\infty} \exp(\alpha k \Delta t) z^{-k} = \frac{z}{z - \exp(\alpha \Delta t)}, \quad (21.14)$$

ва $|z| > \exp(\alpha \Delta t)$ бўлса, унинг аналитик функцияси ҳисобланади.

Тескари Z-алмаштириши. Комплекс ўзгарувчи z функцияси $X(z)$ доирасимон $|z| > R_0$ ҳудудда аналитик деб ҳисоблаймиз. Z-алмаштиришнинг ажойиб хоссалидан бири $X(z)$ функция узлуксиз сигнал чексиз қўп оний қийматлари (x_0, x_1, x_2, \dots) ни аниқлаш имконини беради. Ҳақиқатдан ҳам (21.11) нинг ҳар икки қисмини z^{m-1} га қўпайтирамиз:

$$X(z)z^{m-1} = x_0 z^{m-1} + x_1 z^{m-2} + x_2 z^{m-3} + \dots + x_m z^{-1} + \dots \quad (21.15)$$

ва (21.15) нинг ҳар икки қисмидан интеграл оламиз. Бунда интеграллаш ёпиқ контури сифатида $X(z)$ нинг ҳамма кутбларини ўз ичига оловчи юза олинади. Бунда Коши теоремасининг асосий қоидасидан фойдаланамиз.

$$\oint z^n dz = \begin{cases} 2\pi j, & \text{агар } \varepsilon = -1; \\ 0, & \text{агар } \varepsilon \neq -1. \end{cases} \quad (21.16)$$

(21.16) ифоданинг ўнг томони m -тартиб рақамли ташкил этувчисидан бошқа ҳамма ташкил этувчилари учун нольга teng бўлади, яъни

$$x_m = \frac{1}{2\pi j} \oint z^{m-1} X(z) dz. \quad (21.17)$$

Ушбу формула тескари Z-алмаштириши деб аталади.

Маъруза -22

РАҚАМЛИ ФИЛЬТРЛарНИНГ ТУЗИЛИШИ ВА АСОСИЙ ТАВСИФЛАРИ

Рақамли фильтр деб чекланган фарқлар тенгламаси алгоритмини амалга оширувчи ҳисоблаш қурилмасига айтилади.

$$y_p(kT) = \sum_{m=0}^{M-1} a_m x_p(k-m)T - \sum_{i=1}^{l-1} b_i y_p(k-i)T,$$

бунда $x_p(kT)$ - кириш сигнали оний қийматлари, $y_p(kT)$ - чиқиш сигнали оний қийматлари, a_m ва b_i - коэффициентлар, $T=\Delta t$ – дискретизациялаш оралиги.

Чизиқли рақамли фильтрлар қуйидаги турларга бўлинади:

- a_i ва b_i коэффициентлари ўзгармас бўлган ва параметрлари ўзгарувчан бўлган қурилмалар;
- рақамли норекурсив (трансверсал) фильтрлар деб ҳамма коэффициентлари $b_i = 0$ бўлган ва чиқиш сигнали фақат кириш сигналига боғлиқ фильтрларга айтилади;
- рақамли рекурсив фильтрлар деб b_i коэффициентлари нольга тенг бўлмаган, яъни чиқиш ва кириш орасида боғланиши бўлган фильтрларга айтилади.

Дастлаб ўзгармас коэффициентли рақамли норекурсив фильтрлар тузилиши ва тавсифларини қўриб чиқамиз. Бу турли фильтрлар учун юқоридаги ифода асосида қуйидаги чекланган фарқ тенгламасини оламиз:

$$y_p(kT) = \sum_{m=0}^{M-1} a_m x_p(k-m)T.$$

Z ўзgartеришни қўллаб норекурсив фильтрнинг узатиш функцияси ифодасини оламиз:

$$K_H(Z) = \sum_{m=0}^{M-1} a_m z^{-m}.$$

$z = e^{j\omega T}$ белгиланишини киритиб норекурсив рақамли фильтр комплекс частота характеристикасини ифодаловчи формулани қуйидаги қўринишида ифодалаймиз:

$$K_H(j\omega) = \sum_{m=0}^{M-1} a_m e^{-jm\omega T}.$$

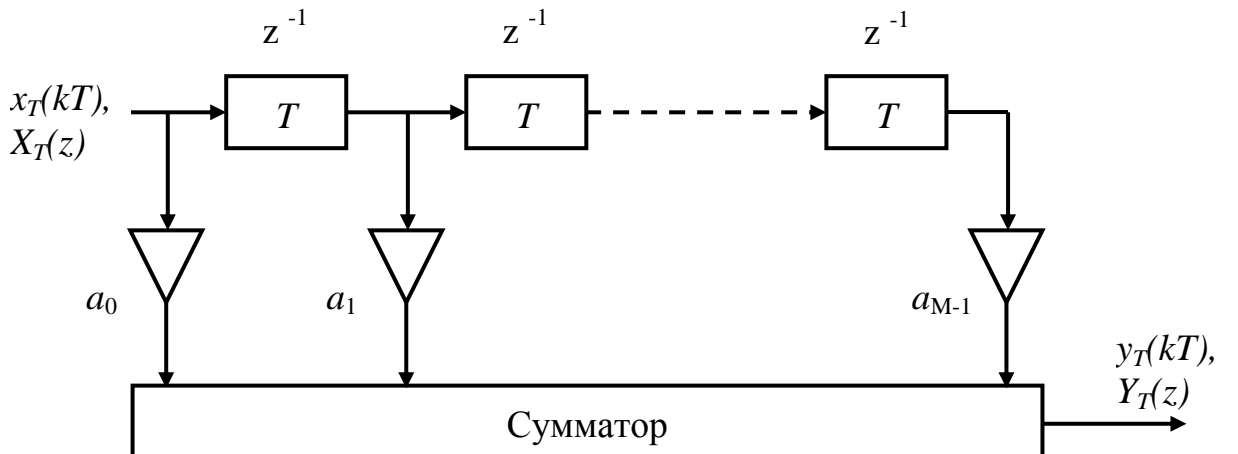
Норекурсив фильтр амплитуда-частота характеристикаси асосида күйидаги аниқланади:

$$A_H(\omega) = |K_H(j\omega)| = \left| \sum_{m=0}^{M-1} a_m e^{-jm\omega T} \right|,$$

ва унинг фаза-частота характеристикасини аниқлаймиз:

$$\theta_H(\omega) = \arg |K_H(j\omega)| = \arg \left| \sum_{m=0}^{M-1} a_m e^{-jm\omega T} \right|.$$

вақт характеристикасида алгоритмларни бажариш норекурсив рақамли фильтрнинг қүйидаги структурасини акс этиради (22.1-расм).



22.1-расм. Рақамли норекурсив фильтр структуравий схемаси.

22.1-расмдаги схемада Т-звеноси кириш сигналини бирламчи аналог (узлуксиз) сигнални дискретлаш оралиги T вақтга кечиктиради. Ушбу Т-звеноңнинг Z алмаштириш натижасидаги кўриниши Z^{-1} шаклида бўлади.

Рақамли фильтрнинг импульс характеристикаси унинг бирлик импульсга акс таъсирига teng бўлиб, натижада қўйидаги кўринишда бўлади:

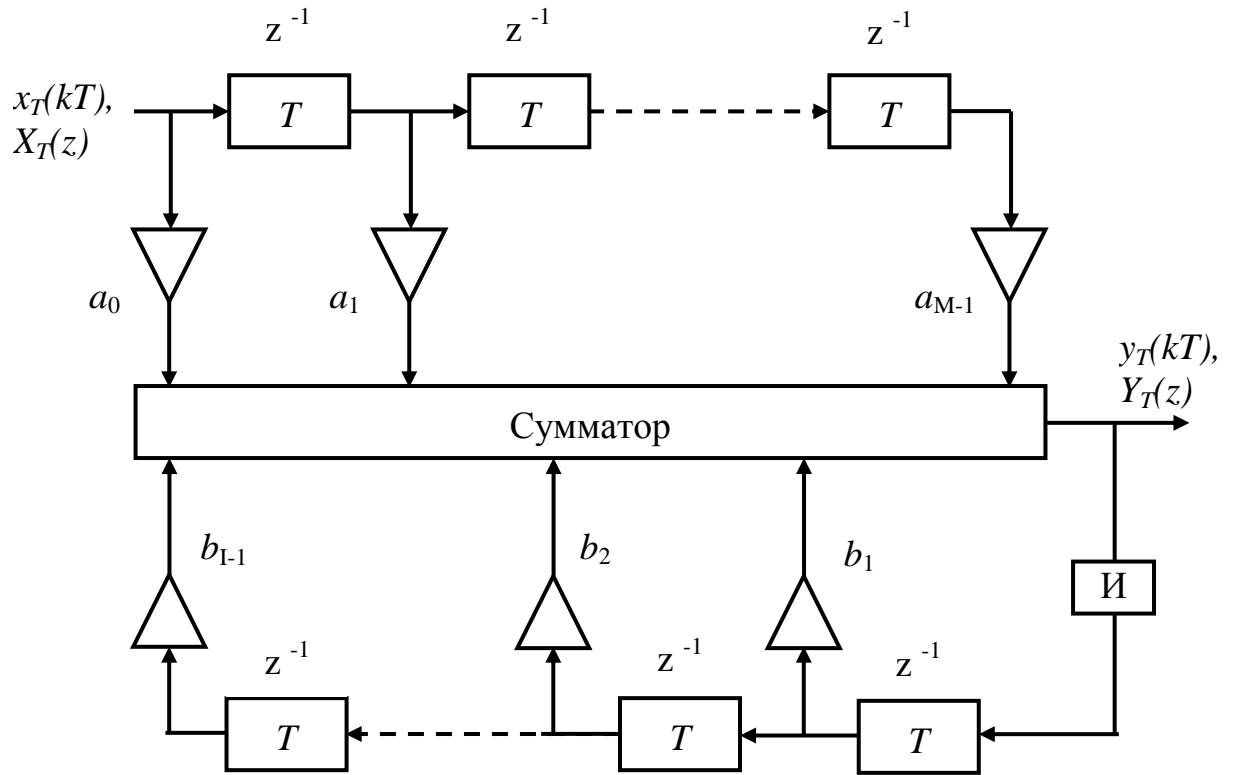
$$K_H(kT) = \sum_{m=0}^{M-1} a_m \delta(k - m) T,$$

бунда $\delta(k - m)$ - бирлик дельта импульс.

Рекурсив фильтр чекланган фарқли тенглама билан ифодаланади. (17.40) тенгламани тўғридан-тўғри амалга ошириш 22.2-расмда келтирилган рақамли рекурсив фильтр структуравий схемасини келтириб чиқаради.

Рекурсив фильтрнинг норекурсив фильтрдан фарқи, унда фильтрнинг чиқиши ва киришининг тескари боғланишга эгалигидир. Бу боғланиш

занжири рақамли фильтр унинг характеристикасининг сифат бўйича яхшиланишига олиб келади. Тескари боғланиш занжирида кириш сигнални фазасини 180° га ўзгартирувчи “И” элементи бўлиб, у +1 импульсни -1 импульсга айлантиради ва аксинча.



22.2-расм. Рақамли рекурсив фильтр структуравий схемаси.

Z-алмаштиришни қўллаб рекурсив фильтр узатиш коэффициенти ифодасини оламиз:

$$K_p(Z) = \frac{\sum_{m=0}^{M-1} a_m z^{-m}}{\left(1 + \sum_{i=0}^{i-1} b_i z^{-i}\right)}.$$

$z = e^{j\omega T}$ ни киритиб рекурсив фильтр комплекс частота характеристикасини аниқлаймиз:

$$K_p(j\omega) = \frac{\sum_{m=0}^{M-1} a_m z^{-jm\omega T}}{\left(1 + \sum_{i=0}^{i-1} b_i e^{-ji\omega T}\right)}.$$

рекурсив фильтр амплитуда-частота характеристикасини қўйидагича аниқлаймиз:

$$A_H(\omega) = |K_p(j\omega)| = \left| \frac{\sum_{m=0}^{M-1} a_m e^{-jm\omega T}}{\left(1 + \sum_{i=0}^{i-1} b_i e^{-ji\omega T}\right)} \right|.$$

Шунингдек норекурсив фильтр фаза-частота характеристикиси учун қуидаги ифодани оламиз:

$$\theta_p(j\omega) = \arg |K_p(j\omega)| = \arg \left| \frac{\sum_{m=0}^{M-1} a_m e^{-jm\omega T}}{\left(1 - \sum_{i=0}^{i-1} b_i e^{-ji\omega T}\right)} \right|.$$

Тескари боғланиш занжирини узиб, рақамли рекурсив фильтрнинг түғри ва тескари занжирларининг импульс характеристикасини аниқлаш мумкин.

$$K_A(kT) = \sum_{m=0}^{M-1} a_m \delta(k-m)T, \quad K_B(kT) = \sum_{i=0}^{i-1} b_i \delta(k-m)T.$$

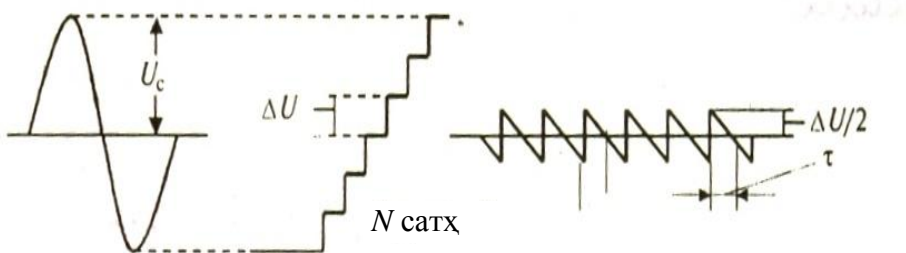
Рекурсив рақамли фильтрнинг частота характеристикиси дискрет сигнал спектридек даврий бўлади, аммо тақороланиш частотаси $F = 1/T$ га тенг бўлмайди. Амплитуда-частота характеристикиси a_i ва b_i коэффициентларга боғлиқ равишда ўзгаради.

Норекурсив ва рекурсив рақамли фильтрларнинг амплитуда-частота характеристикаларининг фарқланиши рекурсив фильтрда тескари боғланиш занжирининг мавжудлиги билан асосланади. Натижада рекурсив фильтр ёрдамида тор полосали амплитуда-частота характеристика олиш мумкин, аммо унинг фаза-частота характеристикиси тебранувчан шаклга эга бўлади, натижада рекурсив рақамли фильтрнинг генерация ҳолатига ўтиш эҳтимоллиги ошади.

Рақамли фильтрлашда аналог сигналларни рақамлига ўзгартиришдаги квантлар шовқинини ҳам эътиборга олиш керак. Ушбу масалани кўриб чиқамиз. Квантлаш натижасида аналог сигналнинг оний қийматлари рухсат этилган стахлар билан алмаштирилади ва рақамлар билан белгиланади. Сатхлар сони эса ўз навбатида иккилиқ код билан кодланади. Бунда сигналнинг умумий сатҳи ва унинг қаршилиги 1 Ом бўлган юкламада ҳосил қиласиган қуввати (22.2-расм) қуидагига тенг бўлади:

$$U_c = \frac{N\Delta U}{2}, \quad P_c = \frac{U_c^2}{2} = \frac{N^2 \Delta U^2}{8},$$

бунда N – квантланган сатхлар сони ва ΔU - икки қүшни квантлаш сатхи орасидаги фарқ.



17.8-расм. Квантлар шовқинини аниқлашга доир.

Оддий қараганда квантлаш хатолиги икки қүшни квантлаш сатхи орасидаги фарқ ΔU нинг ярмидан ошмайди ва такрорланувчи аррасимон бўлади, яъни $u_u(t) = U_u(t/\tau)$ (17.8-расм). бу хатоликни квантлаш шовқини ёки ҳалақит деб ҳисоблаш мумкин. ушбу квантлаш ҳалақитининг қаршилиги 1 Ом бўлган юкламадаги қуввати

$$P_u = \frac{1}{\tau} \int_0^\tau u_u^2(t) dt = \frac{U_u^2}{\tau^3} \int_0^\tau t^2 dt = \frac{U_u^2}{3} = \frac{\Delta U^2}{12}.$$

(Юқоридаги ифодалардан фойдаланиб рақамли фильтр чиқишидаги фойдали сигнални ҳалақитга нисбатини аниқлаш мумкин,

$$q^2 = \frac{P_c}{P_u} = \frac{N^2 \Delta U^2 / 8}{\Delta U^2 / 12} = \frac{3}{2} N^2 \approx 2^{2n} \text{ ёки } \cancel{q^2} = 10 \log \cancel{2^{2n}} = 6n \text{ (dB)}.$$

Шундай қилиб сигнал-ҳалақит нисбати бир квантлаш разряди квантлаш шовқини таъсирида 6 дБ бўлади.

Рақамли фильтр сифатида чекланган фарқли тенгламадаги алгоритмларни амалга оширувчи маҳсус сигнал процессорларидан фойдаланиш мумкин. сигнал процессорлари бир вақтнинг ўзида АРЎ ва РАЎ вазифаларини ҳам бажаради.

Мъруза -23

ФУРЬЕ ТЕЗ АЛМАШТИРИШЛАРИ

Фуръенинг дискрет узгартиришида дискрет кетма-кетликла узлуксиз давом этганида катта микдорда арифметик жараенларни амалга оширишга тугри келади. Бу эса уз навбтида ПК ларни кайта ишлаш вактини тезлаштиришни талаб килади. Бу тарзда арифметик жараенлар сонини ва тартибини камайтириш максадида фуръенинг тез алмаштириши кулланилади. Фуръенинг тез алмаштиришида FTA бир улчовли сонларни 2 улчовли сонлар массивига айлантириш услуги кулланилади.

Ушбу усулда N та кетма-кетлик 2 та кетма-кетликка ажратиласы. Ток ва жуфт аъзоларга булинади. Бунда

$$X_1(n)=x(2n); \quad x_2(n)=x(2n+1); \quad n=0,1,\dots,\frac{N}{2}-1;$$

Ушбу хол учун фуръенинг дискрет алмаштириши куйидаги куринишга эга булади

$$G(k)=\sum_{n=0}^{N-1} x_1(n) e^{-j(\frac{2\pi}{N})nk} + \sum_{n=0}^{N-1} x_2(n) e^{-j(\frac{2\pi}{N})nk} = \sum_{n=0}^{\frac{N}{2}-1} x(2n) W_N^{2nk} + \sum_{n=0}^{\frac{N}{2}-1} x(2n+1) W_N^{(2n+1)k}$$

$$\text{Бу ерда } W_N^2 = [e^{j(2\pi/N)}]^2 = W_{N/2}$$

Охирги ифодани инобатта олган холда Фуръенинг дискрет алмаштириши куйидаги куринишни олади

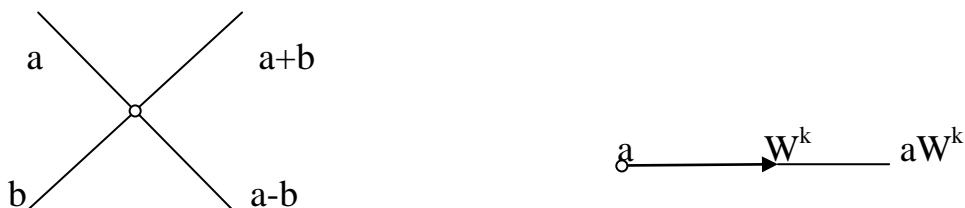
$$G(k)=\sum_{n=0}^{\frac{N}{2}-1} x_1(n) W_N^{nk} + W_N^{\frac{N}{2}} \sum_{n=0}^{\frac{N}{2}-1} x_2(n) W_N^{nk}$$

$$G(k)=G_1(k)+W_N^k G_2(k)$$

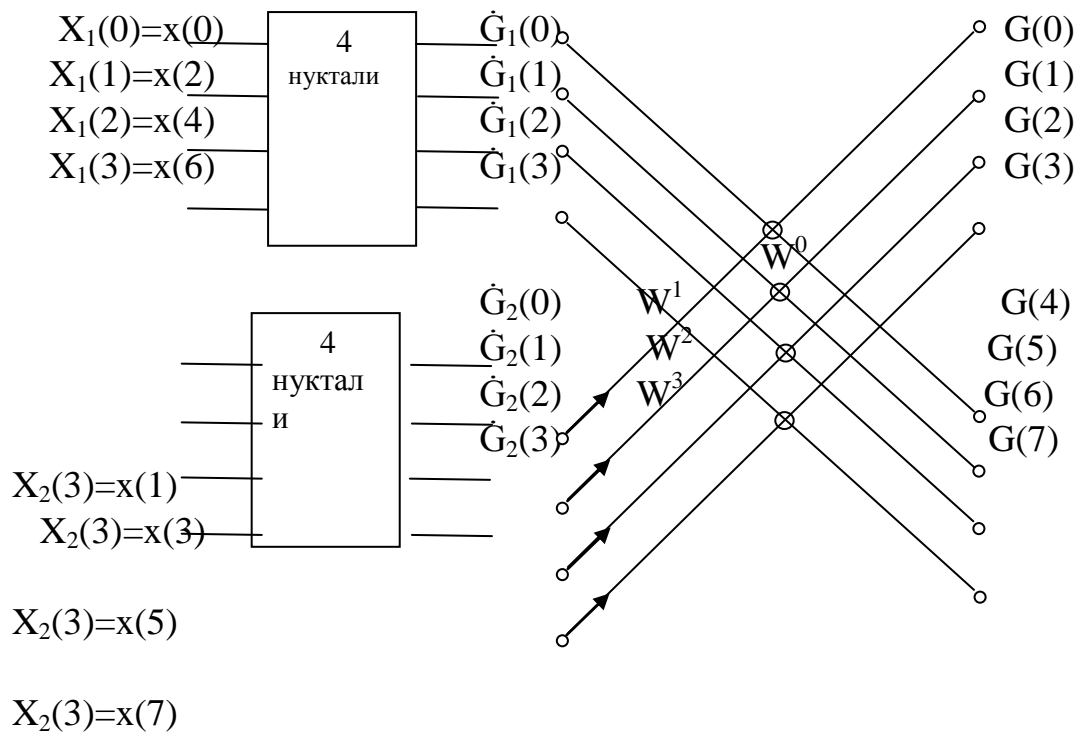
Фуръенинг тез алмаштиришини аникрок куриш максадида 8 та нұктали йұналтирилған графа куринишидаги узгартиришни куриб чикамиз. Бунинг учун дастлаб графадаги белгиланишларга аниклик киритамиз.

◦ - бу шакл күшиш еки айриш амалини бажаришни курсатади. Тепега йұналтирилған бўлса кўшиш акс холда айриш. Йұналтирилған стрелка эса купайтмани билдиради.

Купайтувчи стрелкани ёнида кўрсатилади.



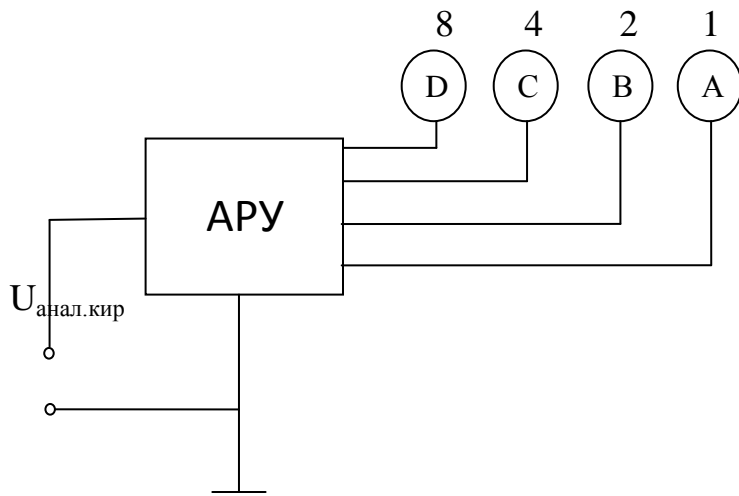
Ушбу мисол учун 4 талик узгартиргичдан фойдаланамиз



Маъруза -24

АРУ СТРУКТУРАВИЙ СХЕМАСИ, ИШЛАШ ТАРТИБИ

Дастлаб АРУни база структуравий схемасини куриб чикамиз



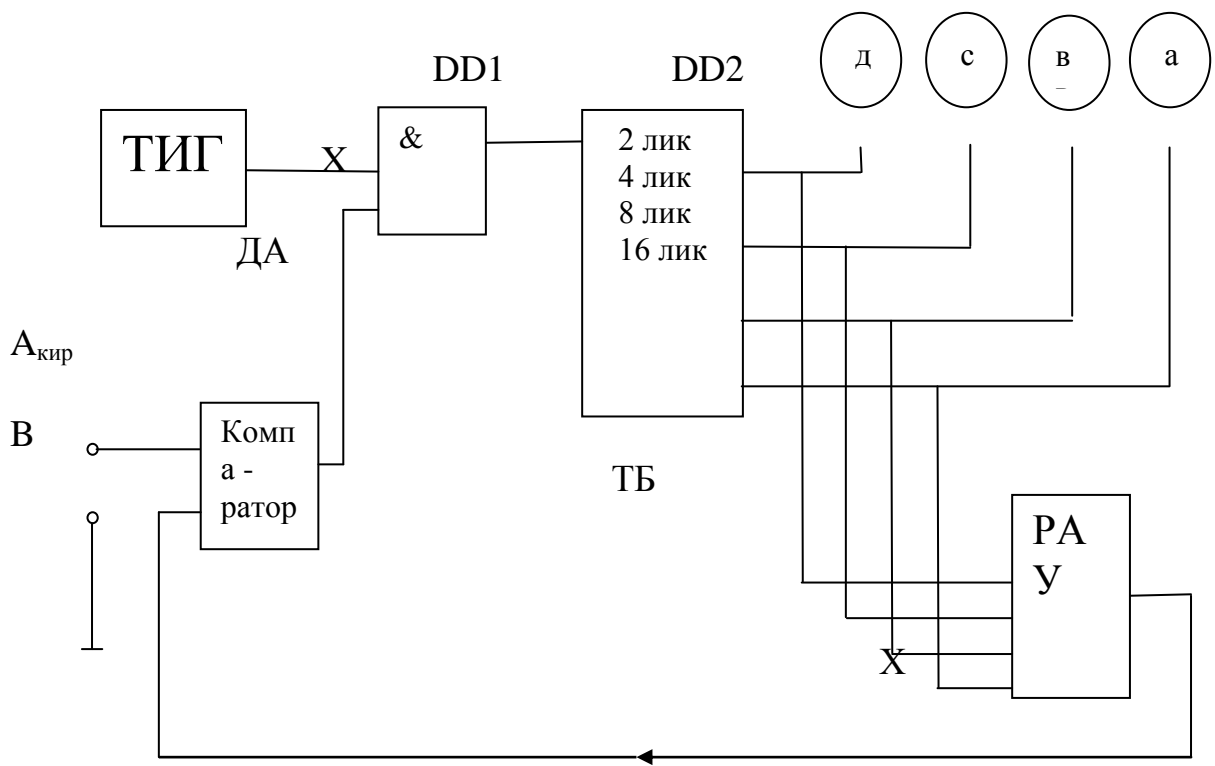
Ушбу АРУ учун хакконийлик жадвалини келтирамиз. Шуни эътиборга олиш керакки кишишга берилаетган кучланиш киймати $0 \div 3$ оралиқда узгарсın

Хакконийлик жадвалида иккилик сигнални хосил килишни куриб чикамиз:

№	Аналог кириш	D	C	B	A
	Волтлар	8	4	2	1
0	0	0	0	0	0
1	0,2	0	0	0	1
2	0,4	0	0	1	0
3	0,6	0	0	1	1
4	0,8	0	1	0	0
5	1	0	1	0	1
6	1,2	0	1	1	0
7	1,4	0	1	1	1
8	1,6	1	0	0	0
9	1,8	1	0	0	1

10	2	1	0	1	0
11	2,2	1	0	1	1
12	2,4	1	1	0	0
13	2,6	1	1	0	1
14	2,8	1	1	1	0
15	3	1	1	1	1

Бу жадвалдан куриниб турибдики биринчи сатх 00, иккинчиси 0,2 волтга тугри келади. АРУ чикишда эса 0 волт учун 0000, 0.2 волт учун эса 0001 комбинатсияси мос келади. Бундан хулоса килиб айтиш мүмкінкі хар бир сатр 0,2 волтга фарқ килади. Бундай хакконийлик жадвалига эга болған АРУ келтирамиз.



ТИГ-тартибли импулслар генератори

DD1-логик “I” элементи

DD2-счетчик

DA-компоратор

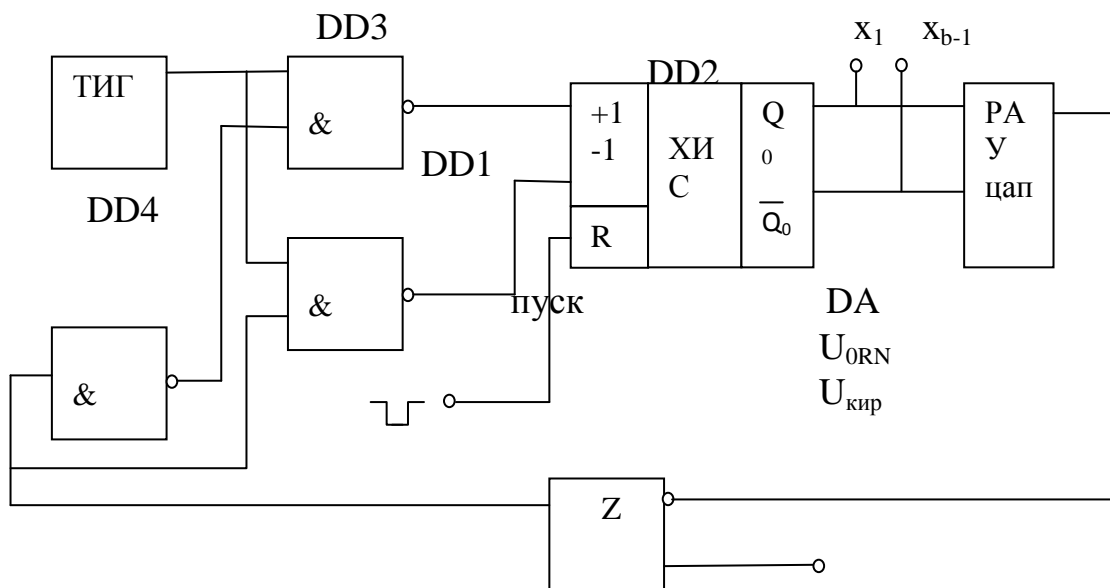
Схемада компораторнинг вазифаси А киришдаги яъни аналог киришидаги кучланиш билан В киришидаги яъни РАУ чикишидаги кучланишларни таккослашдан иборат. Агар аналог киришидаги яъни А киришдаги кучланишни киймати В киришдаги кучланишга нисбатан катта булса компораторнинг чикиши DD1 нинг киришига логик 1 берилади. “I” элементи очик хисобланади ва хисоблагичнинг киришига узатилади. Хисоблагичнинг вазифаси чикишида ракамли сигнал хосил килишдир. Хакконийлик жадвалидан куриниб турибдики хисоблаш аста-секин ошиб боради (иккилик код учун разряд ошиб боради)

Хисоблаш жараени В киришдаги кучланишни А киришдагига нисбатан катта булгунига кадар давом этади. Бу холатда компоратор чикишида логик 0 “I” элементи епилади ва хисоблаш тухталади. АРУни ишлашини мисоллар тарикасида куриб чикамиз. Масалан компораторни X чикишида логик 1 булса хисоблагични холати 0000 булсин. Схемадаги аналог киришга (А нуктага) 0,55 волт кучланиш берилсин. X нуктадаги логик 1 “I” элементи очилишини таъминлайди ва хисоблагичга импулс берилади. Бунда хисоблагич 0001 холатга утади. Бу комбинатсияга РАУ мос равишда 0,2 волт кучланиш чикариб беради. Яъни бу дегани В киришда 0,2 волт А киришда волт ва компораторнинг чикишида логик 1. Бу логик 1 “I” элементини очик холатини таъминлайди, хисоблагич чикишида эса 0010 комбинатсия хосил килинади. Бу комбинатсияга мос келувчи 0,4 волт В киришга берилади. Жараен яна бир марта айлангандан сунг яъни В киришда 0,6 волт булганида компоратор чикишида 0 хосил килинади ва хисоблагичга импулс узатилиши тухтилади. Ушбу куриб чикилган АРУ динамик компенсатсион АРУ дейилади. Бундай деб номланишига сабаб АРУда кучланишни чизикли узгаришидир.

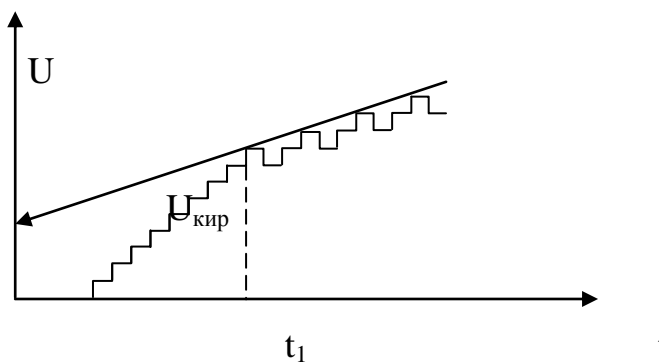
Маъзуза 25

ЦИКЛИК БУЛМАГАН АРУ

АРУ ни ишлаш тезлигини ошириш учун реверсив хисоблагичлар ишлатилади ва бу хисоблагичлар циклик булмаган режимда ишлайди. Структуравий схемасини келтирамиз:



Олдинги схемага нисбатан ушбу АРУ да DD3 икки “1” элементи ва DD4 инвертор ишлатилади. Дастреб DD2 хисоблагичнинг холати “0” холатида булади DD2 нинг +1 киришига тактли импулслар генераторидан (ТИГ дан) импулслар кетма-кетлиги берилади. Натижада чикишда код ошибки боради. РАУ кучланиши хам ошади. Бу жараен t_1 вактгача давом этади. DA компораторни ишга тушиши DD1 элементига пассив сигнални DD2 ни +1 киришига узатилиши билан болжик. Чикиш кучланиши вакт диаграммасини келтирамиз

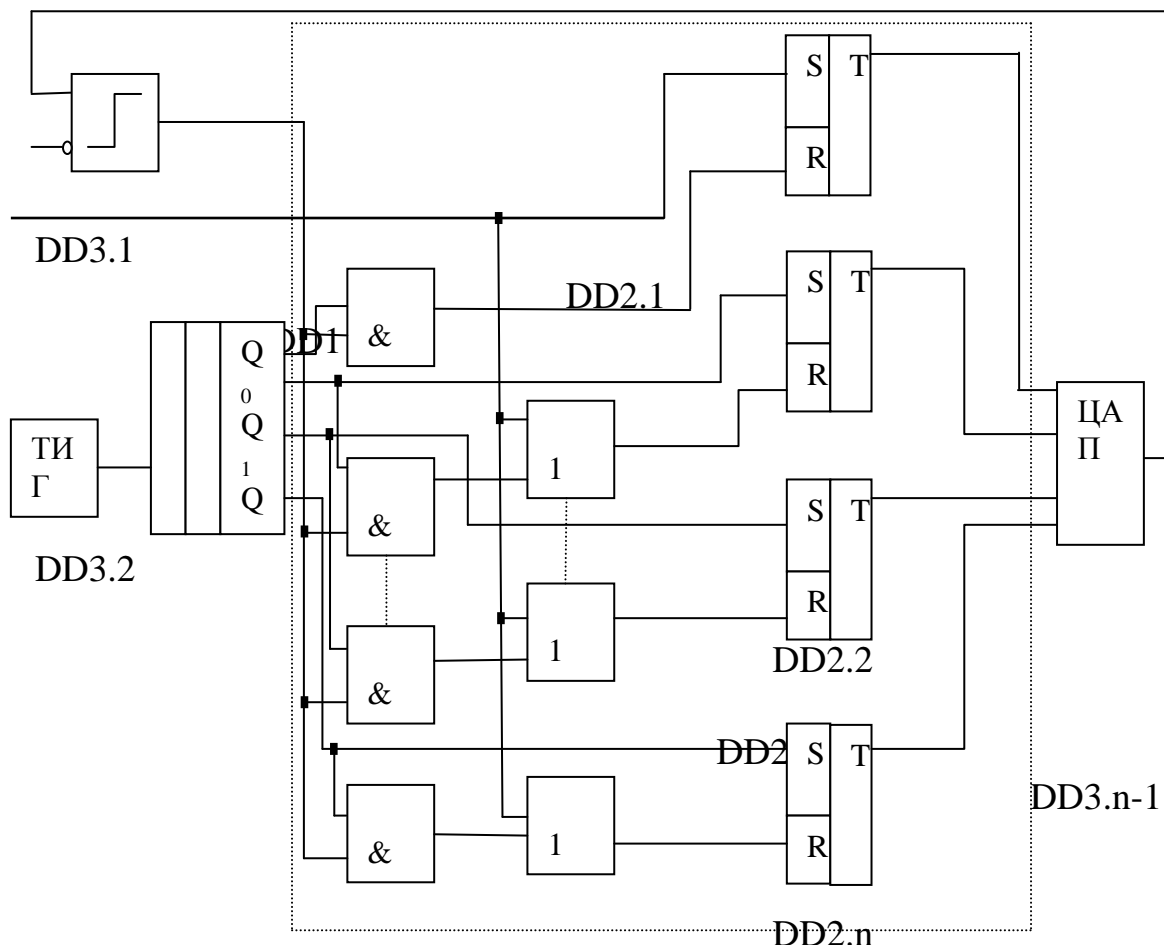


Графикда курсатилган t_1 вакт моментигача хар иккала АРУ (циклик ва циклик булмаган) бир хилда ишлайди. Киришдаги кучланиш билан РАУ чикишидаги кучланиш иккаласининг киймати бир хил булган вактдан

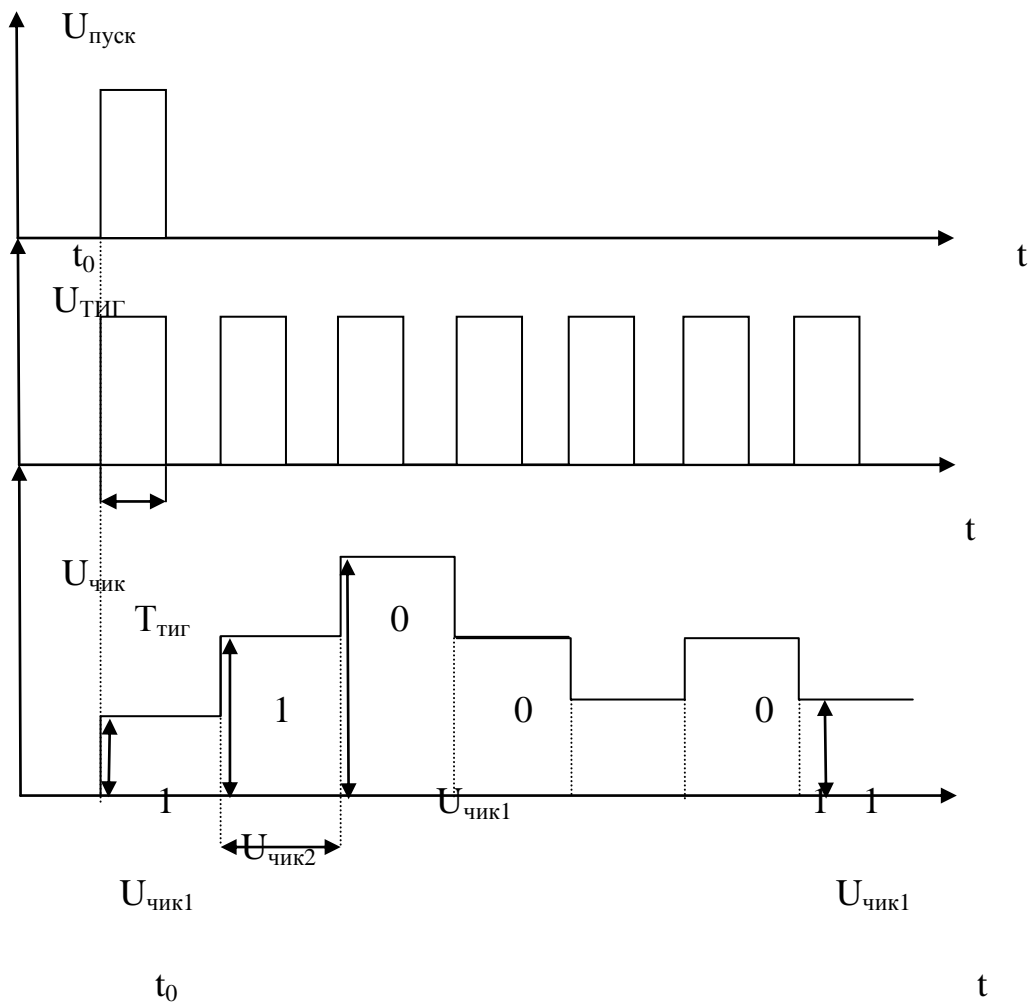
бошлаб компораторнинг кейинги уланиши содир булади, t_1 вактдан кейин циклик булмаган АРУ да кириш кучланиши узгаришига караб декремент жараен бошланади ябни чикиш коди камаяди. Битта камайиш кодидан кейин графикда курсатилганидек код яна ошади. Бу эса АРУ узгариш вактини камайтиради. t_1 вакт моментидан олдинги жараен тақрорланмайди. Графикда курсатилган t_1 вакт моментидан кейинги жараен тезлигини билдиради. Бу схемани камчилиги t_1 вактнинг катталигидир.

25.1РАЗРЯДЛИ КОДЛОВЧИ АРУ

Разрядли кодловчи АРУ ларда кетма-кет якинлашувчи регистрлар кулланилади. Шунинг учун хам бу кетма-кет якинлашувчи хам дейилади. Бу турдаги АРУ нинг схемаси.



Кетма-кет якинлашувчи регистрга эга булган АРУ ни ишилашини курсатувчи вакт диаграммани көлтирамиз

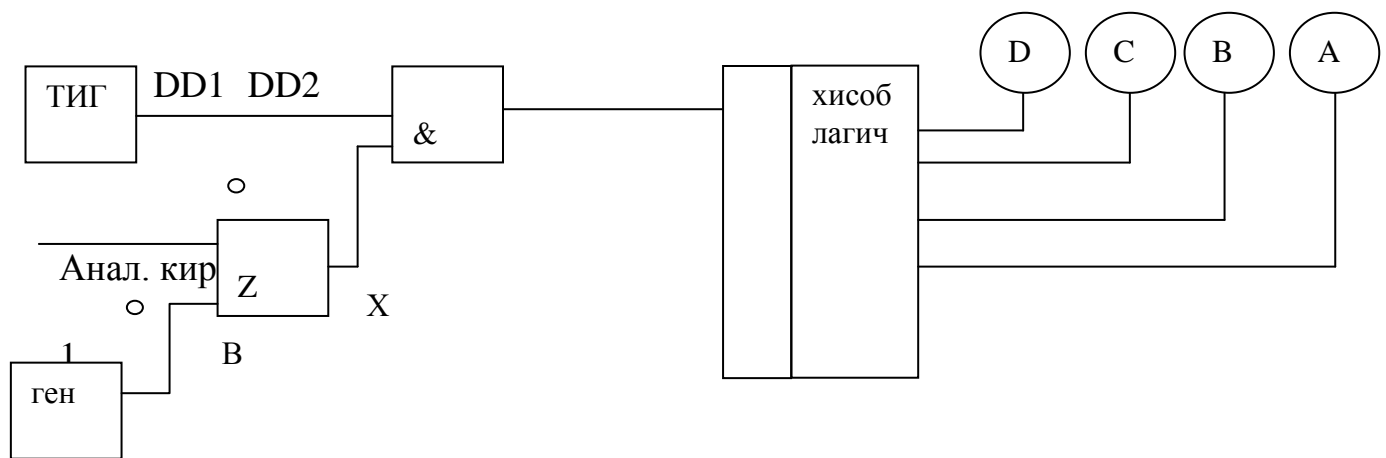


ФРОНТ

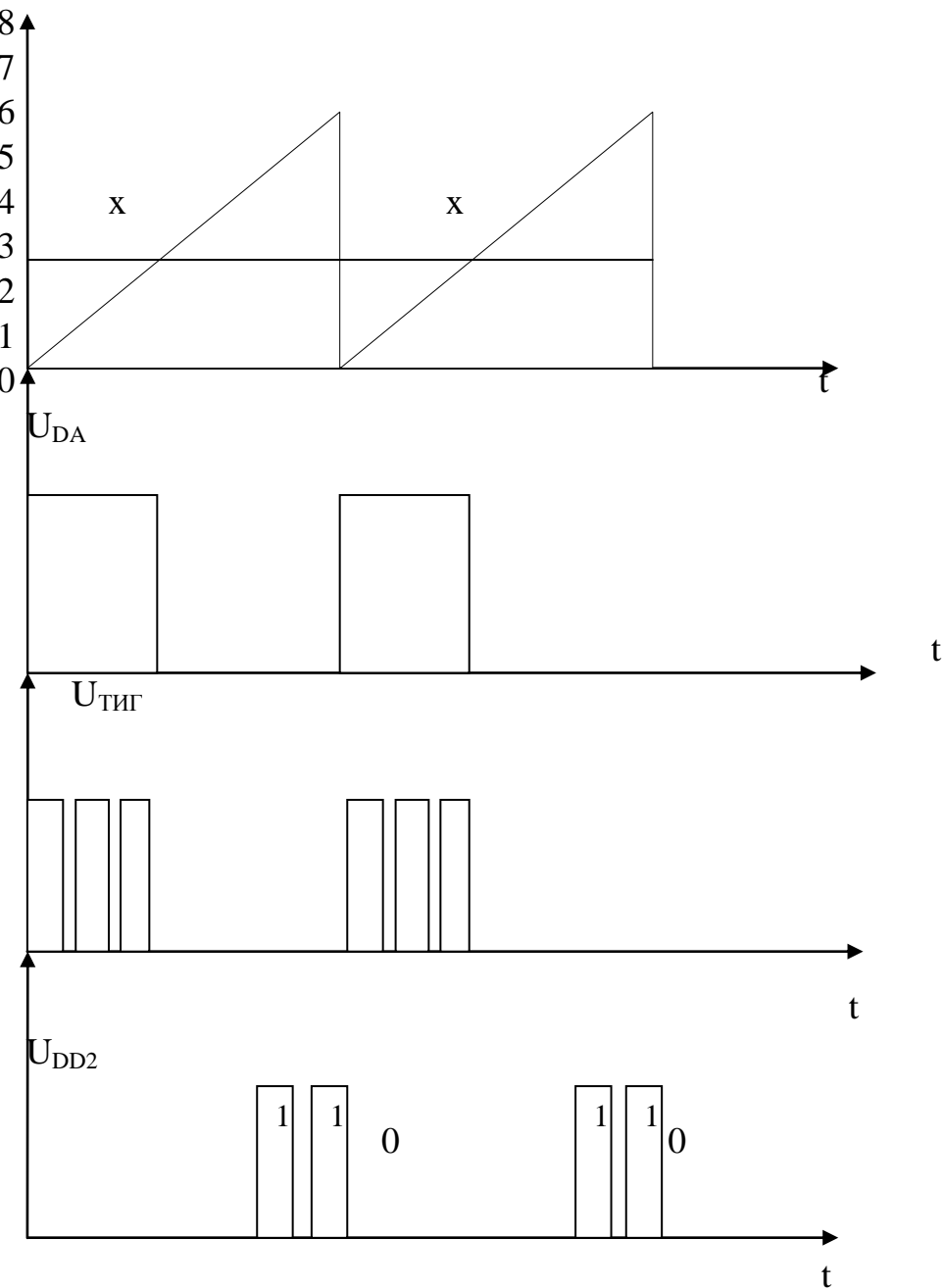
Маъзуза -26

ИНТЕГРАЛЛОВЧИ АРУЛАР

Схемасини келтирамиз



Динамик конпенсацияловчи АРУдан фарки шундаки бу АРУда чизикли узгарувчи кучланиш генератори ишлатилади. Ушбу генератор арасимон кучланиш ишлаб чикаради. Сигналнинг шакли деярли учбурчакли тебранишга ухшайди. АРУ ни ишлаш тартибини куриб чикамиз. АРУ нинг аналог киришига 3 волт кучланиш берилсин. Чизикли узгарувчи кучланиш шу кийматгача ошиб боради. Бу вакт оралигига компаратор DA нинг чикишида логик 1 хосил килинади, бу эса DD1 элементини очик булишини таъминлаб хисоблагич чикишига ТИГ дан импулслар берилади. Компораторнинг b киришидаги кучланиш а га нисбатан катта булиши билан компораторнинг чикишида логик 0 хосил булади. Ушбу жараёнларни вакт диаграммасини куриб чикамиз.



Графикдан куриниб турибдики “ i ” элементининг чикишида 3 та тактли импулс хосил килинади. В киришдаги ва А киришдаги кучланишларнинг киймати бир хил булганида (графикда X нукта) “ i ” элементи ёпилади. DD2 элементи чикишидаги 0011 хосил булади. Ушбу АРУнинг камчилиги шундаки кучланищнинг катта кийматларида узгартериш учун хисоблагичда куп вакт сарфланади. Масалан 8 разрядли иккилик чикишида 255 гача хисоблашга тугри келади.

25.1 Икки марта интегралловчи АРУ

Ушбу АРУ утган мавзудаги АРУнинг бир тури булиб унинг асосий томони шуки юкори аникликка эга ва шовкиндан химояланган. Асосий

схемаси юкорида келтирилган схема билан бир хилдир, факат фарки шуки интегралловчи занжир ишлатилади. Хар кандай сигнал информацион ташкил этувчидан ташкари такрорланиш даври $T_{\text{ш}}$ булган халакитлардан ташкил топади. Масалан манба кучланишида шовкин элементларнинг хусусий шовкинлари дидир. У холда сигнални ифодасини куйидагича ифодалаш мумкин.

$$U_c = U_{\text{инф}} + \sum_{i=1}^{\infty} U_{\text{ш}i} \sin 2\pi t / T_{\text{ш}i}; \quad (1)$$

Бу ерда U_c сигналнинг маълум вакт оралигига олинган дискрет оний кийматлари. $U_{\text{ш}}$ шовкиннинг амплитудаси, $U_{\text{инф}}$ информация ташувчи. Агар узгартириш жараёнида U_c сигнал интегралланса $T_{\text{ш}}$ шовкин даврига булинувчи интеграллаш вакти олинади яъни куйидагича

$$U = \int_0^{nT_{\text{ш}}} U_c(t) dt = U_{\text{инф}} nT_{\text{ш}} \quad (2)$$

Бундай ёндашиш факатгина интегралловчи АРУ га тегишлидир. дастлабки маълум вакт оралигига сигнал аналог интегратор ёрдамида интегралланади. Бошлангич вактда интегратор чикишидаги кучланиш 0 га тенг деб олинади. Кейинги вакторалиги яъни t_1 вактда куйидаги ифода оркали кучланиш аникланади.

$$U_1 = \frac{1}{RC} \int_0^{t_1} U_c(t) dt = \frac{U_{\text{инф}} t_1}{RC} \quad (3)$$

Кейин интеграторнинг киришига информацион кучланиш кутбига карама-карши булган этalon кучланиши берилади. Бу кучланишнинг таъсири чикиш кучланишининг киймати 0 га якинлашгунича давом этади. Этalon кучланиш доимий булгани учун t_1, t_2 вакт оралигидаги интегратор чикишидаги кучланишни куйидагича аниклаш мумкин.

$$U_1 = \frac{1}{RC} \int_{t_1}^{t_2} U_{\text{эт}}(t) dt = \frac{U_{\text{инф}} t_1}{RC} - \frac{U_{\text{эт}} (t_2 - t_1)}{RC} \approx 0 \quad (4)$$

4-ифодадаги интеграллаш ифодаси куйидагига тенг.

$$Dt = t_2 - t_1 = \frac{U_{\text{инф}} t_1}{U_{\text{эт}}} \quad (5)$$

5-ифодадан куриниб турибдики кириш сигнални ва этalon кучланишини интеграллаш вактига боялик боялик булади. Δt интервалида тактли импулслар ва информация ташувчининг амплитудаси хисоблагич чикишидаги хосил булган кодга тугри пропорционалдир, яъни куйидагича

$$M = \frac{U_{\text{инф}} f_t t_1}{U_{\text{эт}}} \quad (6)$$

t_1 , Δt дан катта булади ва унинг киймати куйидагича аникланиши мумкин.

$$t_l = 2^b/f_t \quad (7)$$

бу ерда f_t -ТИГ импулслари частотаси

b- квантлаш оралиги

7 ни 6 га күйсак

$$M = \frac{U_{\text{инф}} 2^b}{U_{\text{эл}}} \quad (8)$$

Бу ифодага асосан кодлар сони квантлаш оралигига бөгликтөрдөн табылады. ТИГ частотасындағы бөгликтөрдөн көбейткіштегінде квантлаштырылған оралигига бөгликтөрдөн табылады. Шунинг учун хам икки марта интегралловчы АРУ динимик компенсация АРУга нисбатан аниклиги бир неча марта катта .

Маъруза -27

ДОИМИЙ ПАРАМЕТРЛАРГА ЭГА ДИСКРЕТ ЧИЗИКЛИ ЗАНЖИРЛАР(ДПДЧЗ)

Чизикили дискрет занжир деб шундай занжирга айтиладики унинг киришига $x_1(n)$, $x_2(n)$ кетма-кетлик берилганда унинг чикишида мос равища $y_1(n), y_2(n)$ хосил булса ва киришга $a_1x_1(n) + a_2x_2(n)$ берилганда чикишида $a_1y_1(n) + a_2y_2(n)$ кетма-кетлик хосил килинади. ДПДЧЗ асосан куйидаги катталиклар билан характерланади.

- 1) импулс характеристикиаси $g(n)$
- 2) частота характеристикиаси $k(\omega\delta)$
- 3) системали функцияси $H(z)$

ДПДЧЗ нинг импулс характеристикиаси деб унинг киришига якка импулс берилганда чикишида хосил буладиган жавоб сигналга айтилади.

$$X(n)=S_0(t) \quad g(n)=y(n)$$

Частота характеристикиаси деб киришдаги $x(n)=e^{j\omega\delta n}$ кетма-кетлик учун чикишдаги кетма кетликнинг комплекс амплитудасини $\omega_\delta=2\pi/N$

$$K(\omega_\delta)=\frac{y(n)}{x(n)}=e^{j\omega\delta n}$$

Системали функцияси деб z узгаришли чикиш кетма-кетлиги $y(z)=g(z)$ нинг кириш кетма-кетлиги $x(z)=x(n)$ нисбатига айтилади.

$$H(z)=\frac{y(n)}{x(n)}$$

ДПДЧЗ частота ва импулс характеристикалари фуръенинг дискрет узгартириши ёрдамида боғланади.

$$K(\omega_\delta)=\sum_{n=-\infty}^{\infty} g(n) e^{-j\omega\delta n}$$

Агар дискрет чизикили занжир киришига чекланган кетма-кетлик берилса ва унинг чикишида киришдаги кетма-кетлик учун мос равища кетма-кетлик хосил килинса бундай система баркарор дейилади. Баркарорлик шарти куйидагичаифодаланади.

$$\sum_{n=-\infty}^{\infty} |g(n)| < \infty$$

Мисол сифатида 1-таркибли дискрет занжирни куриб чикамиз. Бу система куйидаги тенгламага эга булсин.

$$Y(n)=x(n)+ky(n-1)$$

Дастлабки шарт киритамиз $y(-1)=0$ бу холда импулс характеристикиаси куйидагига тенг булади.

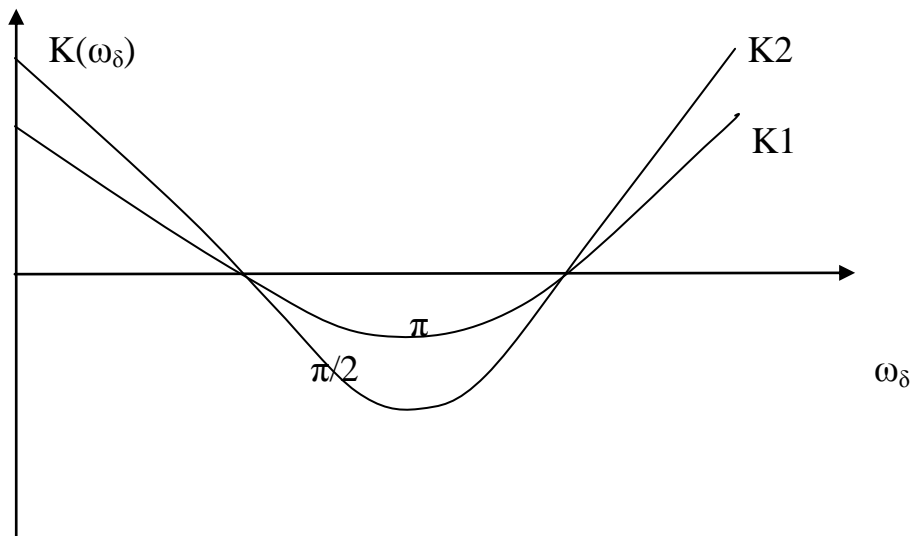
$$g(n) = \begin{cases} k^n, & n > 0 \\ 0, & n \leq 0 \end{cases}$$

Частота характеристикасини аниклаймиз

$$K(\omega_\delta) = \sum_{n=0}^{\infty} (ke^{-j\omega_\delta})^n = \frac{1}{1-ke^{j\omega_\delta}} ;$$

Ёки буни тригонометрик ифодаласа

$$|K(\omega_\delta)| = \frac{1}{\sqrt{1+k^2 - 2k \cos \omega_\delta}} ;$$



Маъруза -28 .

Компораторлар

Компоратор таккословчи курилма булиб иккита киришга эга, унинг вазифаси схематик курилишига боғлик холда иккита кучланишни таккослаб чикишида ракамли “0” ва “1” логик сигнални хосил килишдир. Компораторлар асосан аналог сигналларни ракамли ишловчи курилмаларда кучланиш стабализаторида калит бошқарилувчи курилмаларда ишлатилади. Компоратор сифатида манфий тескари боғланиш занжири булмаган операцион кучайтиргич ишлатилади.

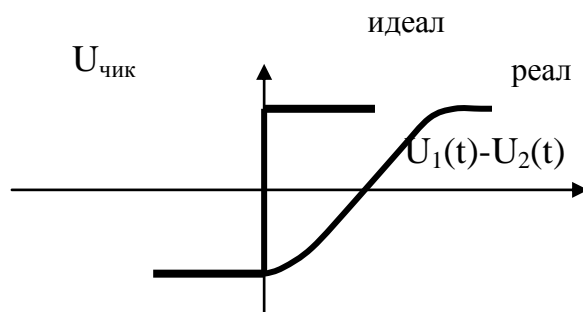
ОҚ компоратор вазифасини вазифасини бажариши учун куйидаги шартга буйсениши керак.

Агар $U_1(t) > U_2(t)$, $U_1(t) - U_2(t) > 0$, $U_{\text{чик}} = U^{(1)}$

Агар $U_1(t) < U_2(t)$, $U_1(t) - U_2(t) < 0$, $U_{\text{чик}} = U^{(0)}$

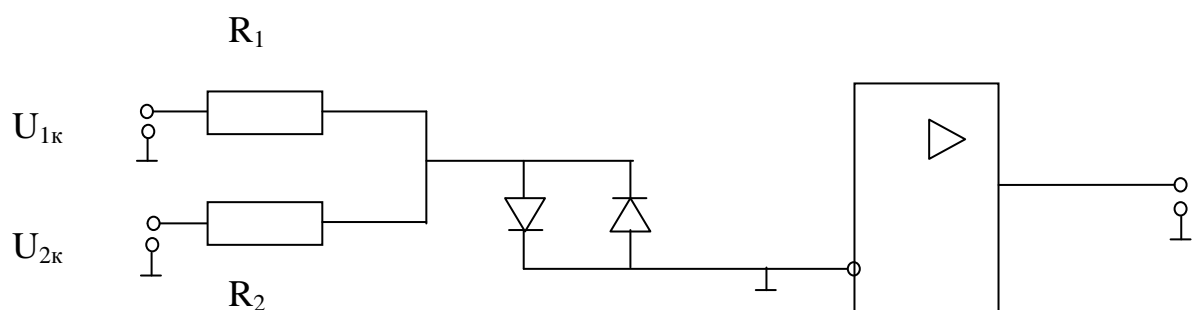
Агар $U_1(t) = U_2(t) \neq 0$, $U_1(t) - U_2(t) = 0$, кайта уланиш $U_{\text{чик}} = U$

Компоратор узатиш характеристикасини келтирамиз

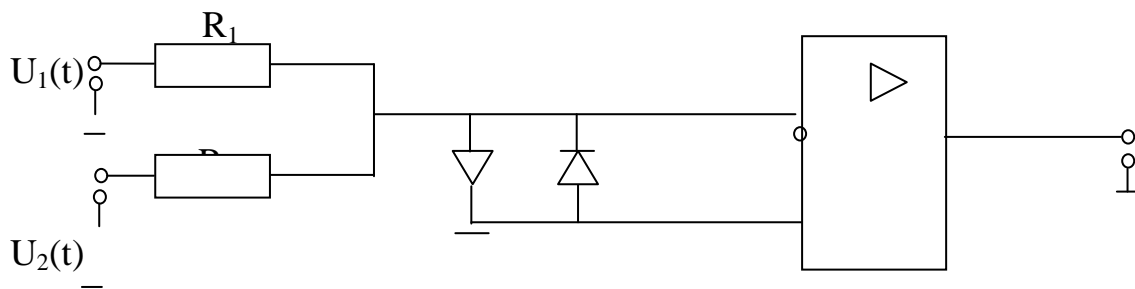


Компораторларни схемаларини куриб чикамиз

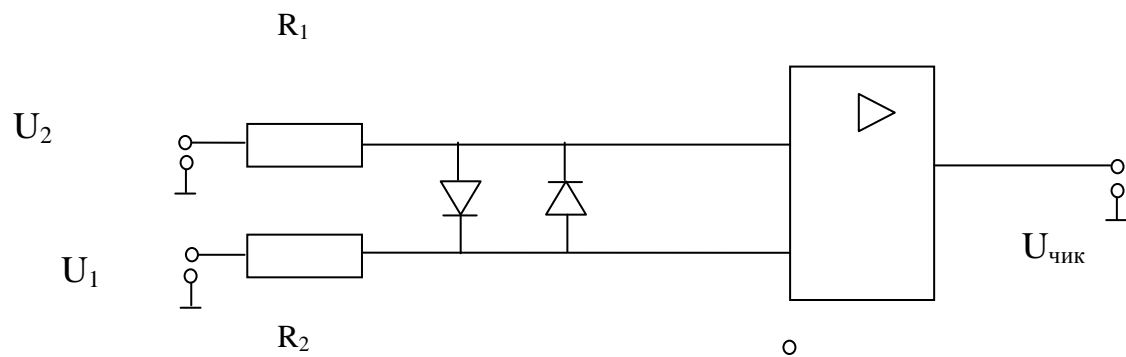
1. Конвертор-компоратор



2. инверторли компоратор



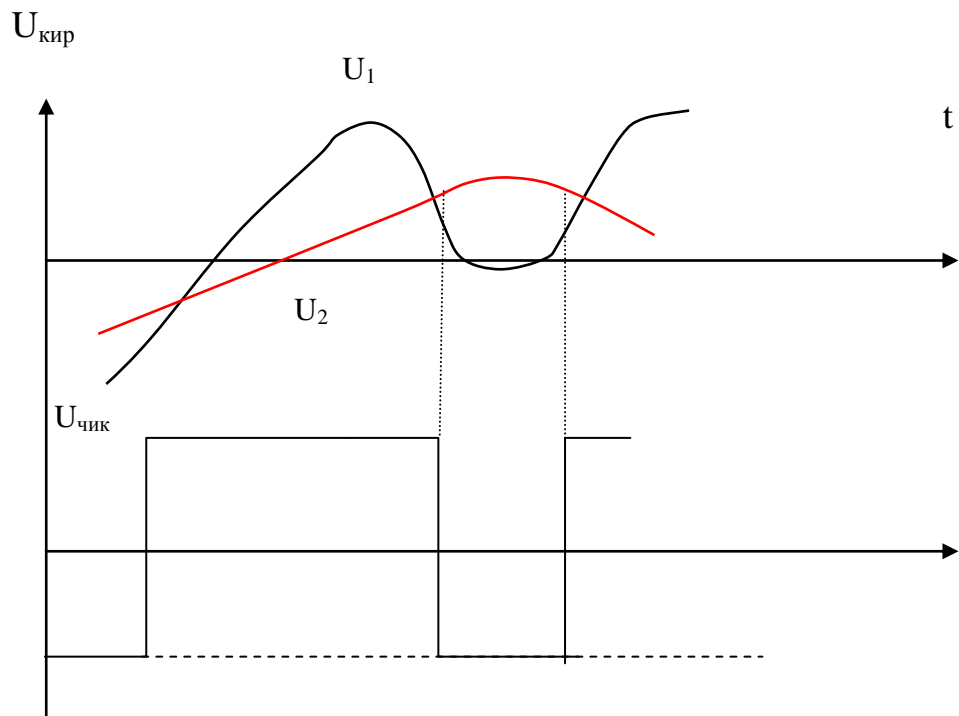
3. Исталган кутбили сигнал таксимловчиси



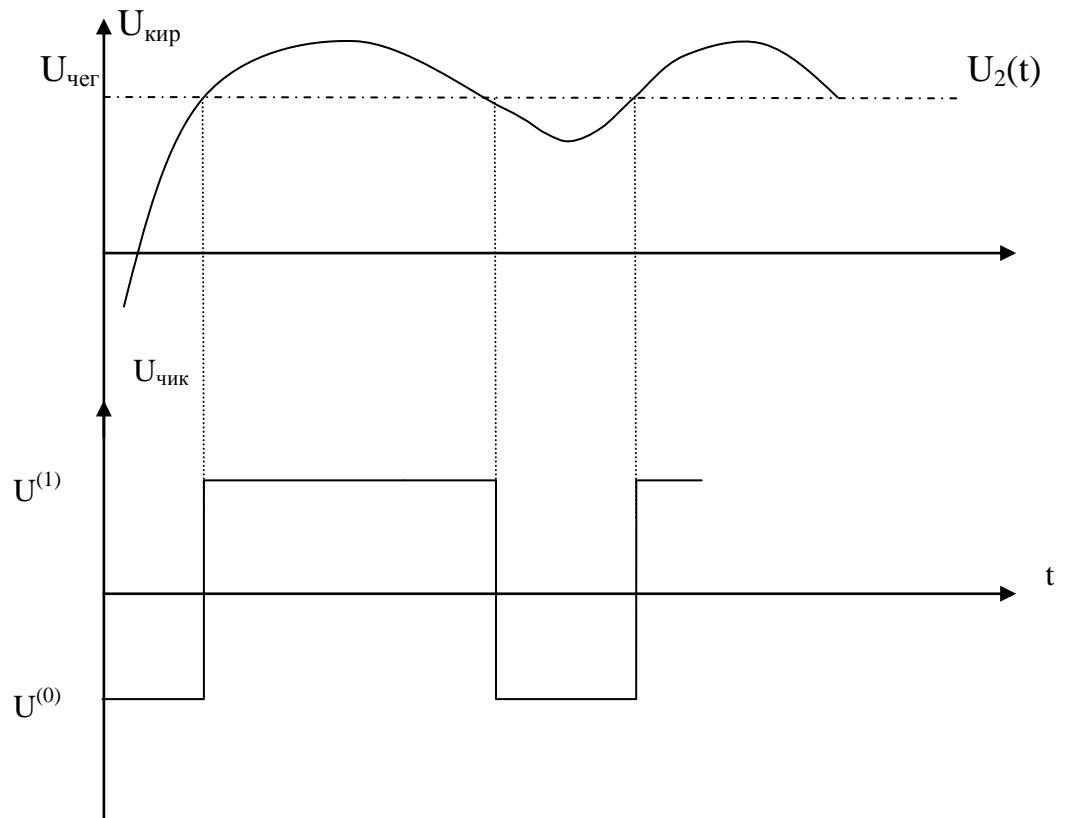
Схемадаги иккита диод ва R_1, R_2 каршиликларда хосил булган занжир оддий амплитуда чеклагичидир

Бу чеклагич ОК га берилген күчланишлар катта кийматларида химоя килади. Учта схемадан учунчиси кенг кулланиладигин схемадир. Учинчи схема учун хар хил холатдаги вактдиаграммаларни куриб чикамиз.

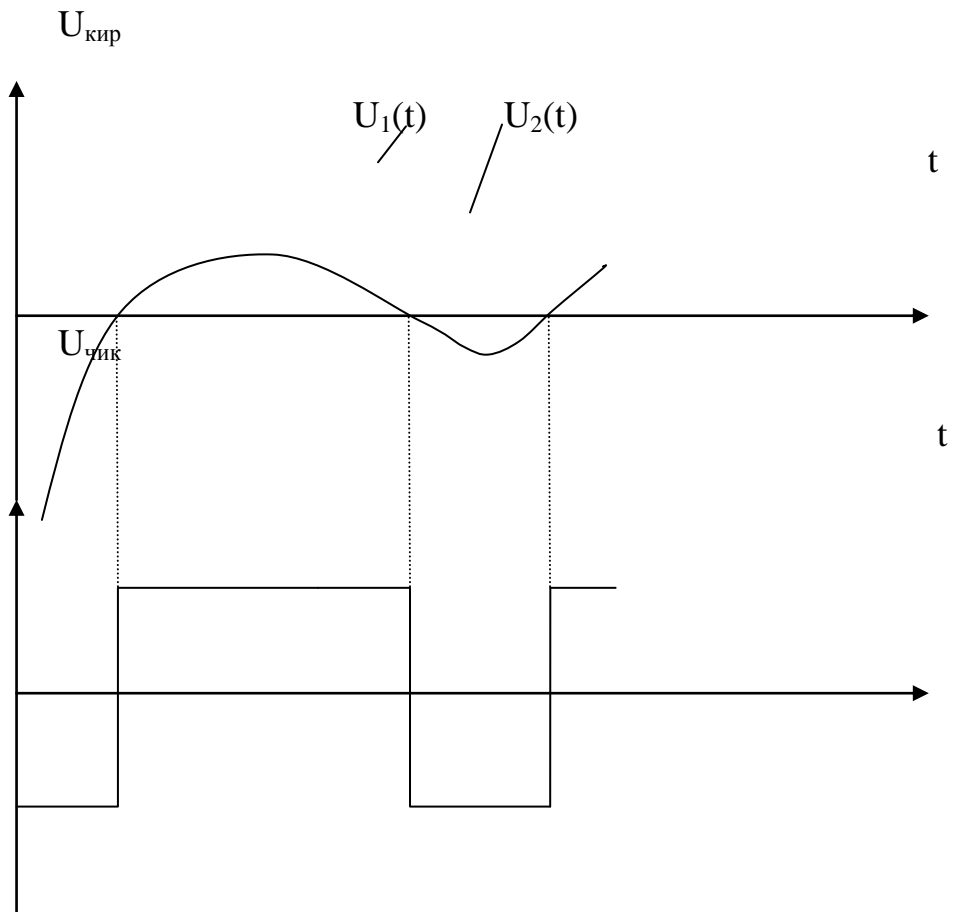
А) иккита узгарувчи сигнални таккословчи курилма вазифасида



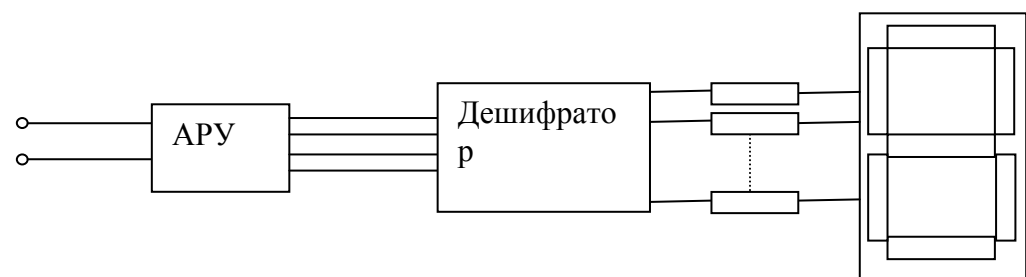
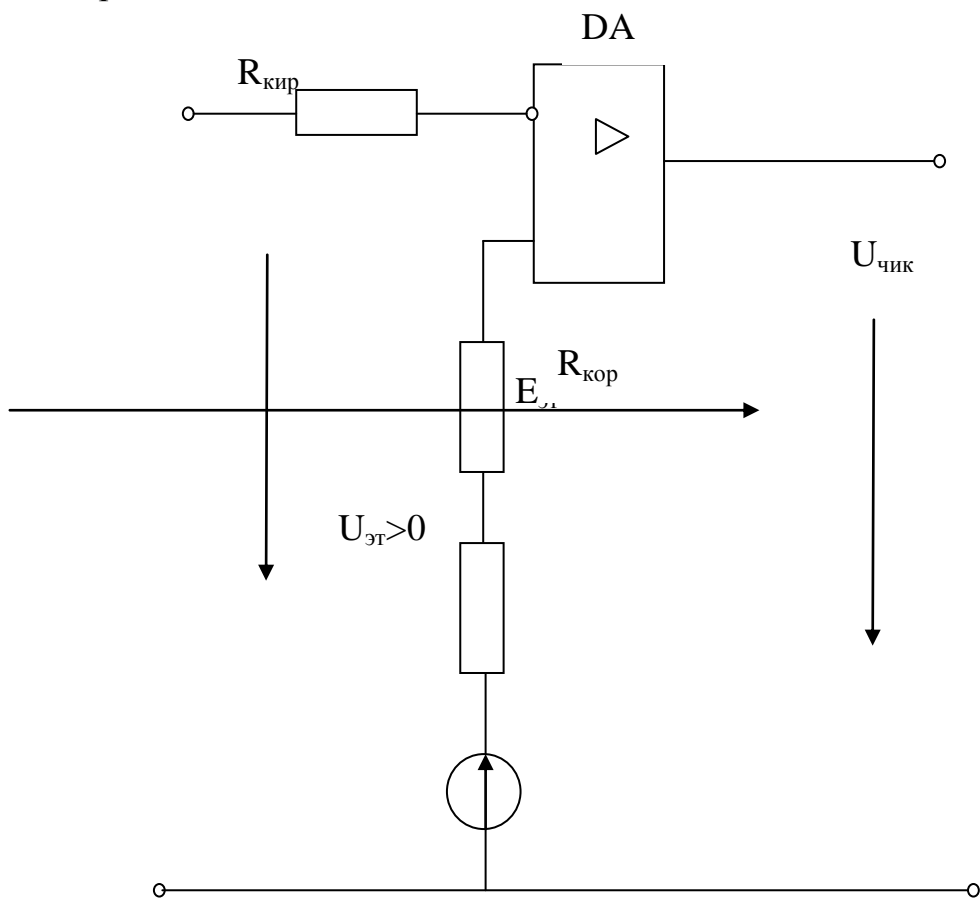
Б) Чегаравий курилмаларда



ноллик-сатх курилмалари



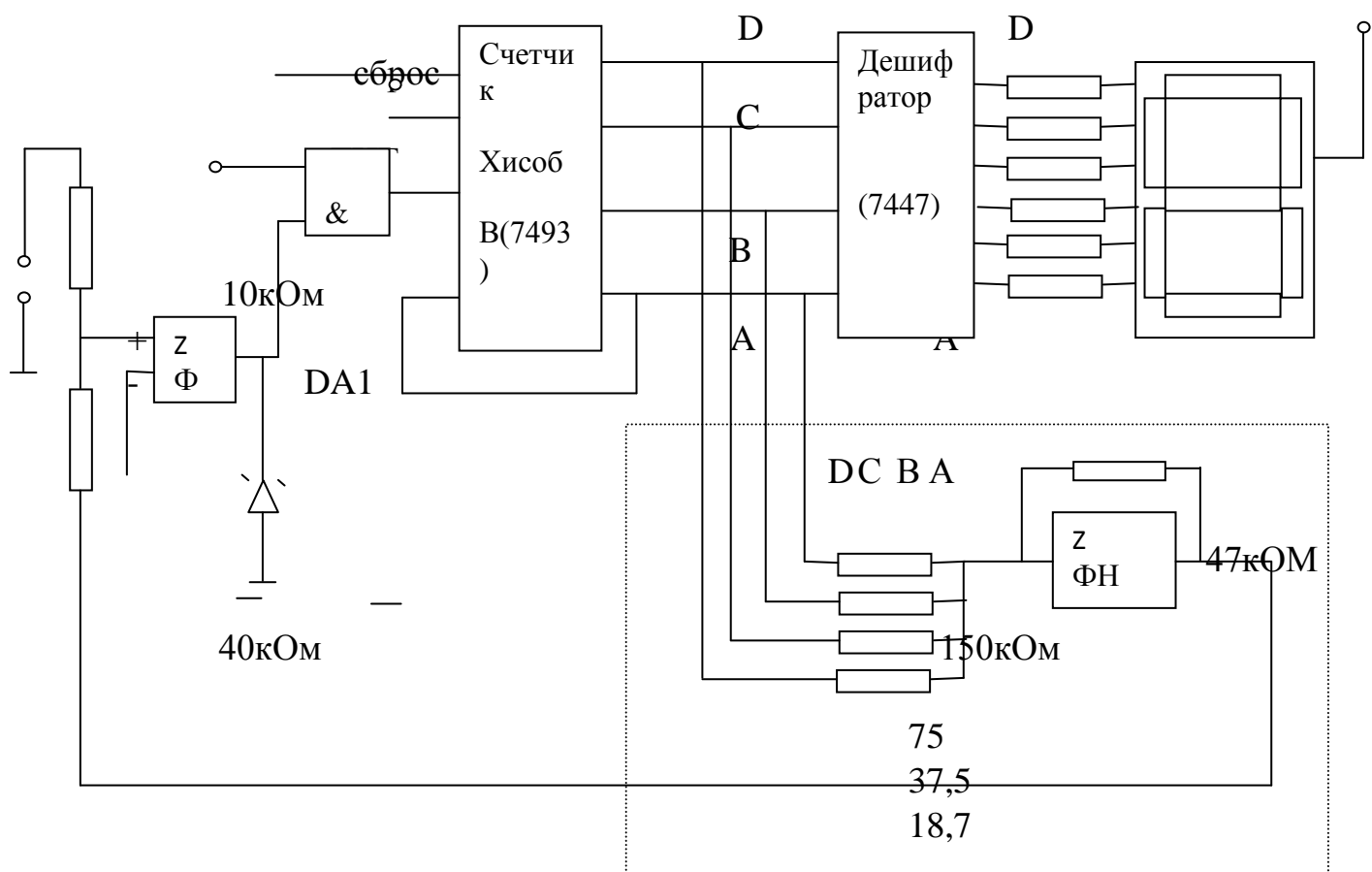
Таккословчи курилма сифатида бир пагонали таккословчи курилмани келтирамиз



Маъруза - 29

РАКАМЛИ ВОЛТМЕТР УНЛИК ЧИКИШ

АРУ киришига берилаётган аналог сигнал иккилик сигналга айлантирилиб дешифратор киришига узатилади. Дешифраторда 7 сегментли индикатор учун кодга айлантирилиб берилади. Индикатор кириш сигналига мос күчланиш киймати урнатилади. Ракамли волтметрни схемасини келтирамиз.



ДА1-компораторга алохига ± 10 В манба берилади. ДА2 хам худди шунака. Ушбу схемани ишлашини куриб чикиш учун мисол куриб чикамиз. АРУ аналог киришига 2 В кучланиш берилсин. Хисоблагич дастлабки холатда яъни 0(сброшен). Компораторда $U_A=2V$, $U_B=0$ В. А киришдаги кучланиш киймати катта булгани учун компораторнинг чикишида логик 1 хосил булади. “i” элементи “очиб-очиб” ва ТИГ да хисоблагичга импулс берилади, хисоблагич чикишида 0001 комбинатция хосил булади. Дешифраторда ушбу комбинатцияга мос код хосил килиниб индикаторни b ва с сегментлари ёкилади, яъни 1 раками хосил булади. Хисоблагич чикишидаги 0001

комбинатция РАУга хам берилади. Ущбу холат учун кучланиш 3,2 волтга тенг. DA2 компоратор учун кучайтириш коэффиценти куйидагиги тенг.

$$K_u = R_{TB}/R_{KIR} = 40 \cdot 10^3 / 150 \cdot 10^3 = 0.31$$

$$U_{KIR} = K_u \cdot U_{KIR} = 0.31 \cdot 3.2 = 1 \text{ В}$$

РАУ чикишидаги 1 В кучланиш DA1 компораторнинг В киришига берилади. Компораторнинг А киришига 2 в В киришига 1 в булгани учун компораторнинг чикишида логик 1 хосил булади. “i” элементи очик булганлиги сабабли кейинги импульс хисоблагичга берилиб 0010 комбинатцияси хосил булади. РАУ чикишида 2 в қуланиши шаклланади. Бу кучланиш DA1 В киришига берилганда унинг чикишида логик 0 хосил булади. Бу эса уз навбатида “i” элементини ёпик холатини таъминлайди.

Маъзуза -30.

РАКАМЛИ АНАЛОГ УЗГАРТИРГИЧЛАР (ДЕШИФРАТОРЛАР)

РАУ ни урганиб чикиш учун унинг киришига $0 \div 3$ волтгача узгарувчи кучланишга мос келувчи иккисиги сигнал бериладидеб караймиз. У холда дешифратор учун куйидаги хакконийли жадвали тугри келади.

	Ракамли кириш	D	C	B	A
	волтлар	8	4	2	1
0	0	0	0	0	0
1	0.2	0	0	0	1
2	0.4	0	0	1	0
3	0.6	0	0	1	1
4	0.8	0	1	0	0
5	1	0	1	0	1
6	1.2	0	1	1	0
7	1.4	0	1	1	1
8	1.6	1	0	0	0
9	1.8	1	0	0	1
10	2	1	0	1	0
11	2.2	1	0	1	1
12	2.4	1	1	0	0
13	2.6	1	1	0	1
14	2.8	1	1	1	0
15	3	1	1	1	1

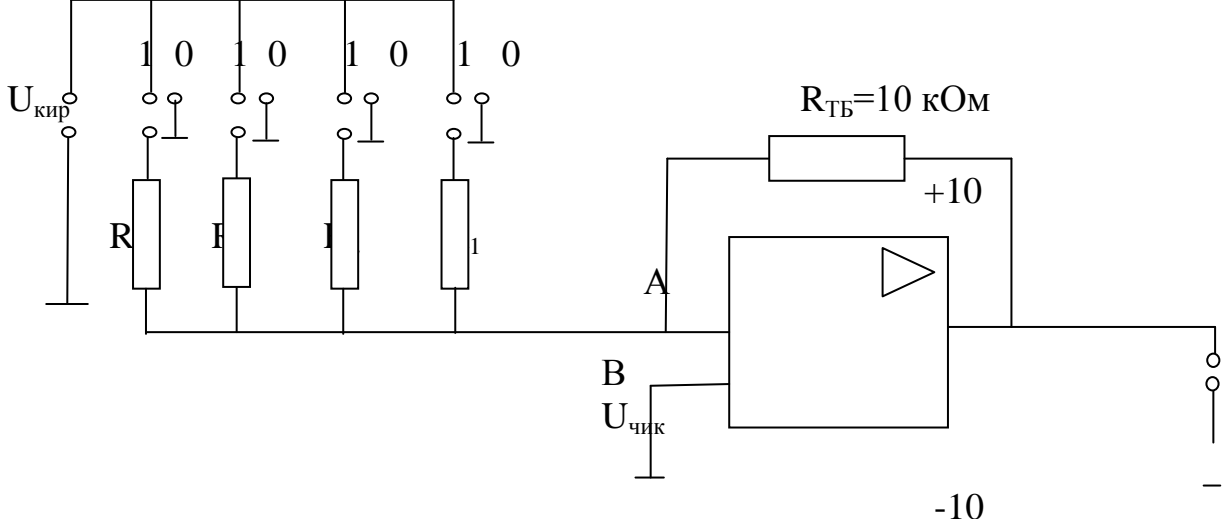
РАУ куйидаги структуравий схемадан иборат, икки кисмдан иборат

- 1) Резистив система
- 2) Кучайтиргич



Резистив схеманинг асосий вазифаси киришга бериладиган иккилиқ сигналларнинг вазнини хисоблашдир. Масалан В киришдаги 1нинг вазн коэффиценти А га нисбатан 2 марта катта. С киришдаги А га нисбатан 4 марта катта. Кучайтиргич сифатида операцион кучайтиргич ишлатилади. Бу кучайтиргичга алохид манба берилади. (Масалан ± 10 В)

РАУ нинг принципиал схемасини келтирамиз



$U_{кир}=3$ В ; $R_4=18,7$ кОм; $R_3=37,5$ кОм; $R_2=75$ кОм; $R_1=150$ кОм;
А кириш лоигк 1 холатига улансин. У холда операцион кучайтиргич киришига 3 В берилади. Ушбу холат учун операцион кучайтиргичнинг кучайтириш коэффицентини аниклаймиз.

$$K_U = R_{TB}/R_1 = 10 \cdot 10^3 / 150 \cdot 10^3 = 0.066;$$

У холда чикиш кучланиши

$$U_{чик} = K_U \cdot U_{кир} = 0,066 \cdot 3 = 0,2 \text{ В}$$

Бу кучланиш 0001 комбинатияга мос келади.

РАУ киришига 0010 комбинация берилсін.

$$K_U = R_{TB}/R_2 = 10 \cdot 10^3 / 75 \cdot 10^3 = 0,133;$$

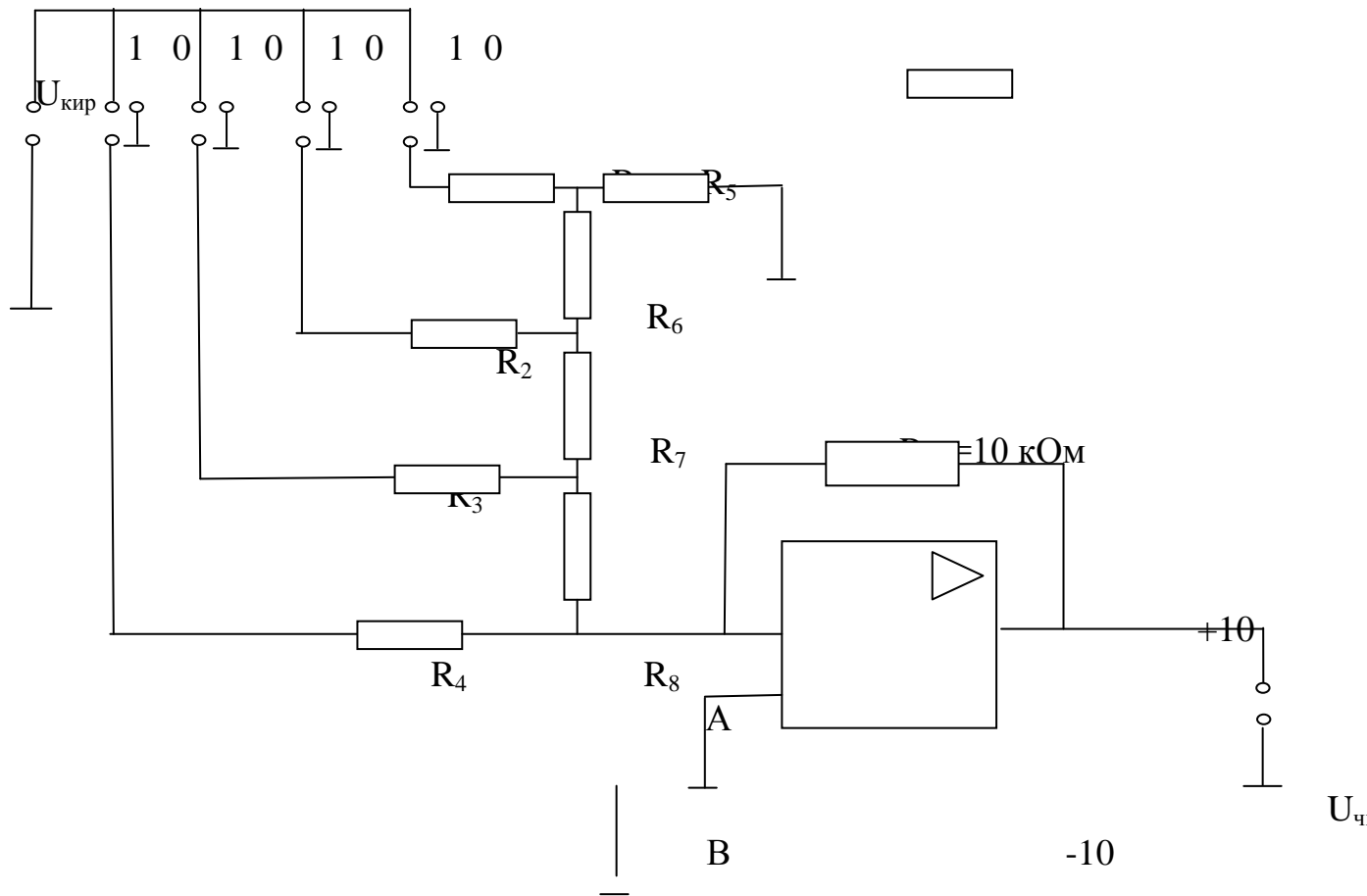
$$U_{чик} = K_U \cdot U_{кир} = 0,133 \cdot 3 = 0,4 \text{ В}$$

Ушбу РАУ га 10 волтгача булған кучланиш беріб узгартыриш мүмкін. Факат сатрлар орасидаги вазнлик коэффиценти катта булади.

Маъзуза -31

ЗИНАПОЯСИМОН КУРИНИШДАГИ РАУ

Бу РАУ ларда резистив система зинапоясимон куринишда булади.
Схемасини келтирамиз



$$U_{\text{кир}} = 3,75 \text{ В} ; \quad R_5 = R_4 = R_3 = R_2 = R_1 = 20 \text{ к}\Omega$$

$$R_6 = R_7 = R_8 = 10 \text{ к}\Omega$$

Бу РАУ учун ишлашини курсатувчи жадвални келтирамиз.

Иккилик кириш				Аналог чикиш
8	4	2	1	
D	C	B	A	волтлар
0	0	0	0	0
0	0	0	1	0,25
0	0	1	0	0,5
0	0	1	1	0,75
0	1	0	0	1

0	1	0	1	1,25
0	1	1	0	1,5
0	1	1	1	1,75
1	0	0	0	2
1	0	0	1	2,25
1	0	1	0	2,5
1	0	1	1	2,75
1	1	0	0	3
1	1	0	1	3,25
1	1	1	0	3,5
1	1	1	1	3,75